

# Vorlesung Algorithmische Geometrie

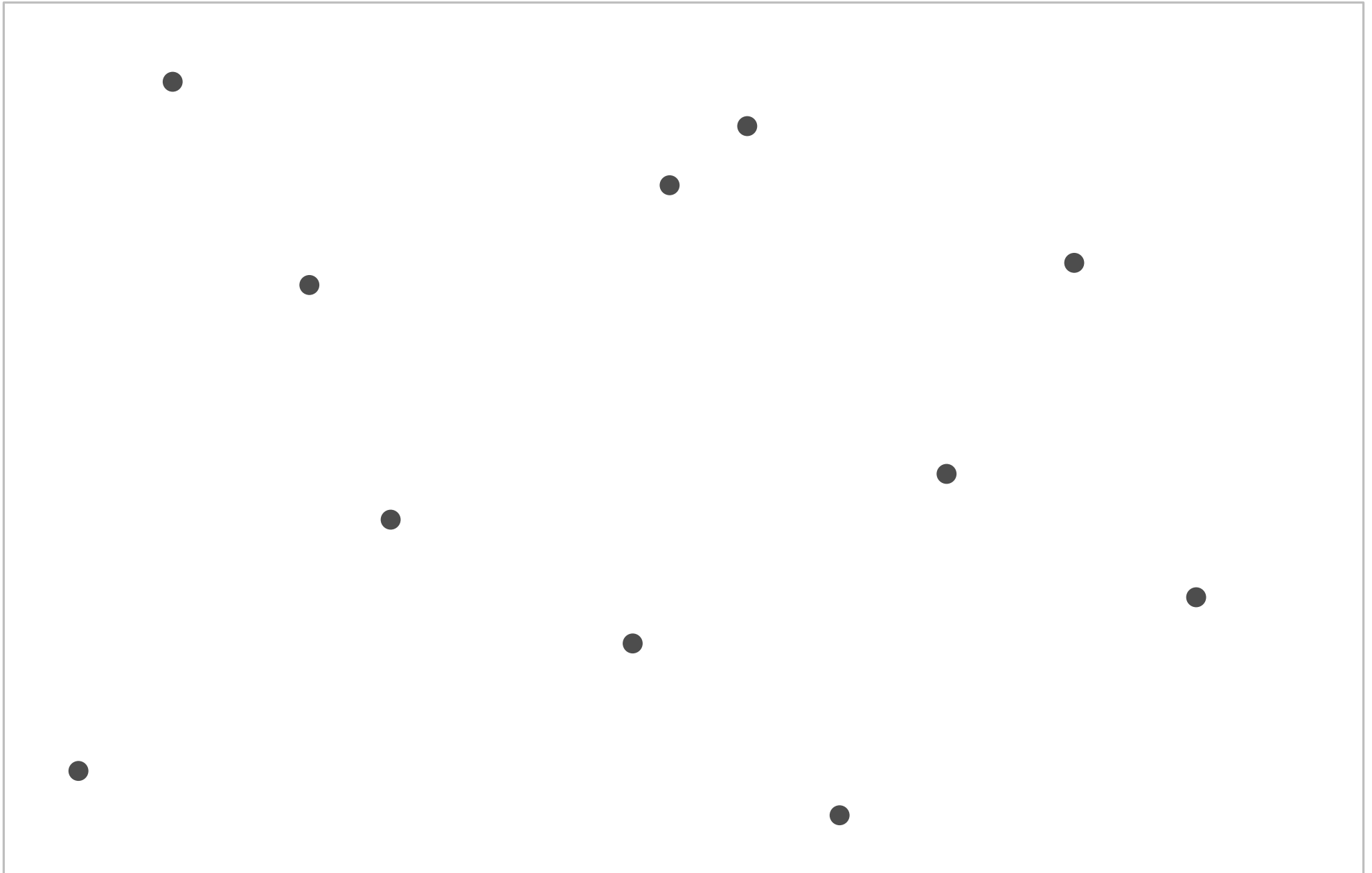
## Voronoi-Diagramme

INSTITUT FÜR THEORETISCHE INFORMATIK · FAKULTÄT FÜR INFORMATIK

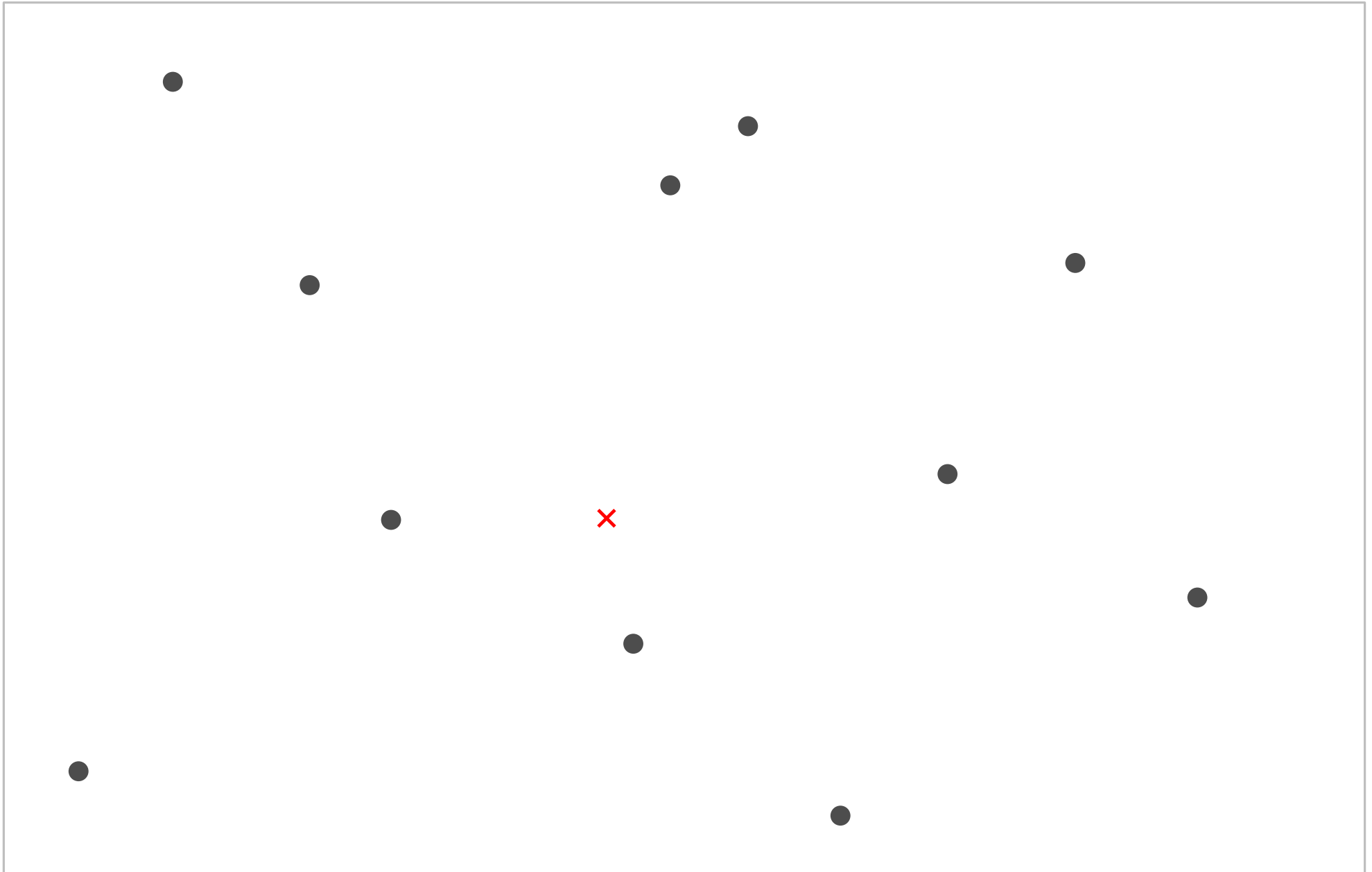
Martin Nöllenburg  
29.05.2011



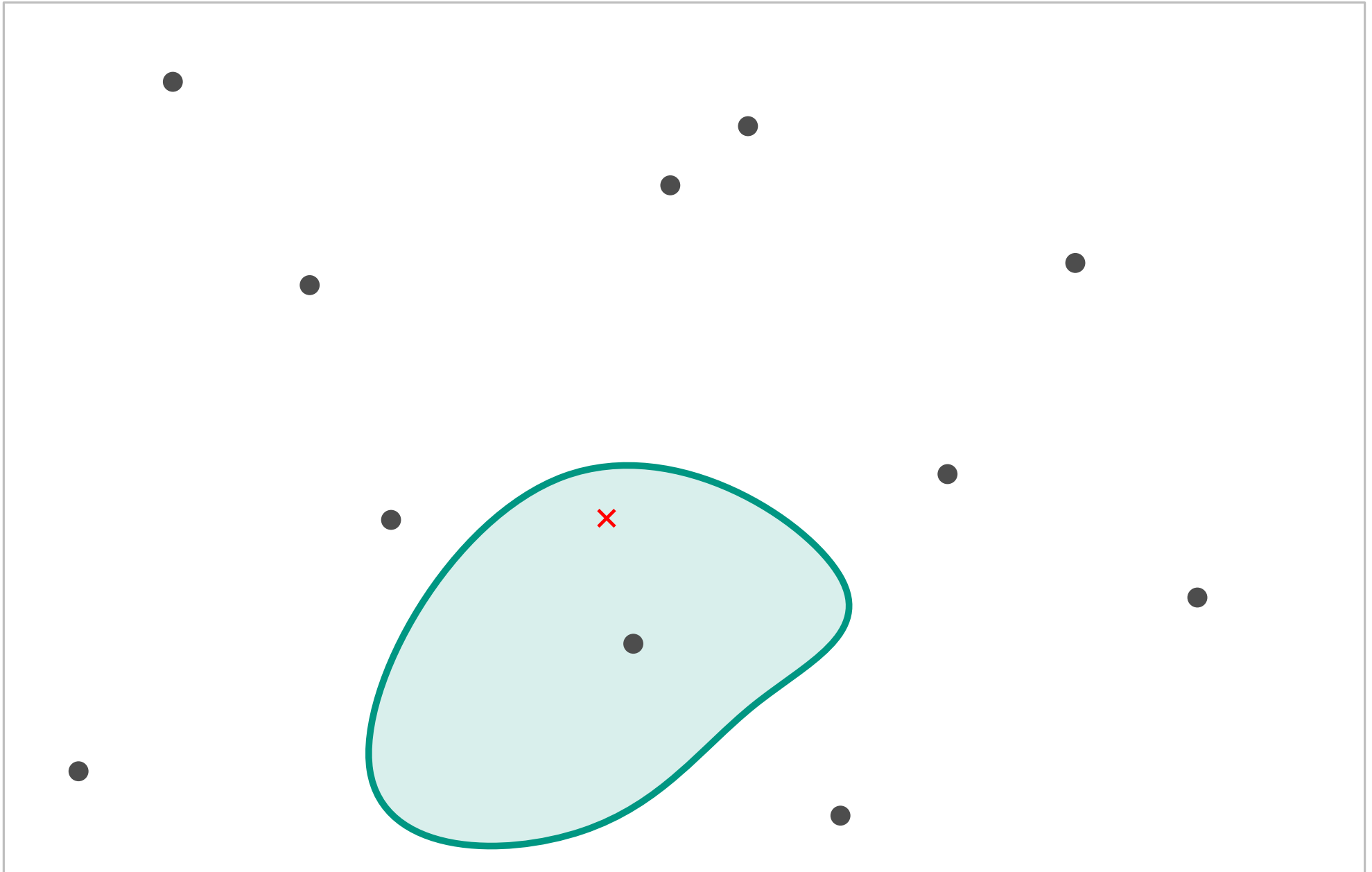
# Das Postamt-Problem



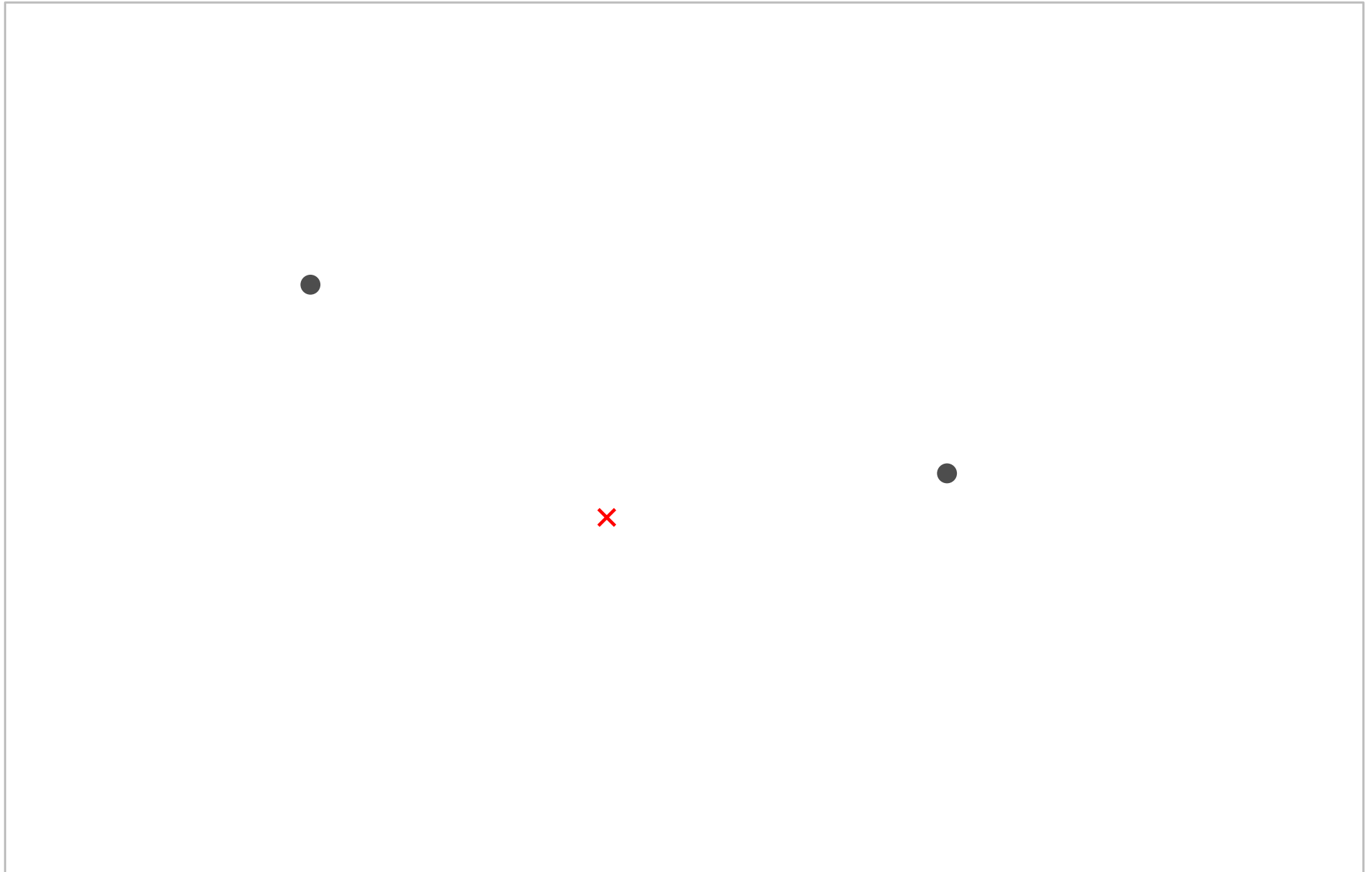
# Das Postamt-Problem



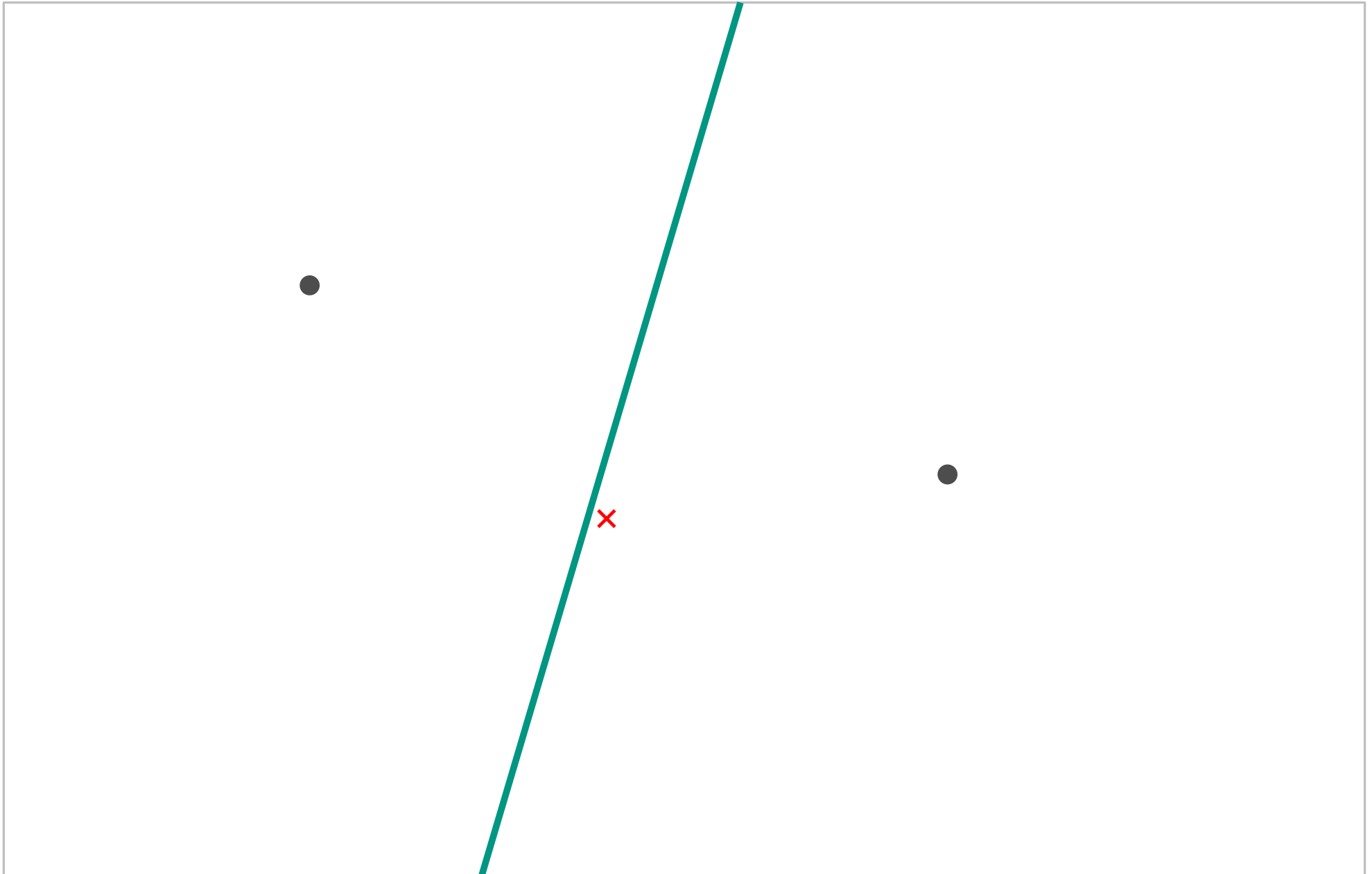
# Das Postamt-Problem



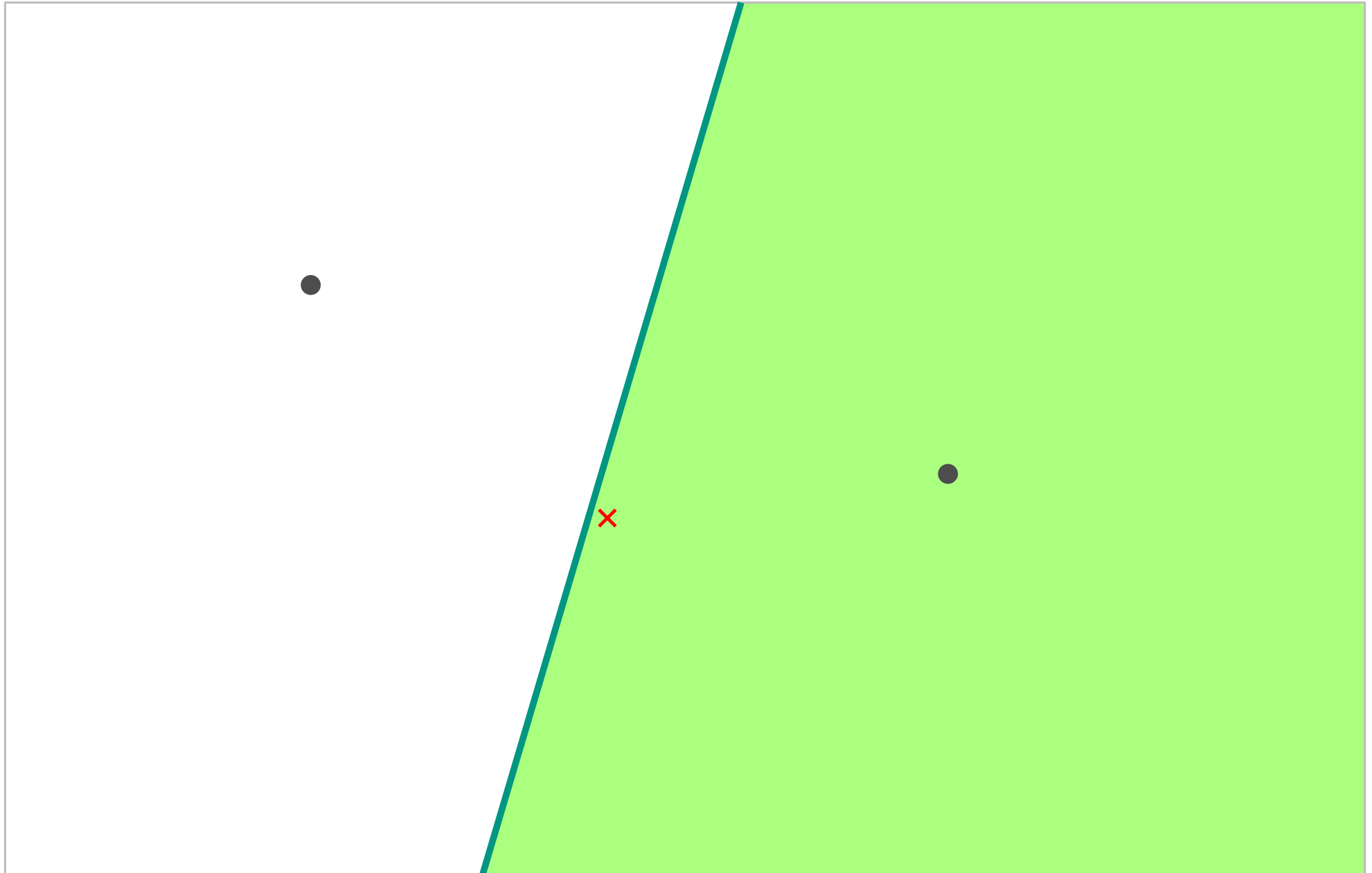
# Das Postamt-Problem



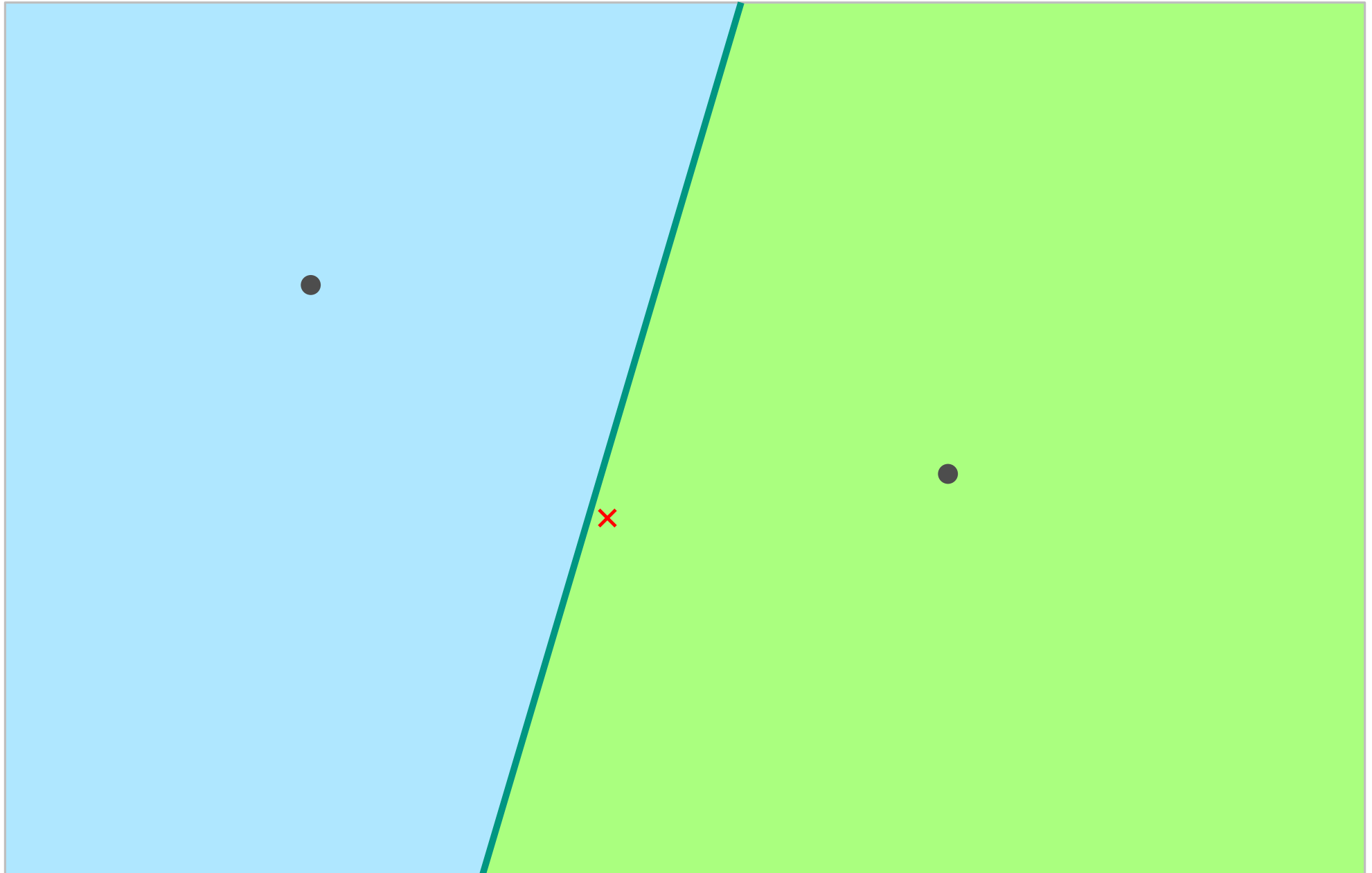
# Das Postamt-Problem



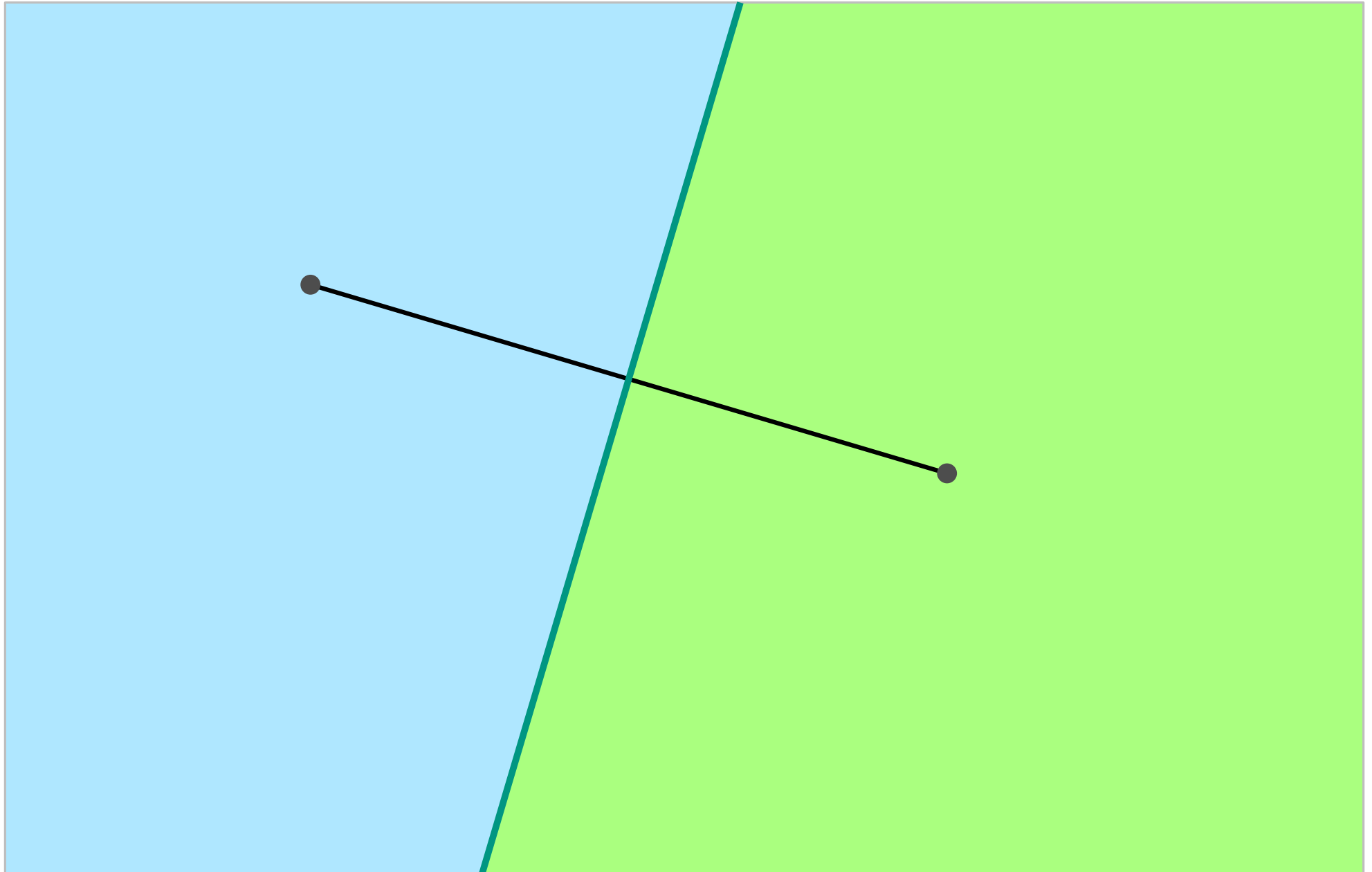
# Das Postamt-Problem



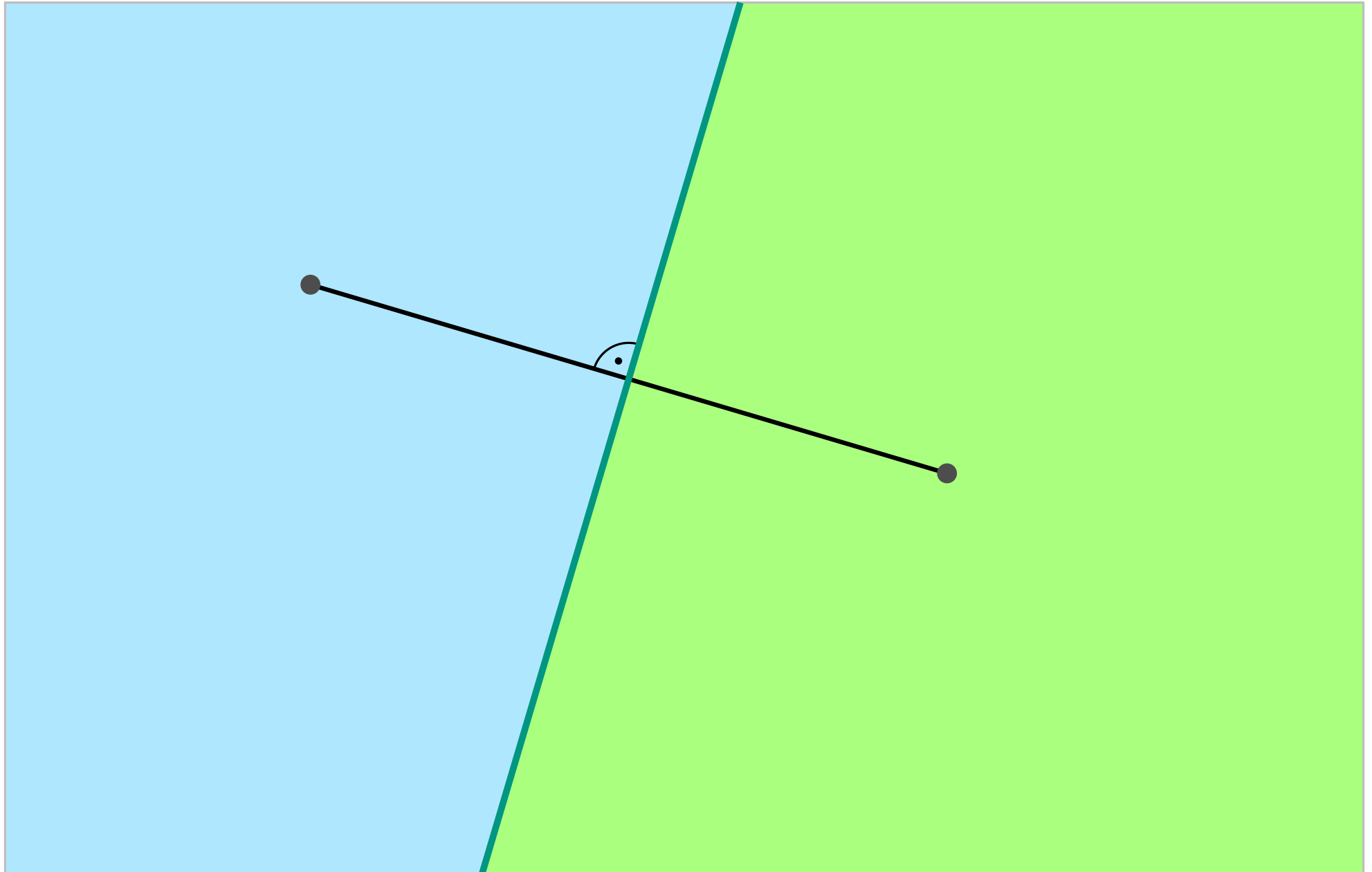
# Das Postamt-Problem



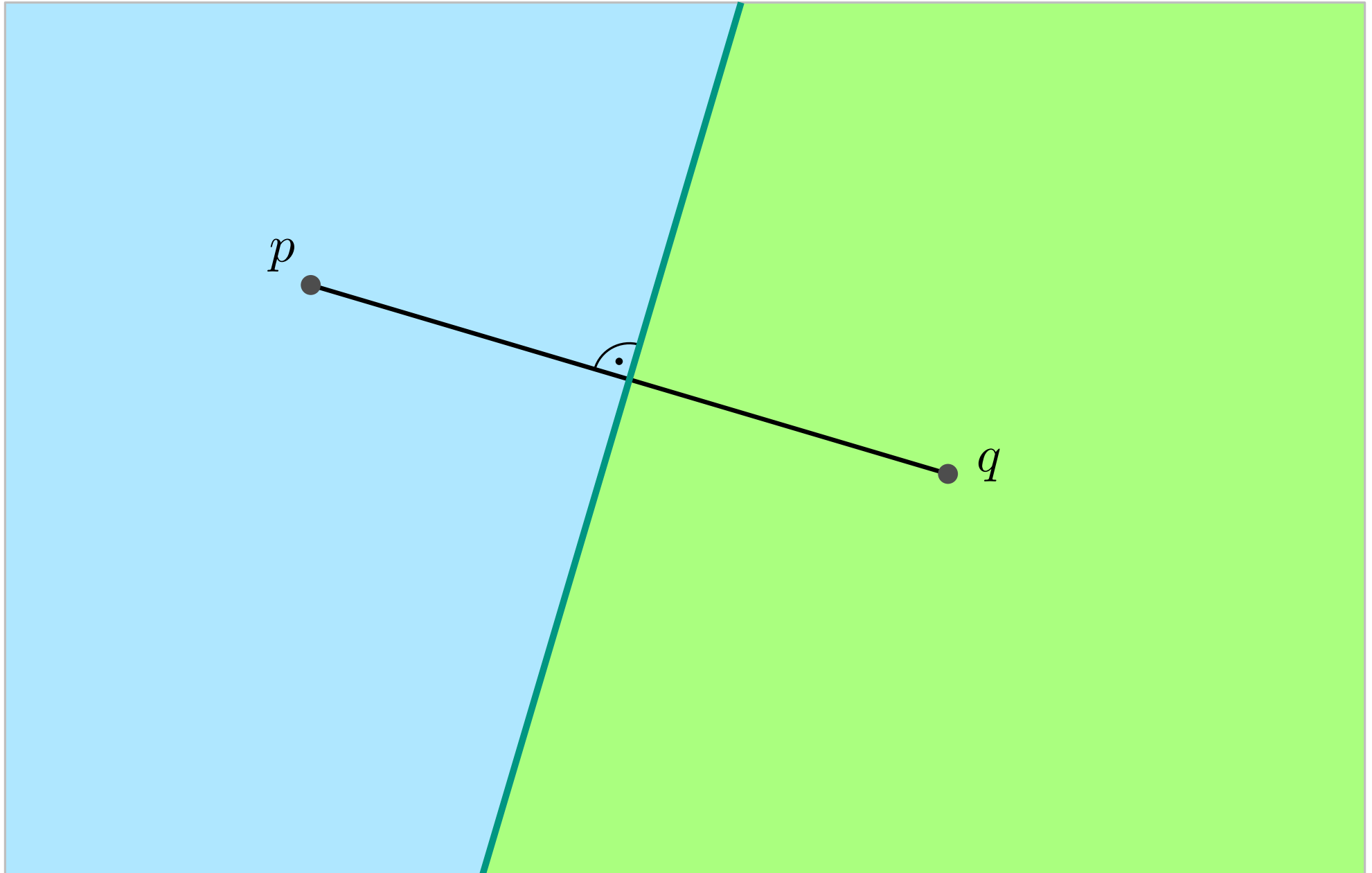
# Das Postamt-Problem



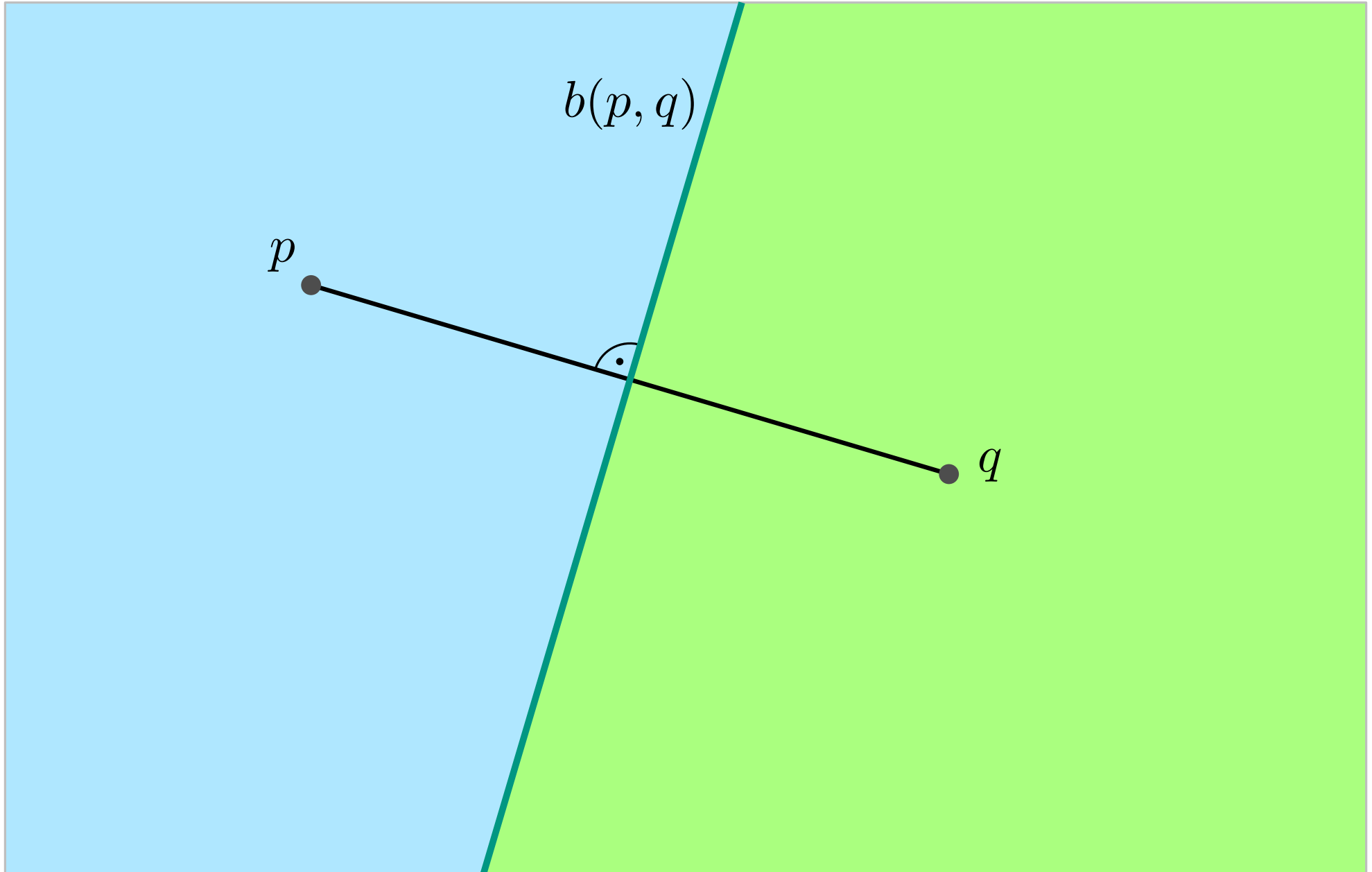
# Das Postamt-Problem

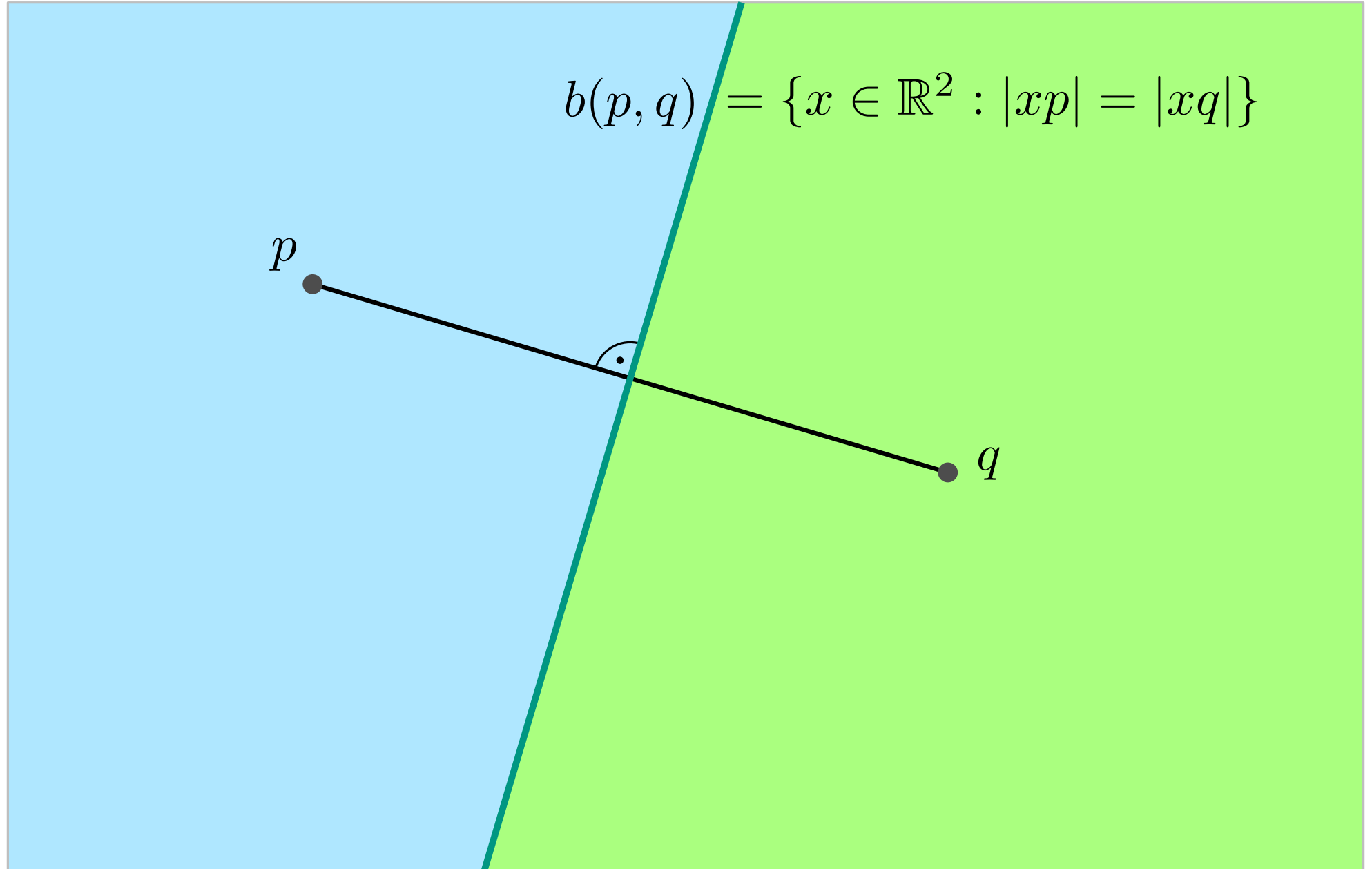


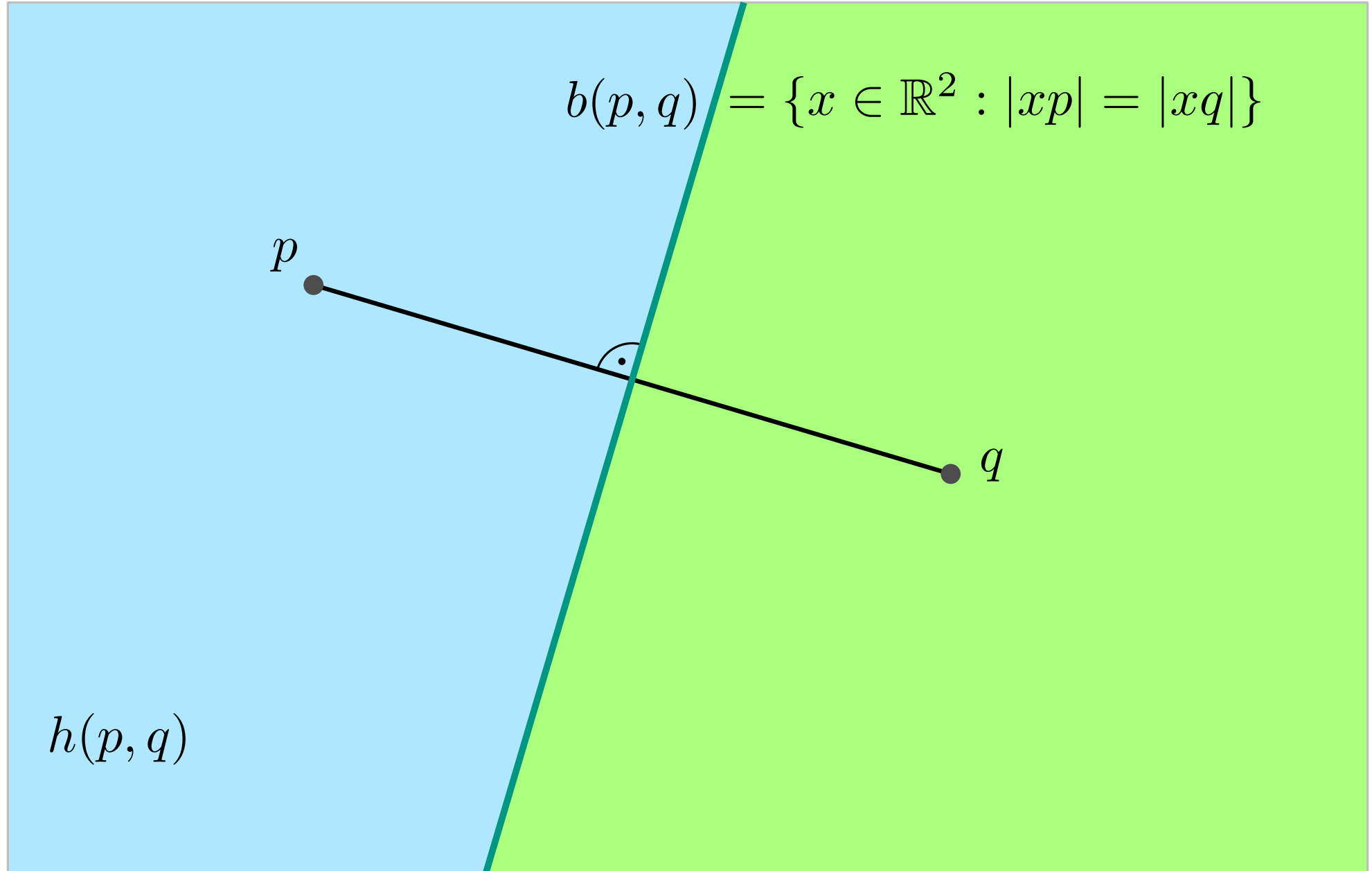
# Das Postamt-Problem

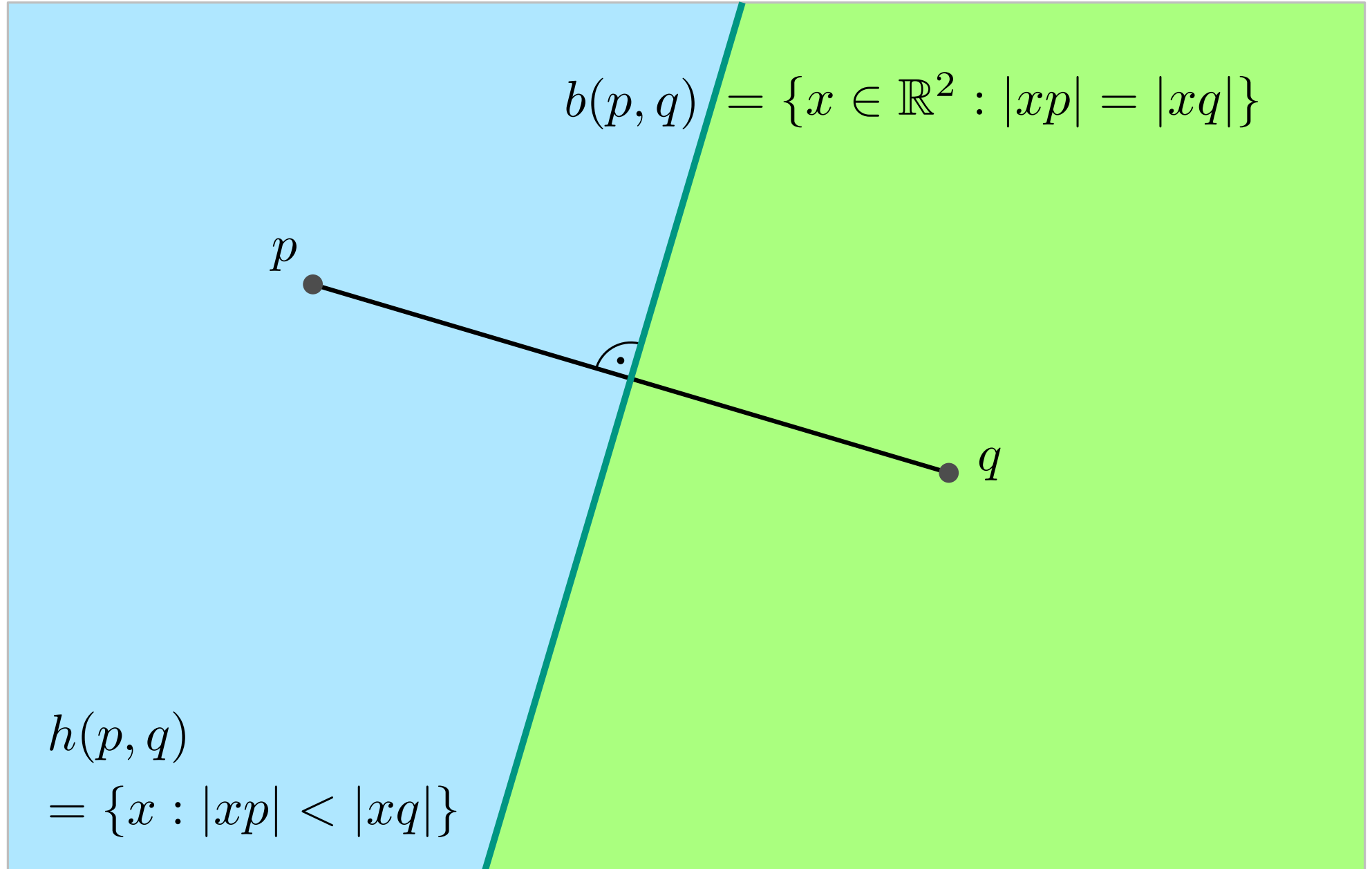


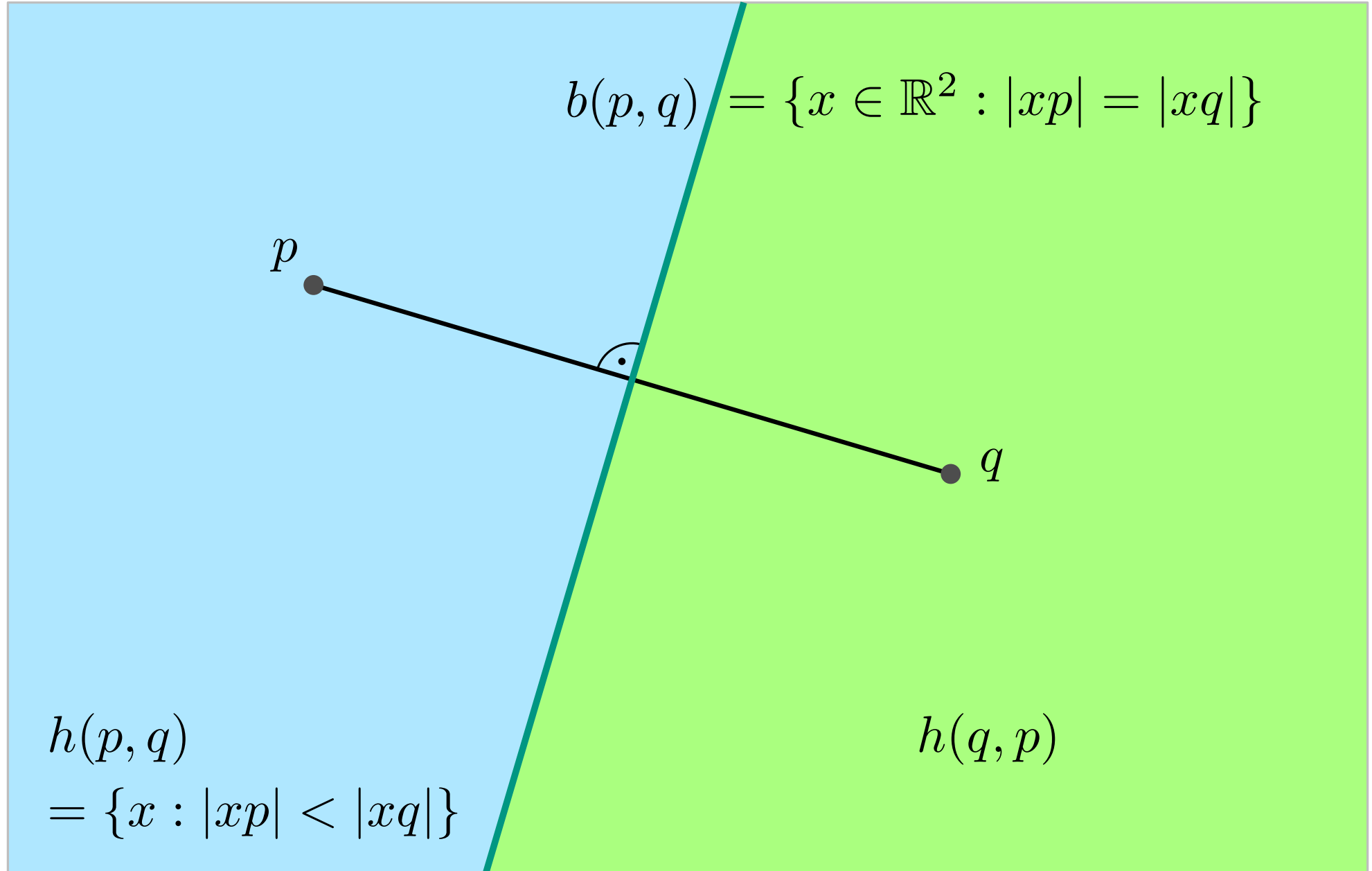
# Das Postamt-Problem

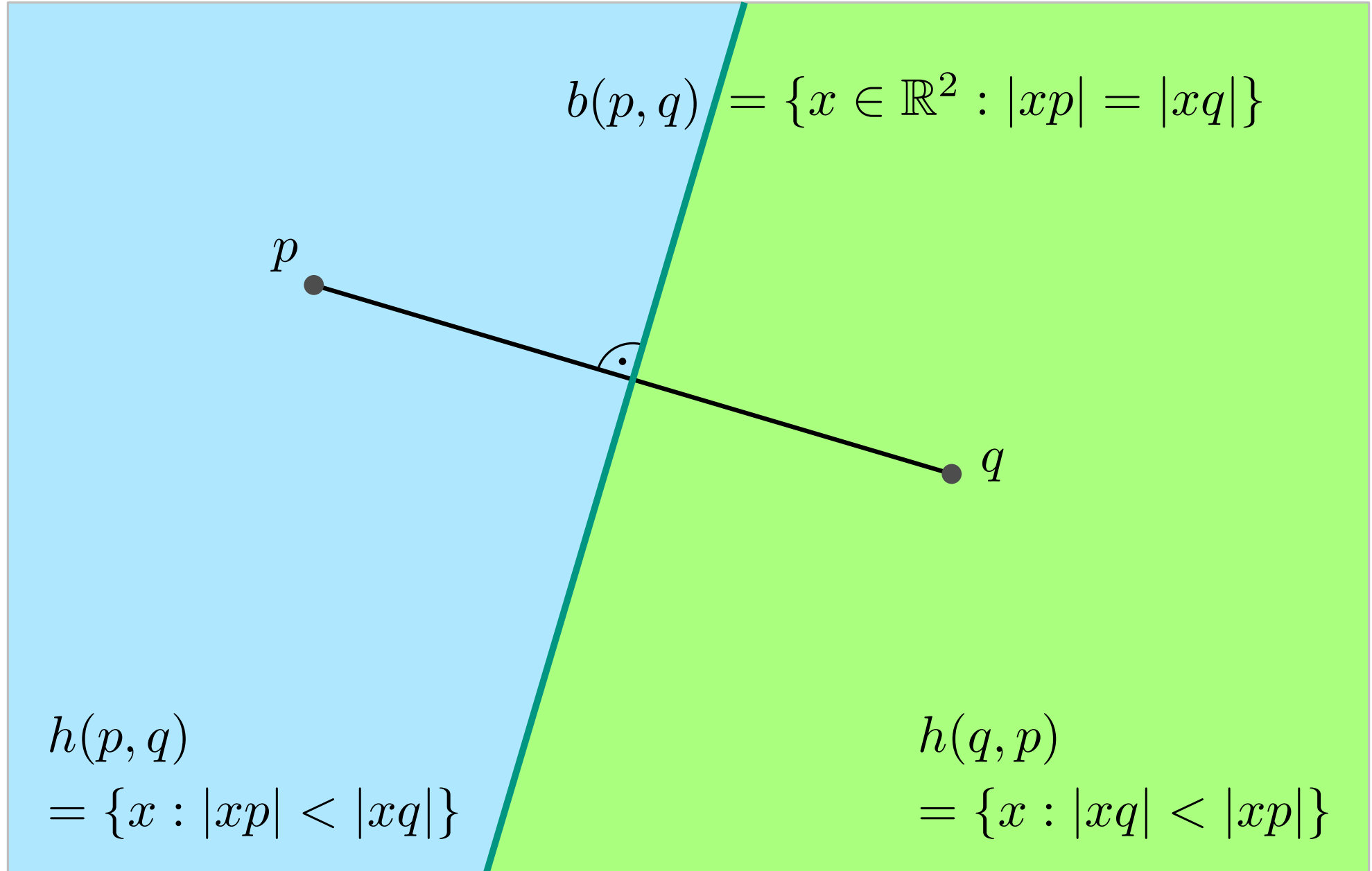




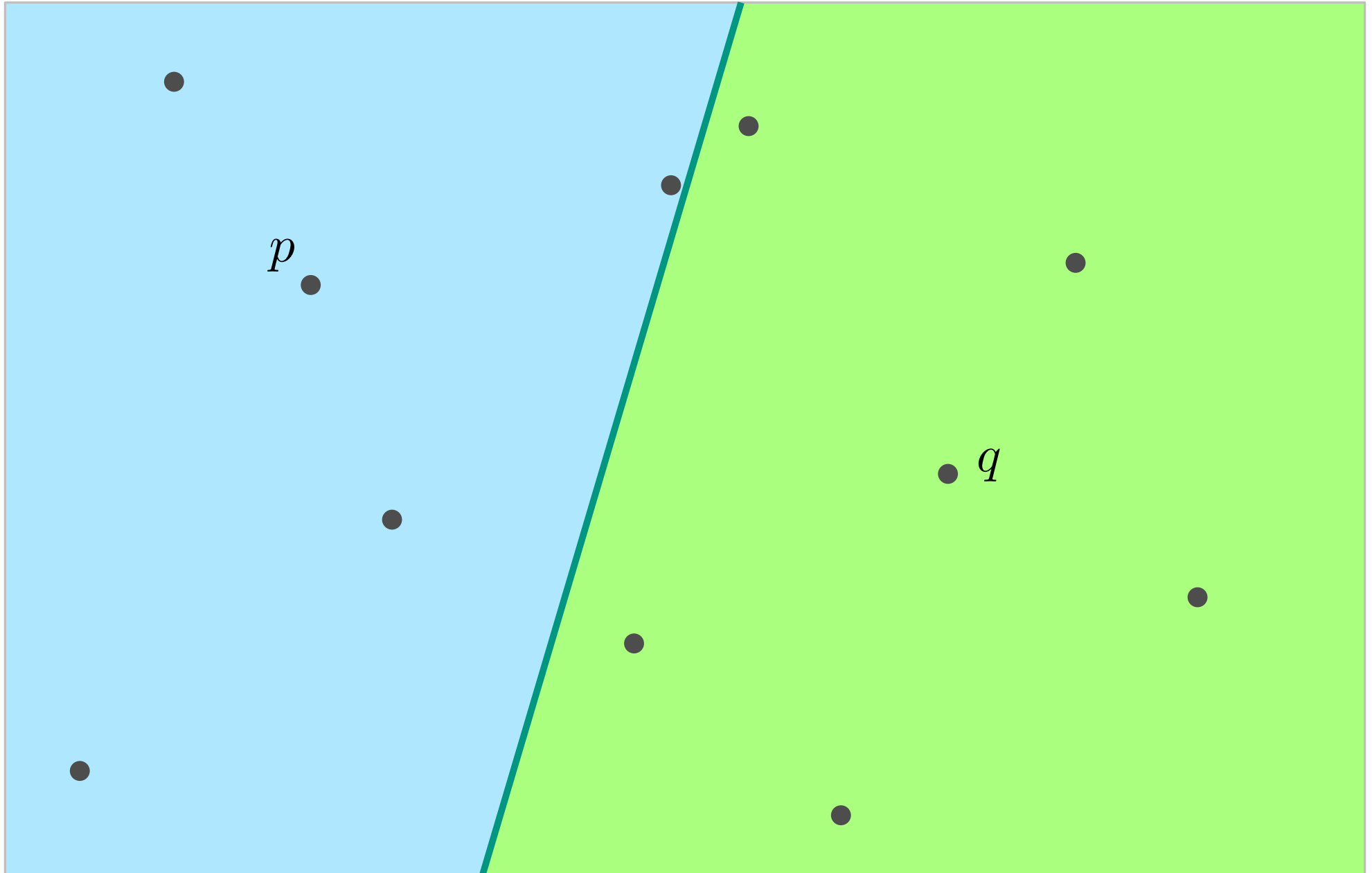






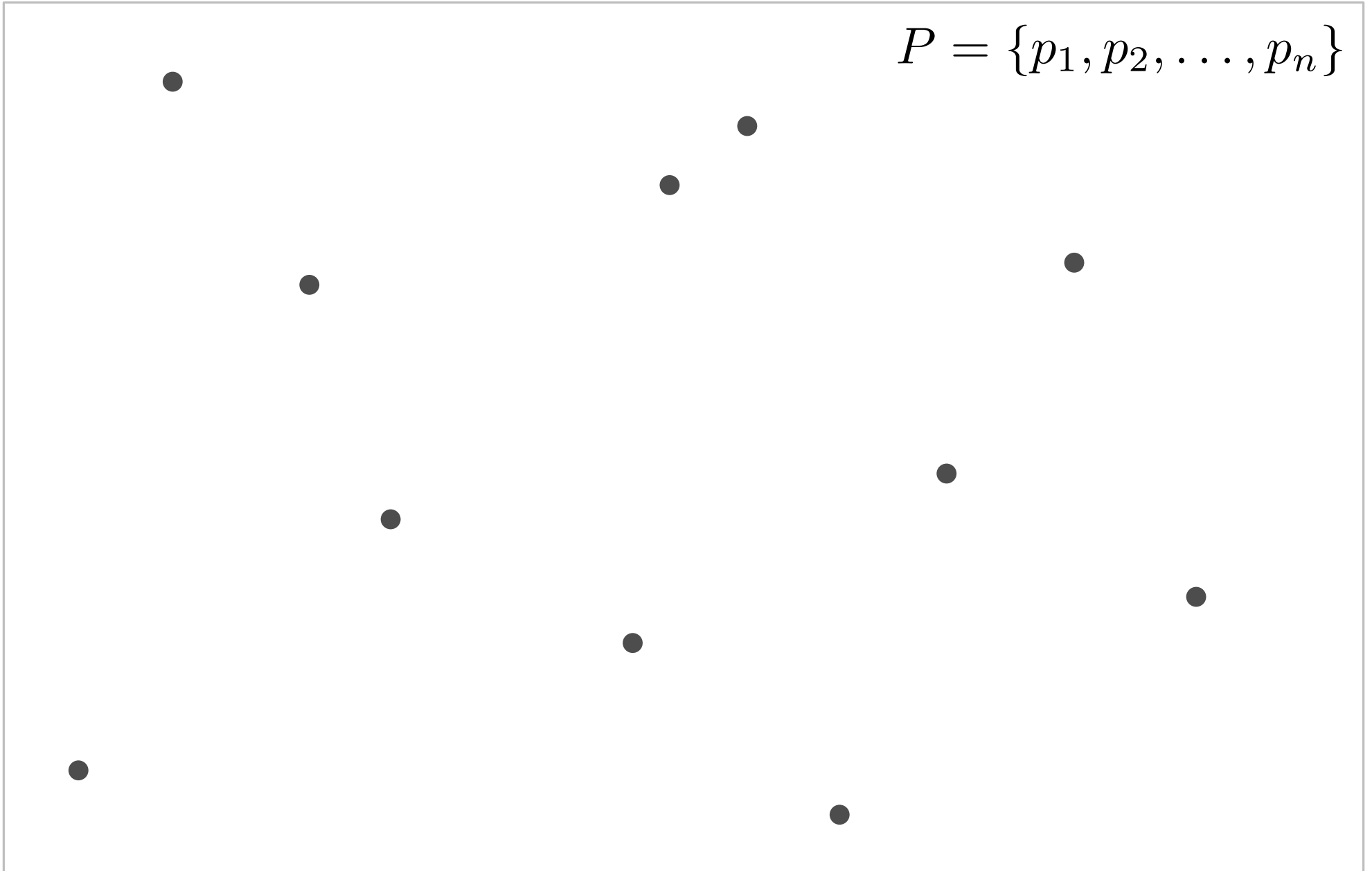


# Das Postamt-Problem

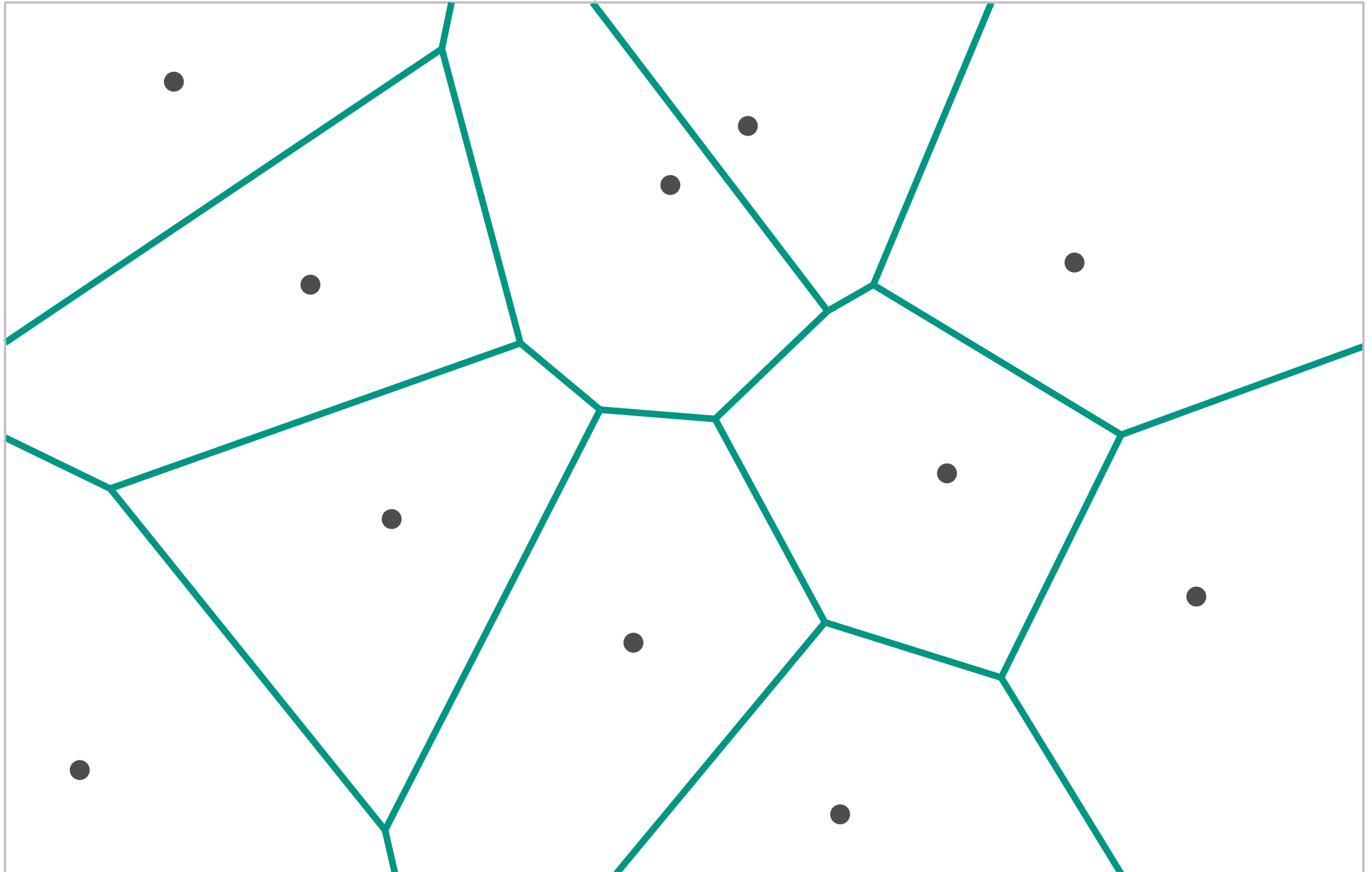


# Das Postamt-Problem

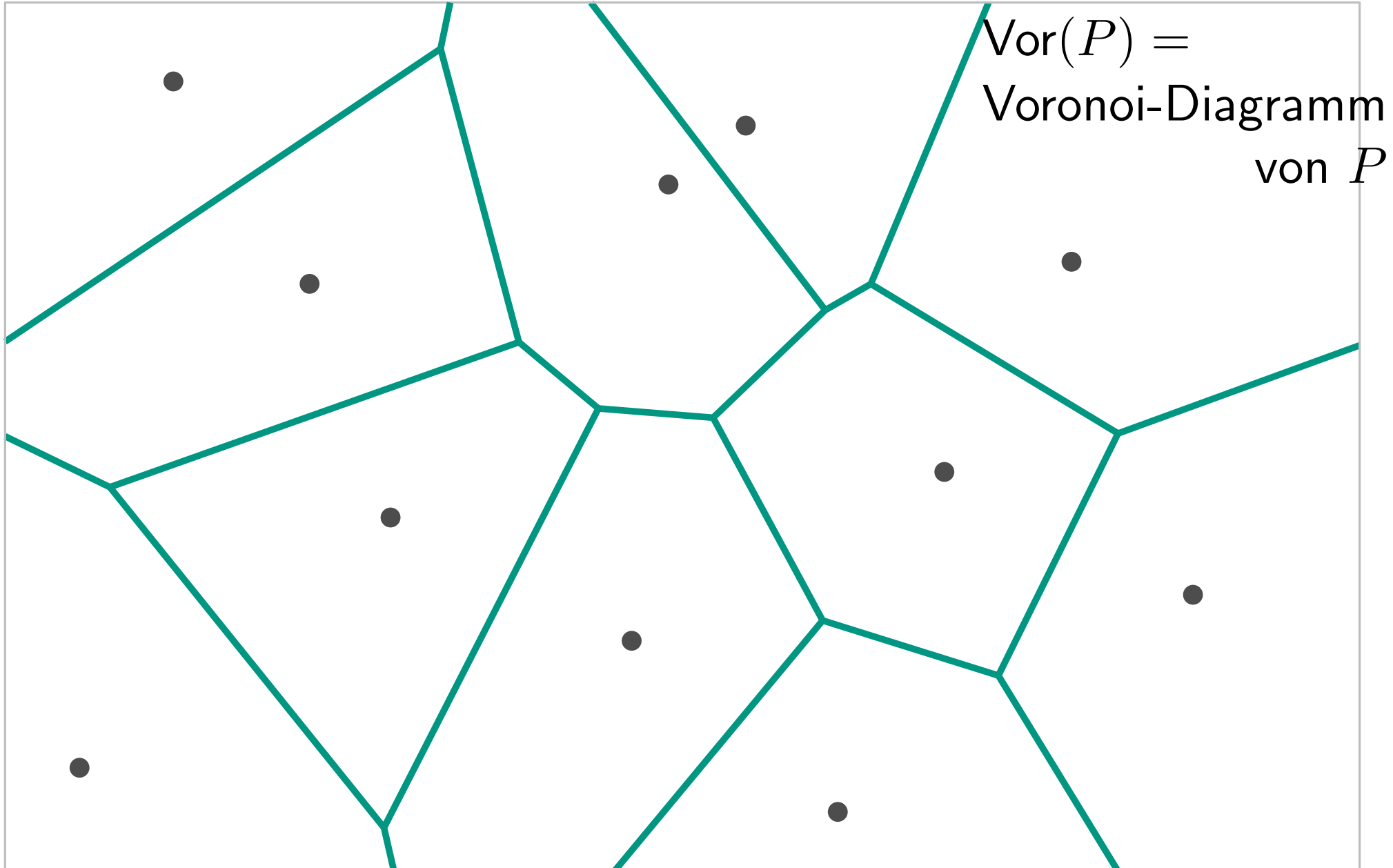
$$P = \{p_1, p_2, \dots, p_n\}$$



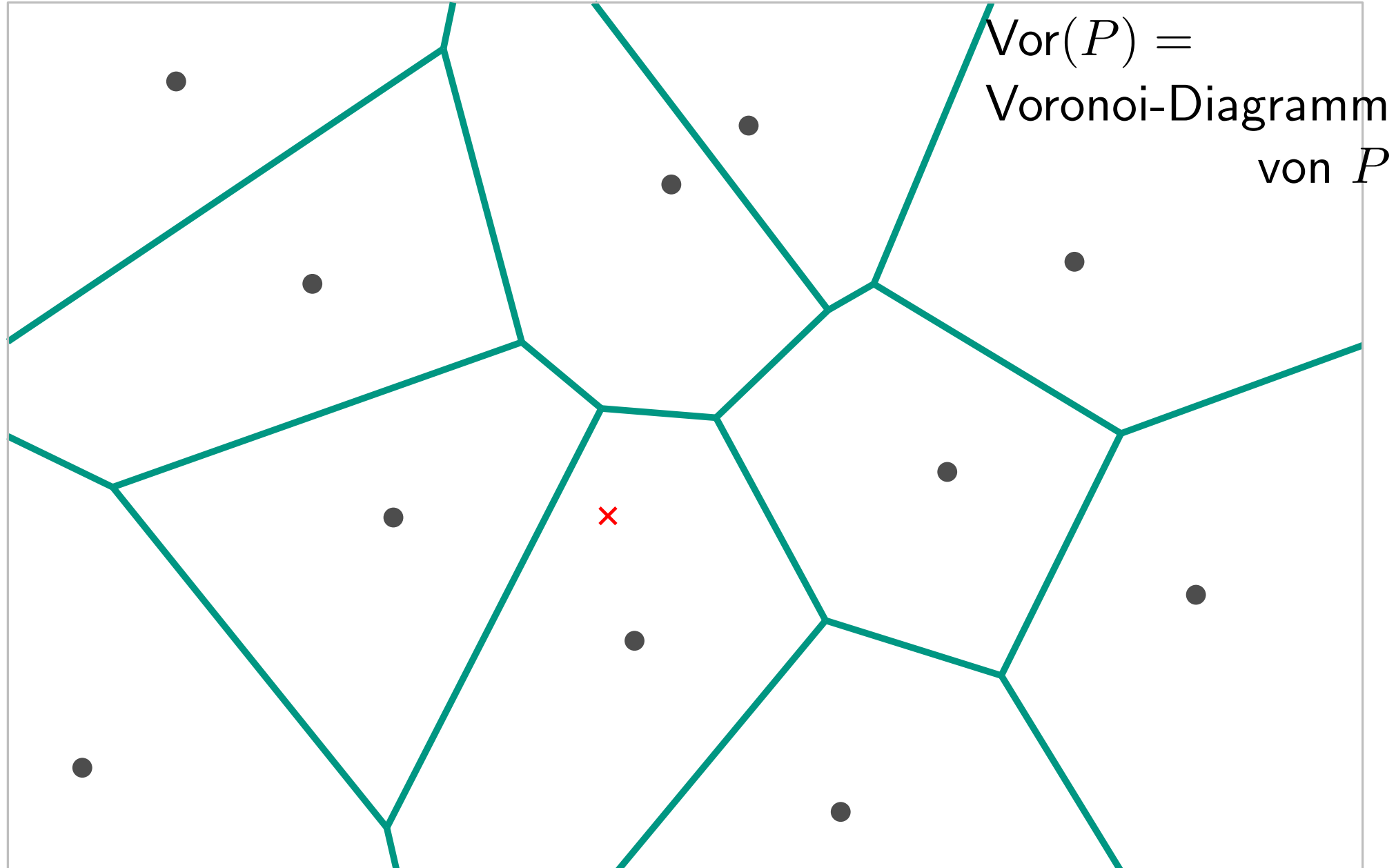
# Das Postamt-Problem



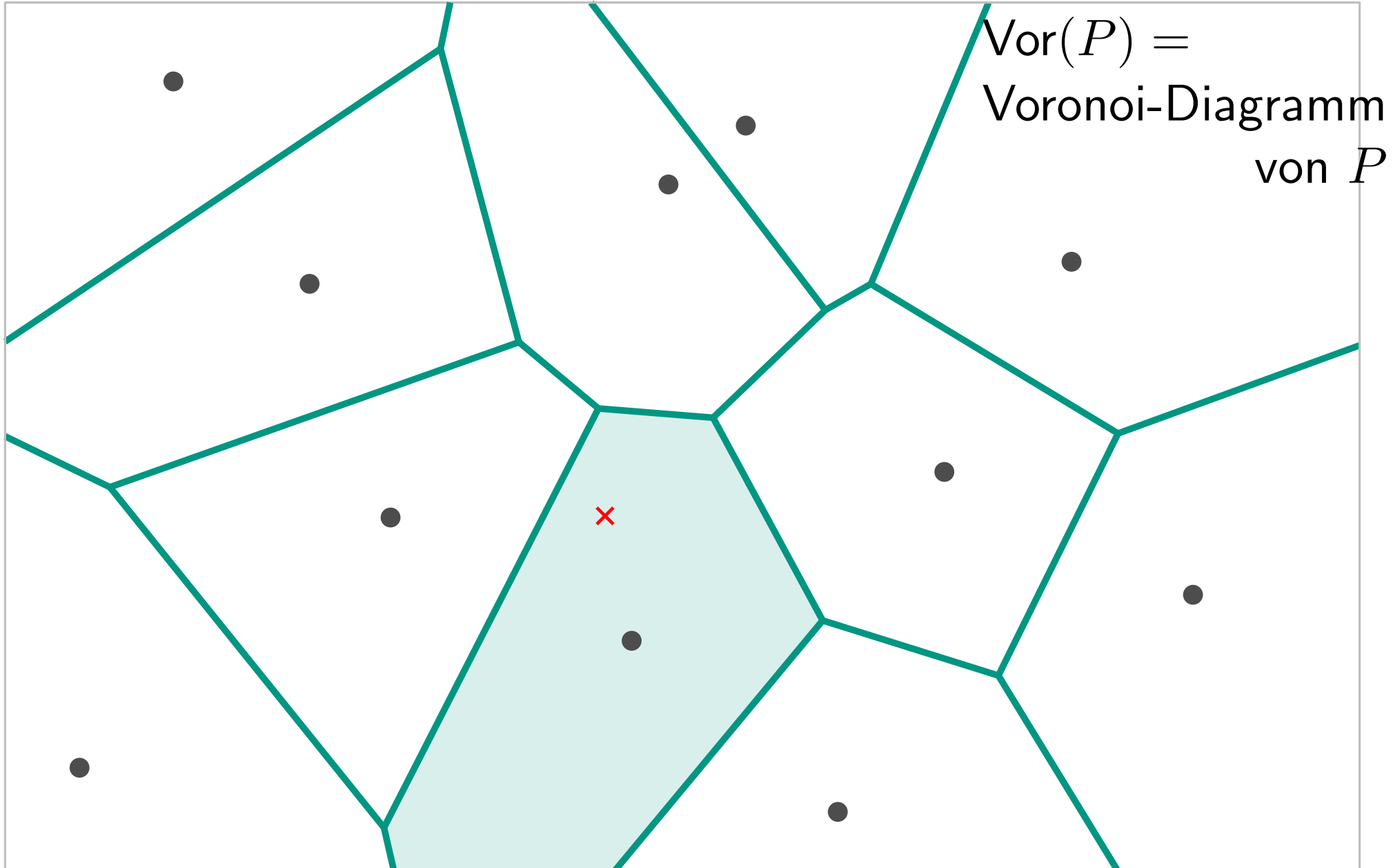
# Das Postamt-Problem



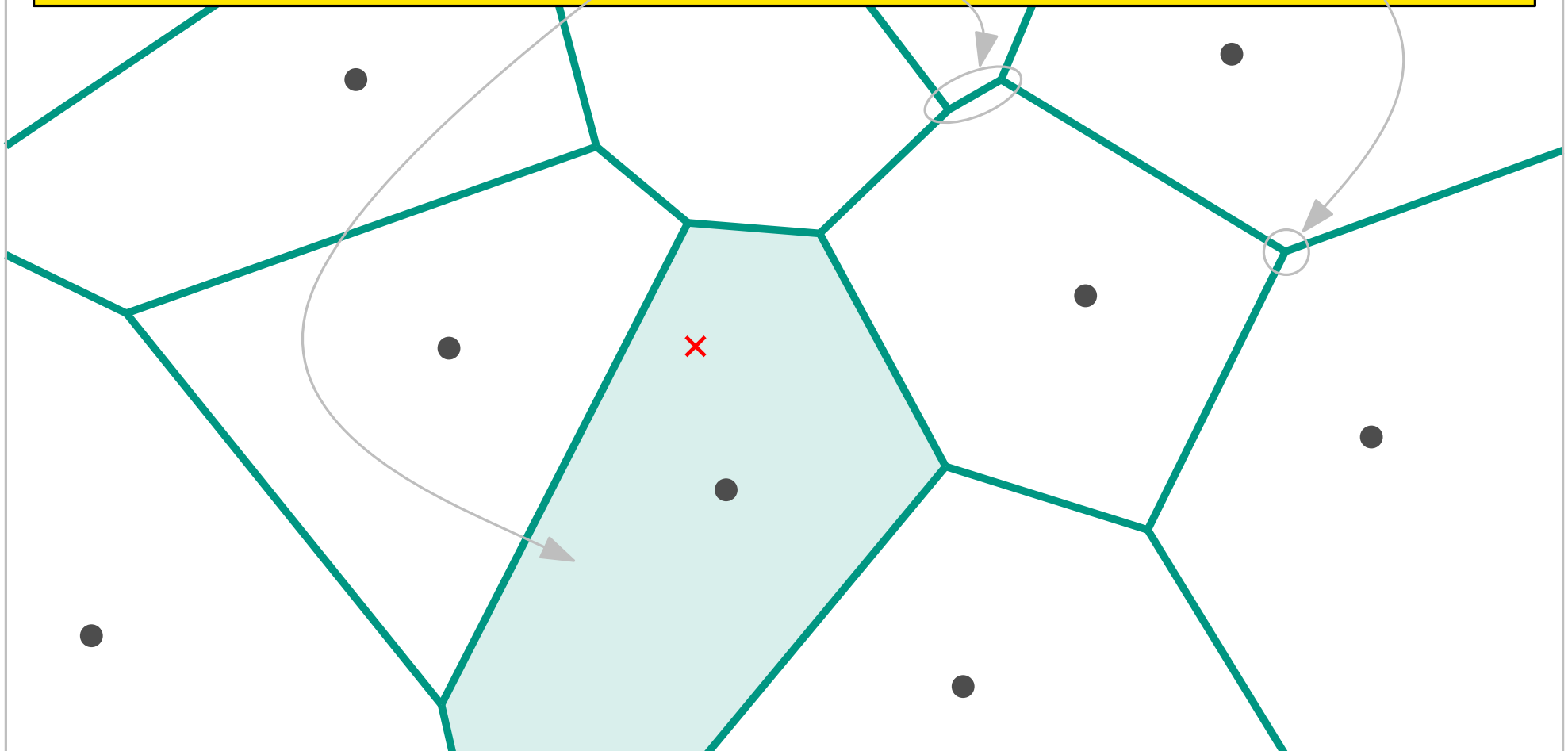
# Das Postamt-Problem



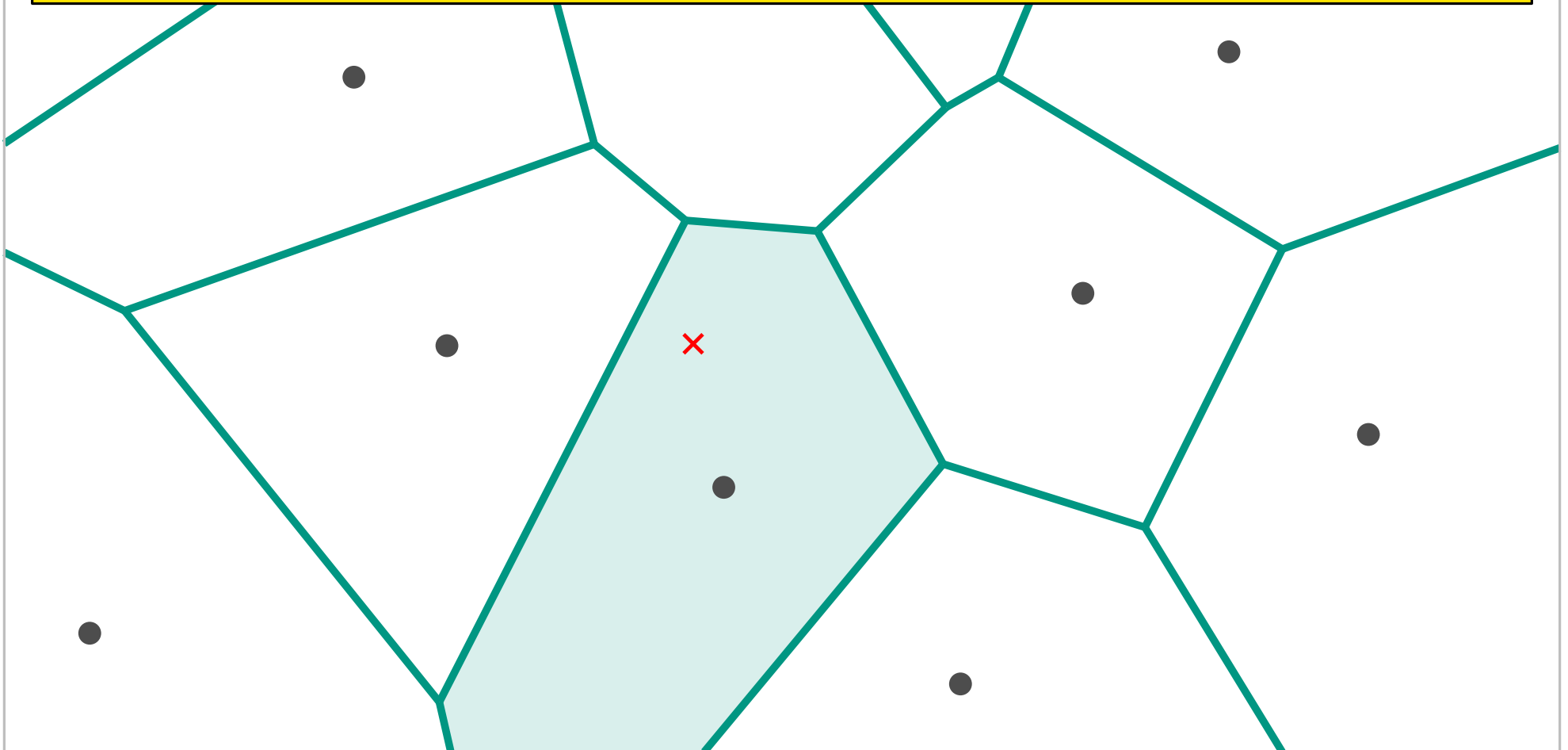
# Das Postamt-Problem



**Aufgabe: 1) Definiere Voronoi-Zellen, Kanten und Knoten!**



**Aufgabe:** 1) Definiere Voronoi-Zellen, Kanten und Knoten!  
2) Sind Voronoi-Zellen konvex?



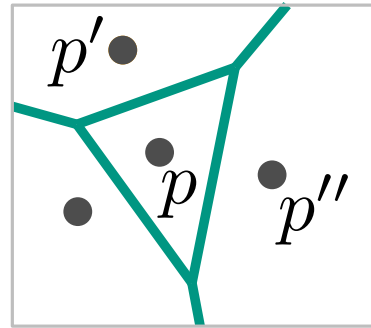
# Das Voronoi-Diagramm

Sei  $P$  eine Menge von Punkten in der Ebene und  $p, p', p'' \in P$ .

# Das Voronoi-Diagramm

Sei  $P$  eine Menge von Punkten in der Ebene und  $p, p', p'' \in P$ .

Voronoi-Diagramm

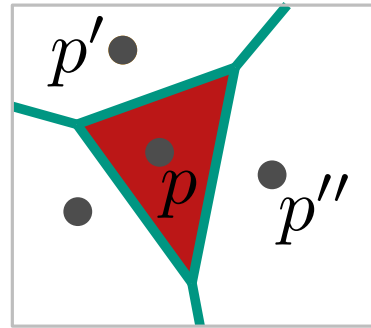


$\text{Vor}(P)$

# Das Voronoi-Diagramm

Sei  $P$  eine Menge von Punkten in der Ebene und  $p, p', p'' \in P$ .

Voronoi-Diagramm

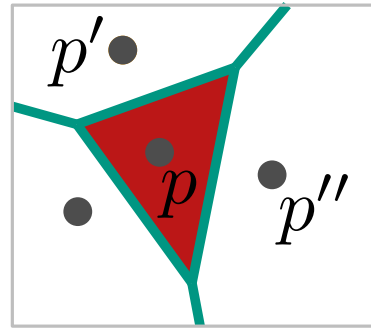


$\text{Vor}(P)$

# Das Voronoi-Diagramm

Sei  $P$  eine Menge von Punkten in der Ebene und  $p, p', p'' \in P$ .

Voronoi-Diagramm



$\text{Vor}(P)$

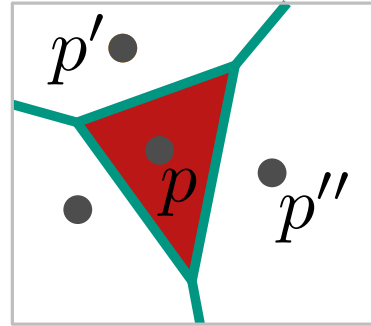
■ Voronoi-Zelle

$$\mathcal{V}(\{p\}) =$$

# Das Voronoi-Diagramm

Sei  $P$  eine Menge von Punkten in der Ebene und  $p, p', p'' \in P$ .

Voronoi-Diagramm



$\text{Vor}(P)$

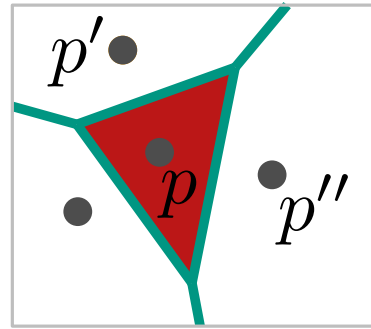
■ Voronoi-Zelle

$$\mathcal{V}(\{p\}) = \mathcal{V}(p) =$$

# Das Voronoi-Diagramm

Sei  $P$  eine Menge von Punkten in der Ebene und  $p, p', p'' \in P$ .

Voronoi-Diagramm



$\text{Vor}(P)$

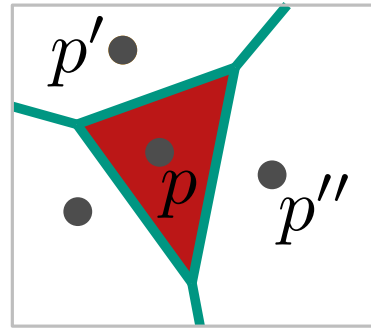
- Voronoi-Zelle

$$\mathcal{V}(\{p\}) = \mathcal{V}(p) = \{x \in \mathbb{R}^2 : |xp| < |xq| \forall q \in P \setminus \{p\}\}$$

# Das Voronoi-Diagramm

Sei  $P$  eine Menge von Punkten in der Ebene und  $p, p', p'' \in P$ .

Voronoi-Diagramm



$\text{Vor}(P)$

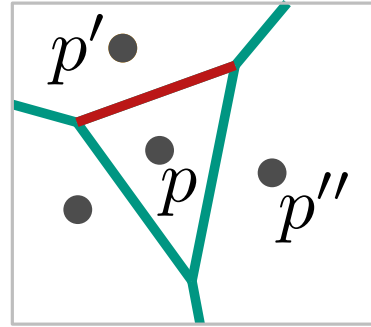
- Voronoi-Zelle

$$\begin{aligned}\mathcal{V}(\{p\}) = \mathcal{V}(p) &= \{x \in \mathbb{R}^2 : |xp| < |xq| \forall q \in P \setminus \{p\}\} \\ &= \bigcap_{q \neq p} h(p, q)\end{aligned}$$

# Das Voronoi-Diagramm

Sei  $P$  eine Menge von Punkten in der Ebene und  $p, p', p'' \in P$ .

Voronoi-Diagramm



$\text{Vor}(P)$

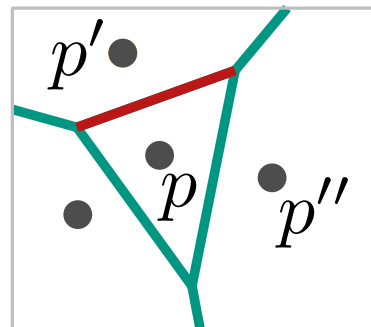
- Voronoi-Zelle

$$\begin{aligned}\mathcal{V}(\{p\}) = \mathcal{V}(p) &= \{x \in \mathbb{R}^2 : |xp| < |xq| \forall q \in P \setminus \{p\}\} \\ &= \bigcap_{q \neq p} h(p, q)\end{aligned}$$

# Das Voronoi-Diagramm

Sei  $P$  eine Menge von Punkten in der Ebene und  $p, p', p'' \in P$ .

Voronoi-Diagramm



$\text{Vor}(P)$

- Voronoi-Zelle

$$\begin{aligned}\mathcal{V}(\{p\}) = \mathcal{V}(p) &= \{x \in \mathbb{R}^2 : |xp| < |xq| \forall q \in P \setminus \{p\}\} \\ &= \bigcap_{q \neq p} h(p, q)\end{aligned}$$

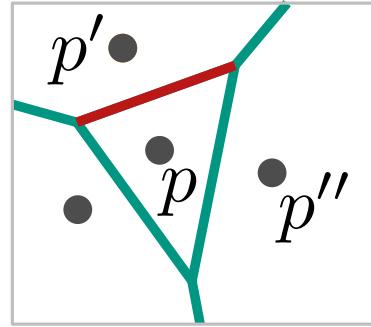
- Voronoi-Kante

$$\mathcal{V}(\{p, p'\}) =$$

# Das Voronoi-Diagramm

Sei  $P$  eine Menge von Punkten in der Ebene und  $p, p', p'' \in P$ .

Voronoi-Diagramm



$\text{Vor}(P)$

- Voronoi-Zelle

$$\begin{aligned}\mathcal{V}(\{p\}) = \mathcal{V}(p) &= \{x \in \mathbb{R}^2 : |xp| < |xq| \forall q \in P \setminus \{p\}\} \\ &= \bigcap_{q \neq p} h(p, q)\end{aligned}$$

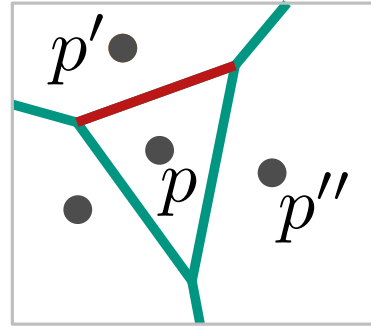
- Voronoi-Kante

$$\mathcal{V}(\{p, p'\}) = \{x : |xp| = |xp'| \text{ and } |xp| < |xq| \forall q \neq p, p'\}$$

# Das Voronoi-Diagramm

Sei  $P$  eine Menge von Punkten in der Ebene und  $p, p', p'' \in P$ .

Voronoi-Diagramm



$\text{Vor}(P)$

- Voronoi-Zelle

$$\begin{aligned}\mathcal{V}(\{p\}) = \mathcal{V}(p) &= \{x \in \mathbb{R}^2 : |xp| < |xq| \forall q \in P \setminus \{p\}\} \\ &= \bigcap_{q \neq p} h(p, q)\end{aligned}$$

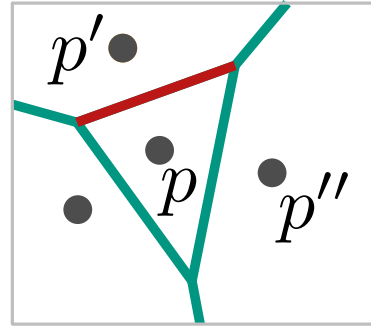
- Voronoi-Kante

$$\begin{aligned}\mathcal{V}(\{p, p'\}) &= \{x : |xp| = |xp'| \text{ and } |xp| < |xq| \forall q \neq p, p'\} \\ &= \partial\mathcal{V}(p) \cap \partial\mathcal{V}(p')\end{aligned}$$

# Das Voronoi-Diagramm

Sei  $P$  eine Menge von Punkten in der Ebene und  $p, p', p'' \in P$ .

Voronoi-Diagramm



$\text{Vor}(P)$

- Voronoi-Zelle

$$\begin{aligned}\mathcal{V}(\{p\}) = \mathcal{V}(p) &= \{x \in \mathbb{R}^2 : |xp| < |xq| \forall q \in P \setminus \{p\}\} \\ &= \bigcap_{q \neq p} h(p, q)\end{aligned}$$

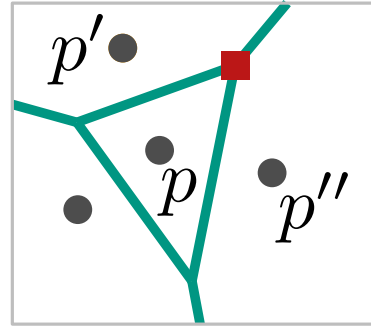
- Voronoi-Kante

$$\begin{aligned}\mathcal{V}(\{p, p'\}) &= \{x : |xp| = |xp'| \text{ and } |xp| < |xq| \forall q \neq p, p'\} \\ &= \text{rel-int}(\partial\mathcal{V}(p) \cap \partial\mathcal{V}(p')), \text{ d.h. ohne Endpunkte}\end{aligned}$$

# Das Voronoi-Diagramm

Sei  $P$  eine Menge von Punkten in der Ebene und  $p, p', p'' \in P$ .

Voronoi-Diagramm



$\text{Vor}(P)$

- Voronoi-Zelle

$$\begin{aligned}\mathcal{V}(\{p\}) = \mathcal{V}(p) &= \{x \in \mathbb{R}^2 : |xp| < |xq| \forall q \in P \setminus \{p\}\} \\ &= \bigcap_{q \neq p} h(p, q)\end{aligned}$$

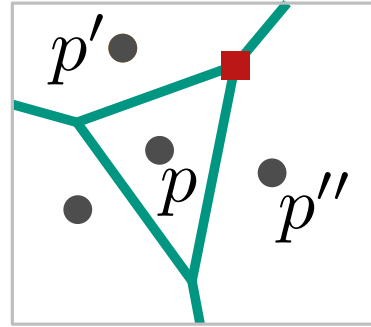
- Voronoi-Kante

$$\begin{aligned}\mathcal{V}(\{p, p'\}) &= \{x : |xp| = |xp'| \text{ and } |xp| < |xq| \forall q \neq p, p'\} \\ &= \text{rel-int}(\partial\mathcal{V}(p) \cap \partial\mathcal{V}(p')), \text{ d.h. ohne Endpunkte}\end{aligned}$$

# Das Voronoi-Diagramm

Sei  $P$  eine Menge von Punkten in der Ebene und  $p, p', p'' \in P$ .

Voronoi-Diagramm



$\text{Vor}(P)$

- Voronoi-Zelle

$$\begin{aligned}\mathcal{V}(\{p\}) = \mathcal{V}(p) &= \{x \in \mathbb{R}^2 : |xp| < |xq| \forall q \in P \setminus \{p\}\} \\ &= \bigcap_{q \neq p} h(p, q)\end{aligned}$$

- Voronoi-Kante

$$\begin{aligned}\mathcal{V}(\{p, p'\}) &= \{x : |xp| = |xp'| \text{ and } |xp| < |xq| \forall q \neq p, p'\} \\ &= \text{rel-int}(\partial\mathcal{V}(p) \cap \partial\mathcal{V}(p')), \text{ d.h. ohne Endpunkte}\end{aligned}$$

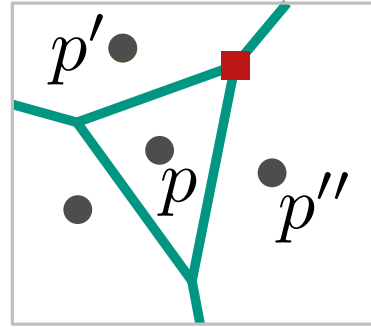
- Voronoi-Knoten

$$\mathcal{V}(\{p, p', p''\})$$

# Das Voronoi-Diagramm

Sei  $P$  eine Menge von Punkten in der Ebene und  $p, p', p'' \in P$ .

Voronoi-Diagramm



$\text{Vor}(P)$

- Voronoi-Zelle

$$\begin{aligned}\mathcal{V}(\{p\}) = \mathcal{V}(p) &= \{x \in \mathbb{R}^2 : |xp| < |xq| \forall q \in P \setminus \{p\}\} \\ &= \bigcap_{q \neq p} h(p, q)\end{aligned}$$

- Voronoi-Kante

$$\begin{aligned}\mathcal{V}(\{p, p'\}) &= \{x : |xp| = |xp'| \text{ and } |xp| < |xq| \forall q \neq p, p'\} \\ &= \text{rel-int}(\partial\mathcal{V}(p) \cap \partial\mathcal{V}(p')), \text{ d.h. ohne Endpunkte}\end{aligned}$$

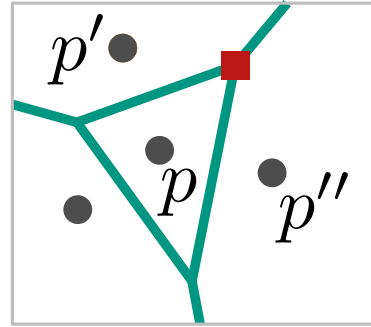
- Voronoi-Knoten

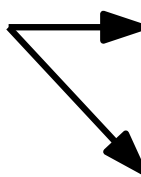
$$\mathcal{V}(\{p, p', p''\}) = \partial\mathcal{V}(p) \cap \partial\mathcal{V}(p') \cap \partial\mathcal{V}(p'')$$

# Das Voronoi-Diagramm

Sei  $P$  eine Menge von Punkten in der Ebene und  $p, p', p'' \in P$ .

Voronoi-Diagramm



$\text{Vor}(P)$  

- Voronoi-Zelle

$$\begin{aligned}\mathcal{V}(\{p\}) = \mathcal{V}(p) &= \{x \in \mathbb{R}^2 : |xp| < |xq| \forall q \in P \setminus \{p\}\} \\ &= \bigcap_{q \neq p} h(p, q)\end{aligned}$$

- Voronoi-Kante

$$\begin{aligned}\mathcal{V}(\{p, p'\}) &= \{x : |xp| = |xp'| \text{ and } |xp| < |xq| \forall q \neq p, p'\} \\ &= \text{rel-int}(\partial\mathcal{V}(p) \cap \partial\mathcal{V}(p')), \text{ d.h. ohne Endpunkte}\end{aligned}$$

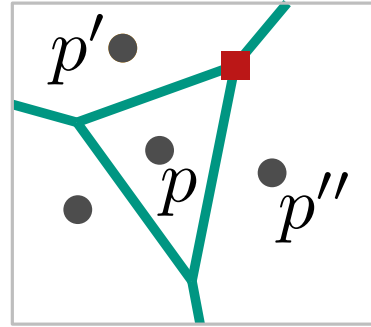
- Voronoi-Knoten

$$\mathcal{V}(\{p, p', p''\}) = \partial\mathcal{V}(p) \cap \partial\mathcal{V}(p') \cap \partial\mathcal{V}(p'')$$

# Das Voronoi-Diagramm

Sei  $P$  eine Menge von Punkten in der Ebene und  $p, p', p'' \in P$ .

Voronoi-Diagramm



$\text{Vor}(P)$   Unterteilung

## ■ Voronoi-Zelle

$$\begin{aligned}\mathcal{V}(\{p\}) = \mathcal{V}(p) &= \{x \in \mathbb{R}^2 : |xp| < |xq| \forall q \in P \setminus \{p\}\} \\ &= \bigcap_{q \neq p} h(p, q)\end{aligned}$$

## ■ Voronoi-Kante

$$\begin{aligned}\mathcal{V}(\{p, p'\}) &= \{x : |xp| = |xp'| \text{ and } |xp| < |xq| \forall q \neq p, p'\} \\ &= \text{rel-int}(\partial\mathcal{V}(p) \cap \partial\mathcal{V}(p')), \text{ d.h. ohne Endpunkte}\end{aligned}$$

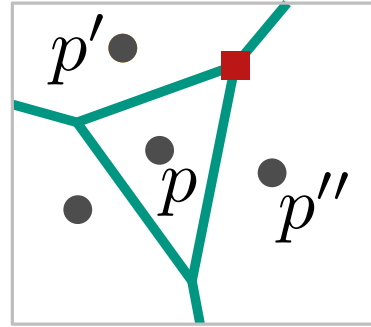
## ■ Voronoi-Knoten

$$\mathcal{V}(\{p, p', p''\}) = \partial\mathcal{V}(p) \cap \partial\mathcal{V}(p') \cap \partial\mathcal{V}(p'')$$

# Das Voronoi-Diagramm

Sei  $P$  eine Menge von Punkten in der Ebene und  $p, p', p'' \in P$ .

Voronoi-Diagramm



$\text{Vor}(P)$   $\begin{cases} \rightarrow \text{Unterteilung} \\ \rightarrow \text{geometr. Graph} \end{cases}$

## ■ Voronoi-Zelle

$$\begin{aligned}\mathcal{V}(\{p\}) = \mathcal{V}(p) &= \{x \in \mathbb{R}^2 : |xp| < |xq| \forall q \in P \setminus \{p\}\} \\ &= \bigcap_{q \neq p} h(p, q)\end{aligned}$$

## ■ Voronoi-Kante

$$\begin{aligned}\mathcal{V}(\{p, p'\}) &= \{x : |xp| = |xp'| \text{ and } |xp| < |xq| \forall q \neq p, p'\} \\ &= \text{rel-int}(\partial\mathcal{V}(p) \cap \partial\mathcal{V}(p')), \text{ d.h. ohne Endpunkte}\end{aligned}$$

## ■ Voronoi-Knoten

$$\mathcal{V}(\{p, p', p''\}) = \partial\mathcal{V}(p) \cap \partial\mathcal{V}(p') \cap \partial\mathcal{V}(p'')$$

**Satz 1:** Sei  $P \subset \mathbb{R}^2$  eine Menge von  $n$  Punkten. Sind alle Punkte kollinear, besteht  $\text{Vor}(P)$  aus  $n - 1$  parallelen Geraden. Sonst ist  $\text{Vor}(P)$  zusammenhängend und die Kanten sind Strecken oder Halbgeraden.

**Satz 1:** Sei  $P \subset \mathbb{R}^2$  eine Menge von  $n$  Punkten. Sind alle Punkte kollinear, besteht  $\text{Vor}(P)$  aus  $n - 1$  parallelen Geraden. Sonst ist  $\text{Vor}(P)$  zusammenhängend und die Kanten sind Strecken oder Halbgeraden.

Finde eine Menge  $P$ , so dass  $\text{Vor}(P)$  eine Zelle linearer Komplexität hat.

**Satz 1:** Sei  $P \subset \mathbb{R}^2$  eine Menge von  $n$  Punkten. Sind alle Punkte kollinear, besteht  $\text{Vor}(P)$  aus  $n - 1$  parallelen Geraden. Sonst ist  $\text{Vor}(P)$  zusammenhängend und die Kanten sind Strecken oder Halbgeraden.

Finde eine Menge  $P$ , so dass  $\text{Vor}(P)$  eine Zelle linearer Komplexität hat.

Kann das für (fast) jede Zelle passieren?

**Satz 1:** Sei  $P \subset \mathbb{R}^2$  eine Menge von  $n$  Punkten. Sind alle Punkte kollinear, besteht  $\text{Vor}(P)$  aus  $n - 1$  parallelen Geraden. Sonst ist  $\text{Vor}(P)$  zusammenhängend und die Kanten sind Strecken oder Halbgeraden.

Finde eine Menge  $P$ , so dass  $\text{Vor}(P)$  eine Zelle linearer Komplexität hat.

Kann das für (fast) jede Zelle passieren?

**Satz 2:** Sei  $P \subset \mathbb{R}^2$  Menge von  $n$  Punkten.  $\text{Vor}(P)$  besteht aus

**Satz 1:** Sei  $P \subset \mathbb{R}^2$  eine Menge von  $n$  Punkten. Sind alle Punkte kollinear, besteht  $\text{Vor}(P)$  aus  $n - 1$  parallelen Geraden. Sonst ist  $\text{Vor}(P)$  zusammenhängend und die Kanten sind Strecken oder Halbgeraden.

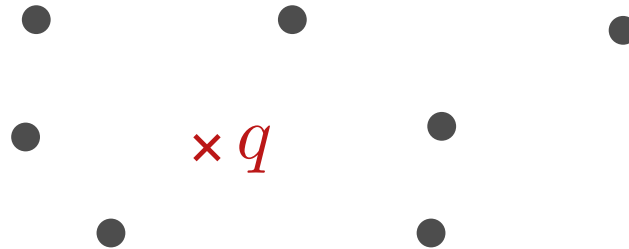
Finde eine Menge  $P$ , so dass  $\text{Vor}(P)$  eine Zelle linearer Komplexität hat.

Kann das für (fast) jede Zelle passieren?

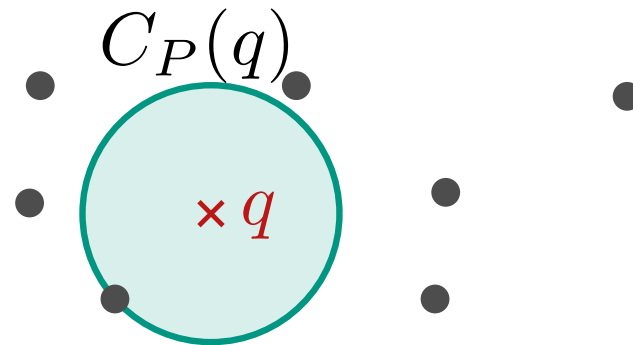
**Satz 2:** Sei  $P \subset \mathbb{R}^2$  Menge von  $n$  Punkten.  $\text{Vor}(P)$  besteht aus höchstens  $2n - 5$  Knoten und  $3n - 6$  Kanten.

# Charakterisierung

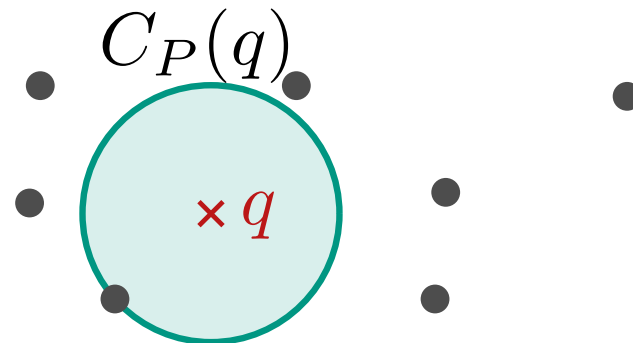
**Definition:** Sei  $q$  ein Punkt. Definiere  $C_P(q)$  als den bzgl.  $P$  größten im Inneren leeren Kreis mit Mittelpunkt  $q$ .



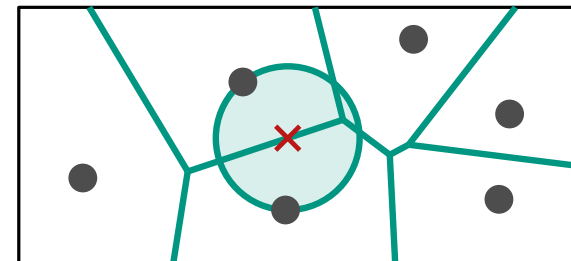
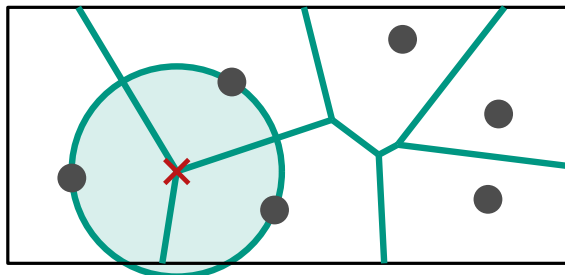
**Definition:** Sei  $q$  ein Punkt. Definiere  $C_P(q)$  als den bzgl.  $P$  größten im Inneren leeren Kreis mit Mittelpunkt  $q$ .



**Definition:** Sei  $q$  ein Punkt. Definiere  $C_P(q)$  als den bzgl.  $P$  größten im Inneren leeren Kreis mit Mittelpunkt  $q$ .



- Satz 3:**
- Ein Punkt  $q$  ist ein Voronoi-Knoten  
 $\Leftrightarrow |C_P(q) \cap P| \geq 3$ ,
  - der Bisektor  $b(p_i, p_j)$  definiert eine Voronoi-Kante  
 $\Leftrightarrow \exists q \in b(p_i, p_j)$  mit  $C_P(q) \cap P = \{p_i, p_j\}$ .



# Berechnung von $\text{Vor}(P)$

Für jedes  $p \in P$  ist  $\mathcal{V}(p) = \bigcap_{p' \neq p} h(p, p')$  der Schnitt von  $n - 1$  Halbebenen.

Wie könnte man  $\text{Vor}(P)$  mit schon bekannten Algorithmen berechnen?

# Berechnung von $\text{Vor}(P)$

Für jedes  $p \in P$  ist  $\mathcal{V}(p) = \bigcap_{p' \neq p} h(p, p')$  der Schnitt von  $n - 1$  Halbebenen.

Wie könnte man  $\text{Vor}(P)$  mit schon bekannten Algorithmen berechnen?

**foreach**  $p \in P$  **do**

└ berechne  $\mathcal{V}(p) = \bigcap_{p' \neq p} h(p, p')$

# Berechnung von $\text{Vor}(P)$

Für jedes  $p \in P$  ist  $\mathcal{V}(p) = \bigcap_{p' \neq p} h(p, p')$  der Schnitt von  $n - 1$  Halbebenen.

Wie könnte man  $\text{Vor}(P)$  mit schon bekannten Algorithmen berechnen?

**foreach**  $p \in P$  **do**

└ berechne  $\mathcal{V}(p) = \bigcap_{p' \neq p} h(p, p')$   $O(n \log n)$  [VL 4]

# Berechnung von $\text{Vor}(P)$

Für jedes  $p \in P$  ist  $\mathcal{V}(p) = \bigcap_{p' \neq p} h(p, p')$  der Schnitt von  $n - 1$  Halbebenen.

Wie könnte man  $\text{Vor}(P)$  mit schon bekannten Algorithmen berechnen?

```
foreach  $p \in P$  do  $O(n^2 \log n)$   
└ berechne  $\mathcal{V}(p) = \bigcap_{p' \neq p} h(p, p')$   $O(n \log n)$  [VL 4]
```

# Berechnung von $\text{Vor}(P)$

Für jedes  $p \in P$  ist  $\mathcal{V}(p) = \bigcap_{p' \neq p} h(p, p')$  der Schnitt von  $n - 1$  Halbebenen.

Wie könnte man  $\text{Vor}(P)$  mit schon bekannten Algorithmen berechnen?

```
foreach  $p \in P$  do  $O(n^2 \log n)$   
└ berechne  $\mathcal{V}(p) = \bigcap_{p' \neq p} h(p, p')$   $O(n \log n)$  [VL 4]
```

Ist  $O(n^2 \log n)$  Laufzeit für ein Objekt linearer Größe nötig?

# Berechnung von $\text{Vor}(P)$

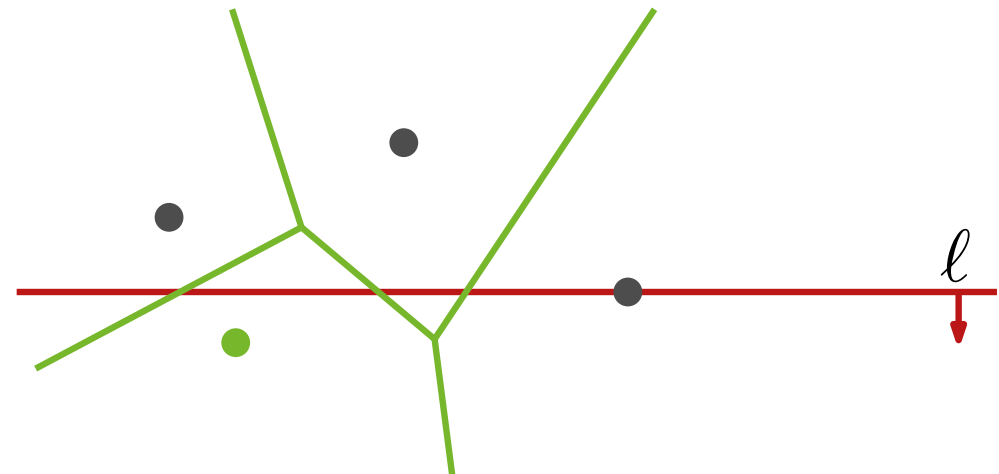
Für jedes  $p \in P$  ist  $\mathcal{V}(p) = \bigcap_{p' \neq p} h(p, p')$  der Schnitt von  $n - 1$  Halbebenen.

Wie könnte man  $\text{Vor}(P)$  mit schon bekannten Algorithmen berechnen?

```
foreach  $p \in P$  do  $O(n^2 \log n)$   
└ berechne  $\mathcal{V}(p) = \bigcap_{p' \neq p} h(p, p')$   $O(n \log n)$  [VL 4]
```

Ist  $O(n^2 \log n)$  Laufzeit für ein Objekt linearer Größe nötig?

**Idee 2:** Sweep-Verfahren



# Berechnung von $\text{Vor}(P)$

Für jedes  $p \in P$  ist  $\mathcal{V}(p) = \bigcap_{p' \neq p} h(p, p')$  der Schnitt von  $n - 1$  Halbebenen.

Wie könnte man  $\text{Vor}(P)$  mit schon bekannten Algorithmen berechnen?

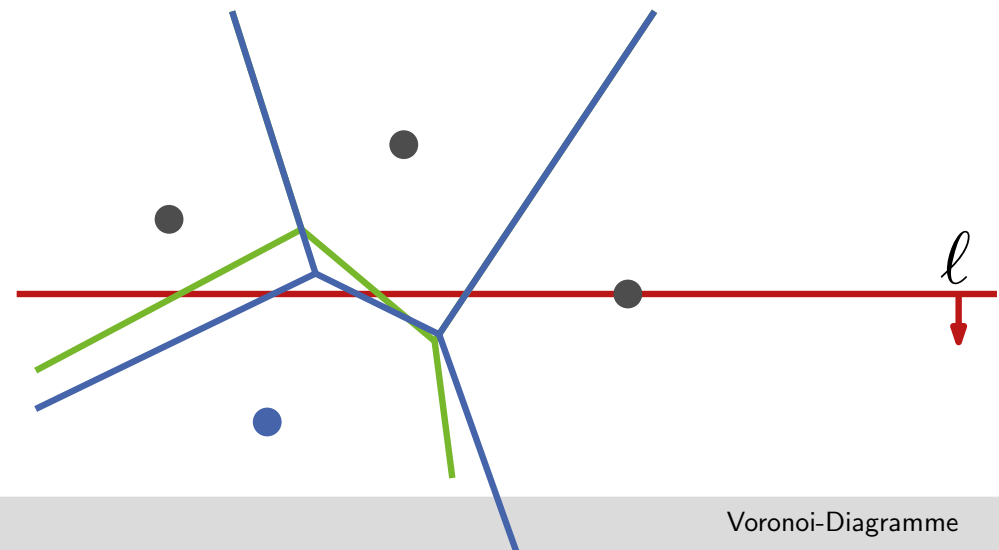
```
foreach  $p \in P$  do  $O(n^2 \log n)$   
└ berechne  $\mathcal{V}(p) = \bigcap_{p' \neq p} h(p, p')$   $O(n \log n)$  [VL 4]
```

Ist  $O(n^2 \log n)$  Laufzeit für ein Objekt linearer Größe nötig?

**Idee 2:** Sweep-Verfahren

**Problem:**

$\text{Vor}(P)$  oberhalb  $\ell$  hängt von Punkten unterhalb  $\ell$  ab!



# Berechnung von $\text{Vor}(P)$

Für jedes  $p \in P$  ist  $\mathcal{V}(p) = \bigcap_{p' \neq p} h(p, p')$  der Schnitt von  $n - 1$  Halbebenen.

Wie könnte man  $\text{Vor}(P)$  mit schon bekannten Algorithmen berechnen?

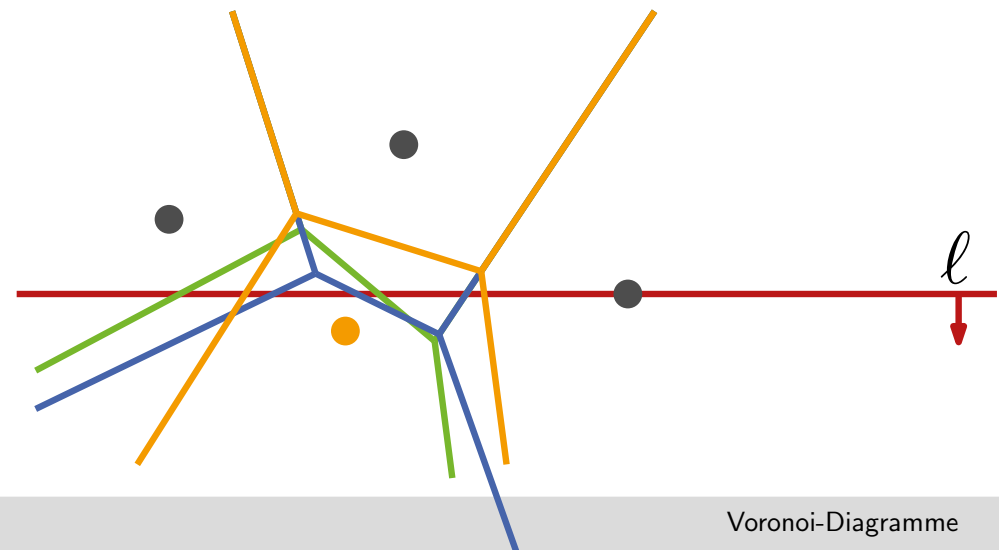
```
foreach  $p \in P$  do  $O(n^2 \log n)$   
└ berechne  $\mathcal{V}(p) = \bigcap_{p' \neq p} h(p, p')$   $O(n \log n)$  [VL 4]
```

Ist  $O(n^2 \log n)$  Laufzeit für ein Objekt linearer Größe nötig?

**Idee 2:** Sweep-Verfahren

**Problem:**

$\text{Vor}(P)$  oberhalb  $\ell$  hängt von Punkten unterhalb  $\ell$  ab!



# In Richtung Sweep-Verfahren

Offensichtlich ist der Schnitt von  $\text{Vor}(P)$  und Sweep Line  $\ell$  zum aktuellen Zeitpunkt noch nicht bekannt.

# In Richtung Sweep-Verfahren

Offensichtlich ist der Schnitt von  $\text{Vor}(P)$  und Sweep Line  $\ell$  zum aktuellen Zeitpunkt noch nicht bekannt.

Betrachte stattdessen den Teil oberhalb  $\ell$ , der schon fest ist!

# In Richtung Sweep-Verfahren

Offensichtlich ist der Schnitt von  $\text{Vor}(P)$  und Sweep Line  $\ell$  zum aktuellen Zeitpunkt noch nicht bekannt.

Betrachte stattdessen den Teil oberhalb  $\ell$ , der schon fest ist!

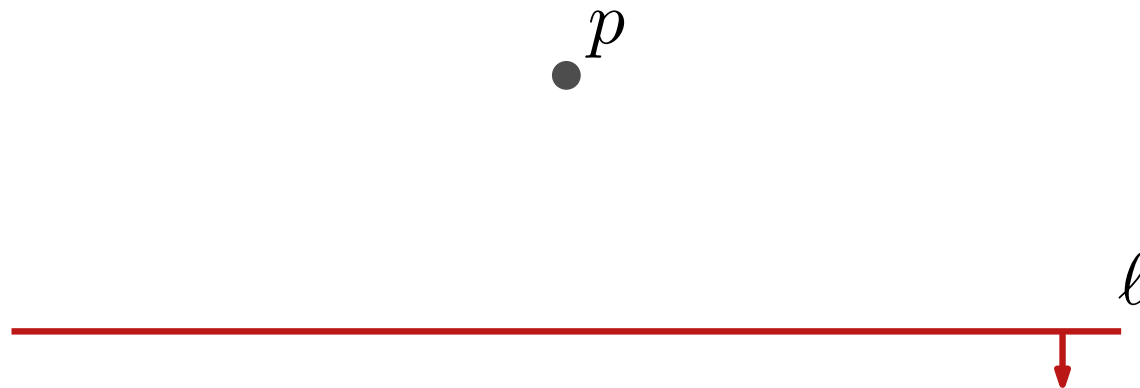
Wie sieht der aus?

# In Richtung Sweep-Verfahren

Offensichtlich ist der Schnitt von  $\text{Vor}(P)$  und Sweep Line  $\ell$  zum aktuellen Zeitpunkt noch nicht bekannt.

Betrachte stattdessen den Teil oberhalb  $\ell$ , der schon fest ist!

Wie sieht der aus?



# In Richtung Sweep-Verfahren

Offensichtlich ist der Schnitt von  $\text{Vor}(P)$  und Sweep Line  $\ell$  zum aktuellen Zeitpunkt noch nicht bekannt.

Betrachte stattdessen den Teil oberhalb  $\ell$ , der schon fest ist!

Wie sieht der aus?

$p$



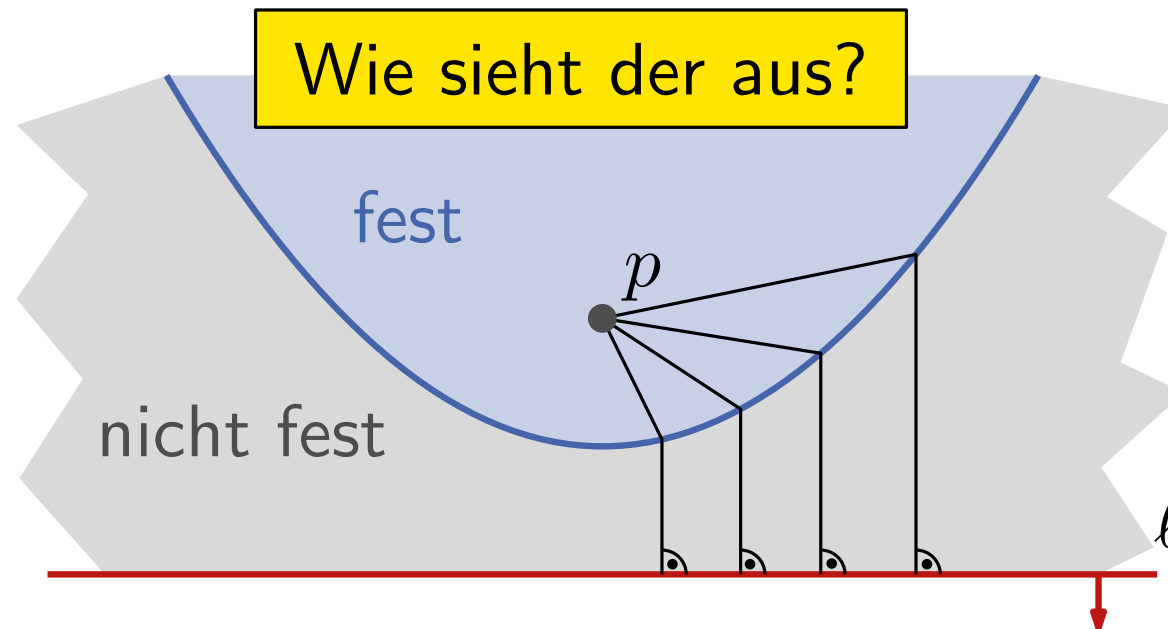
Punkte näher an  $p$  als an  $\ell$  sind schon fest zugeordnet



# In Richtung Sweep-Verfahren

Offensichtlich ist der Schnitt von  $\text{Vor}(P)$  und Sweep Line  $\ell$  zum aktuellen Zeitpunkt noch nicht bekannt.

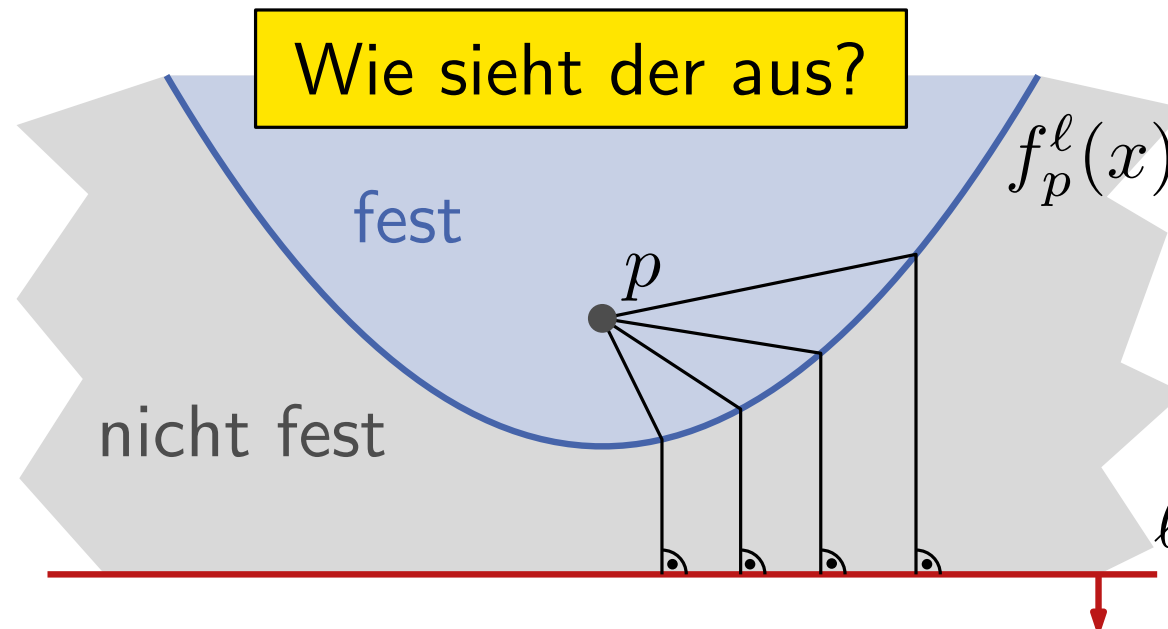
Betrachte stattdessen den Teil oberhalb  $\ell$ , der schon fest ist!



# In Richtung Sweep-Verfahren

Offensichtlich ist der Schnitt von  $\text{Vor}(P)$  und Sweep Line  $\ell$  zum aktuellen Zeitpunkt noch nicht bekannt.

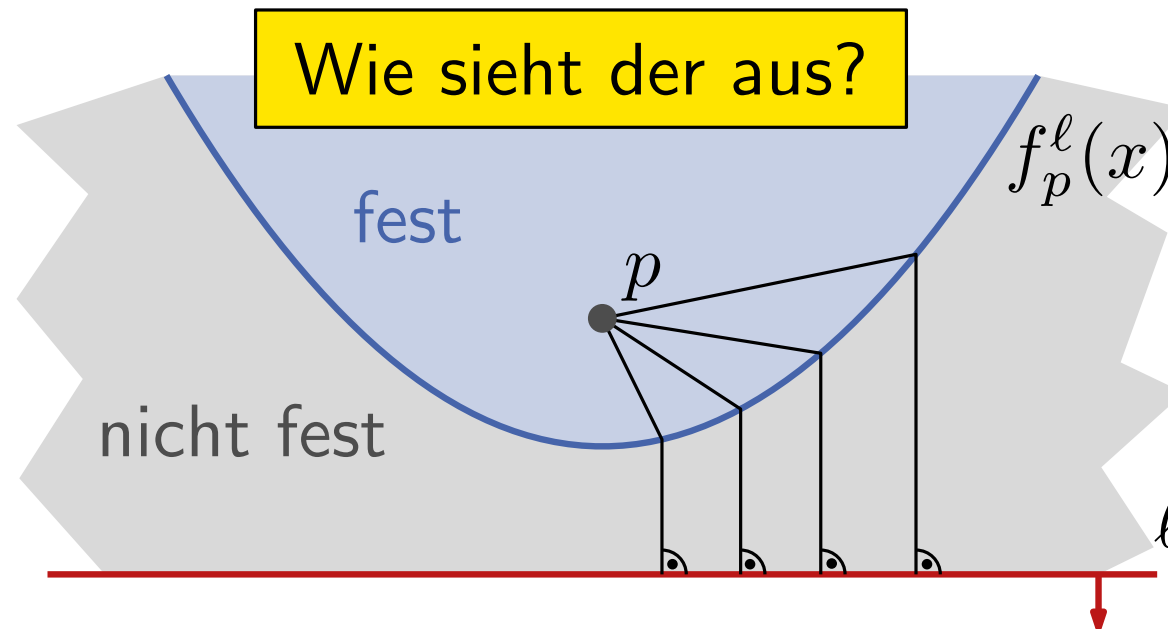
Betrachte stattdessen den Teil oberhalb  $\ell$ , der schon fest ist!



# In Richtung Sweep-Verfahren

Offensichtlich ist der Schnitt von  $\text{Vor}(P)$  und Sweep Line  $\ell$  zum aktuellen Zeitpunkt noch nicht bekannt.

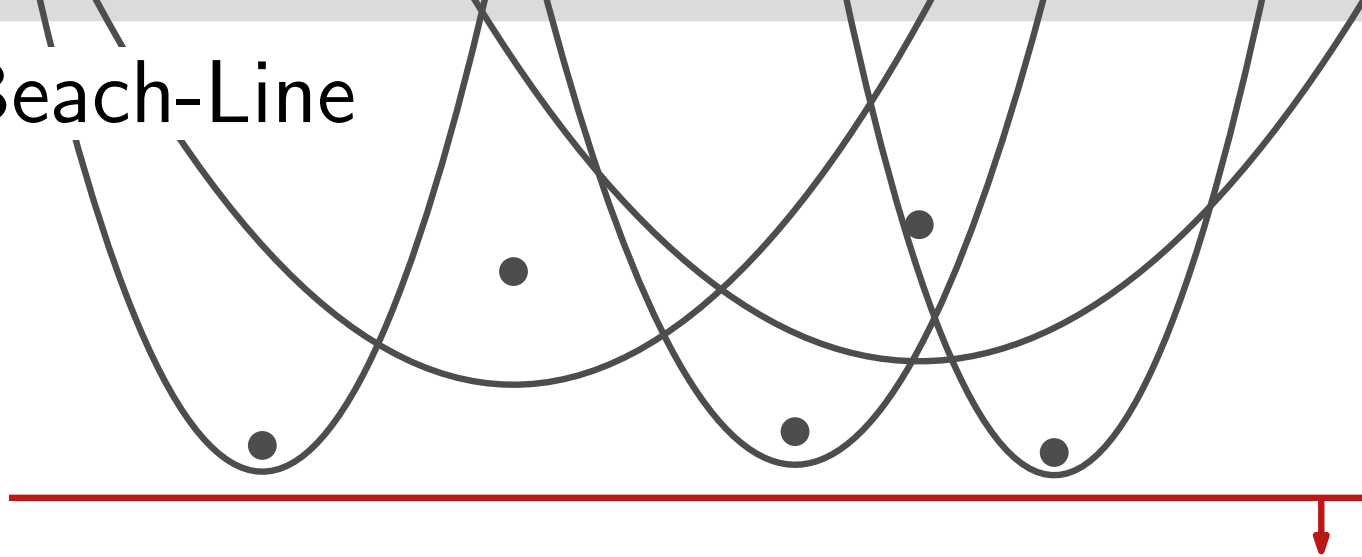
Betrachte stattdessen den Teil oberhalb  $\ell$ , der schon fest ist!



Lösen der Gleichung  $|pq| = |q\ell|$  liefert

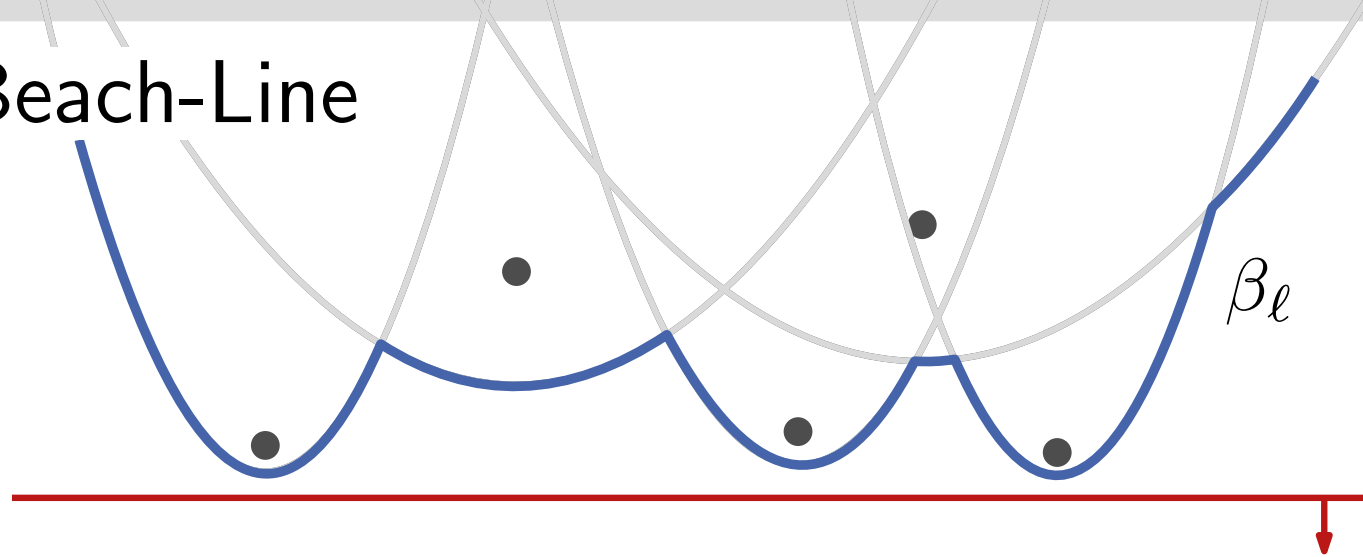
$$f_p^\ell(x) = \frac{1}{2(p_y - \ell_y)} (x - p_x)^2 + \frac{p_y + \ell_y}{2}$$

# Die Beach-Line



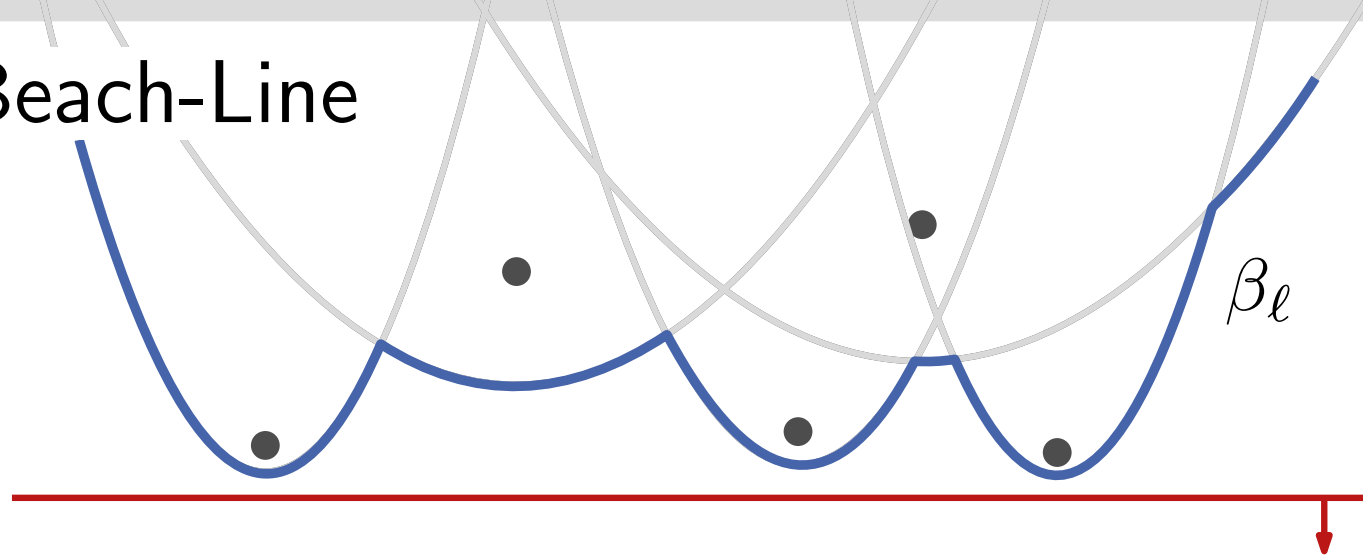
**Definition:** Die **Beach-Line**  $\beta_\ell$  ist die untere Kontur der Parabeln  $f_p^\ell$  für die bereits besuchten Punkte.

# Die Beach-Line



**Definition:** Die **Beach-Line**  $\beta_\ell$  ist die untere Kontur der Parabeln  $f_p^\ell$  für die bereits besuchten Punkte.

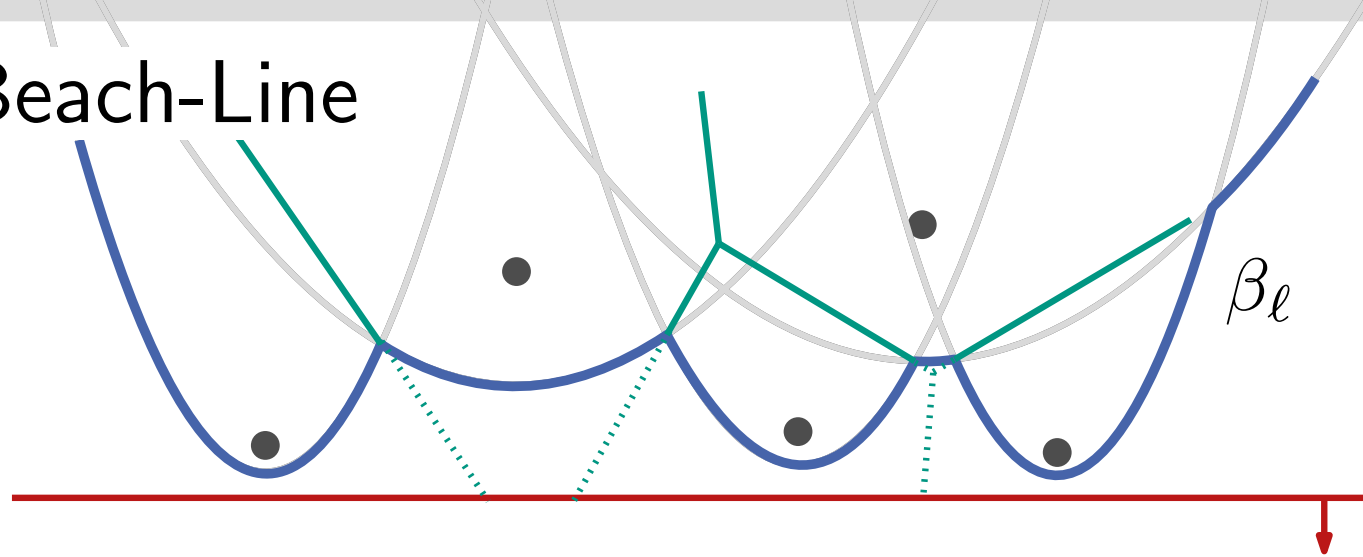
# Die Beach-Line



**Definition:** Die **Beach-Line**  $\beta_\ell$  ist die untere Kontur der Parabeln  $f_p^\ell$  für die bereits besuchten Punkte.

Was hat das mit  $\text{Vor}(P)$  zu tun?

# Die Beach-Line

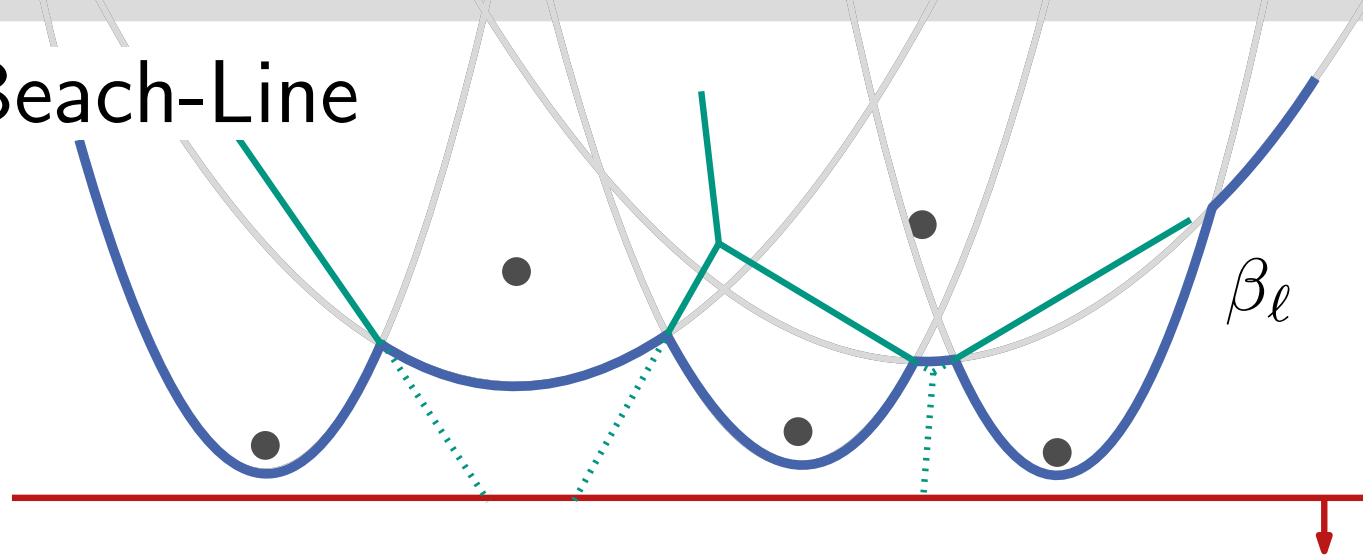


**Definition:** Die **Beach-Line**  $\beta_\ell$  ist die untere Kontur der Parabeln  $f_p^\ell$  für die bereits besuchten Punkte.

Was hat das mit  $\text{Vor}(P)$  zu tun?

- Beob.:**
- Beach-Line ist  $x$ -monoton
  - Schnittpunkte der Beach-Line liegen auf Voronoi-Kanten

# Die Beach-Line

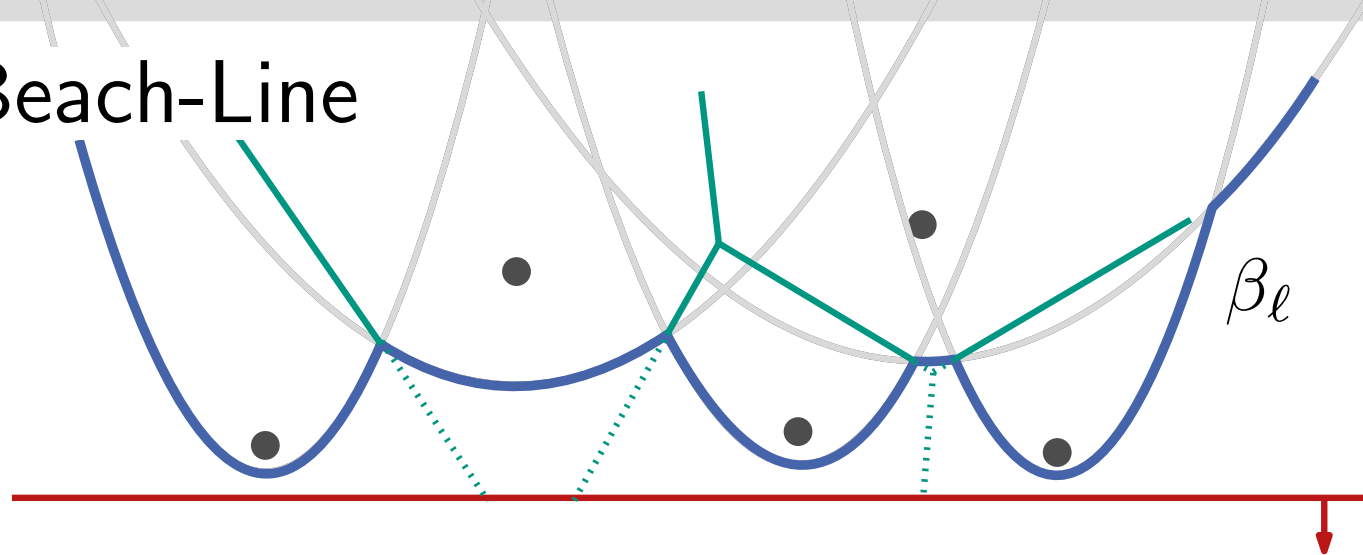


**Definition:** Die **Beach-Line**  $\beta_\ell$  ist die untere Kontur der Parabeln  $f_p^\ell$  für die bereits besuchten Punkte.

Was hat das mit  $\text{Vor}(P)$  zu tun?

- Beob.:**
- Beach-Line ist  $x$ -monoton
  - Schnittpunkte der Beach-Line liegen auf Voronoi-Kanten
- sogar:** Schnittpunkte laufen entlang  $\text{Vor}(P)$

# Die Beach-Line



**Definition:** Die **Beach-Line**  $\beta_\ell$  ist die untere Kontur der Parabeln  $f_p^\ell$  für die bereits besuchten Punkte.

Was hat das mit  $\text{Vor}(P)$  zu tun?

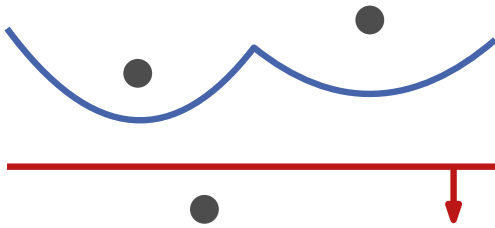
**Beob.:**

- Beach-Line ist  $x$ -monoton
- Schnittpunkte der Beach-Line liegen auf Voronoi-Kanten

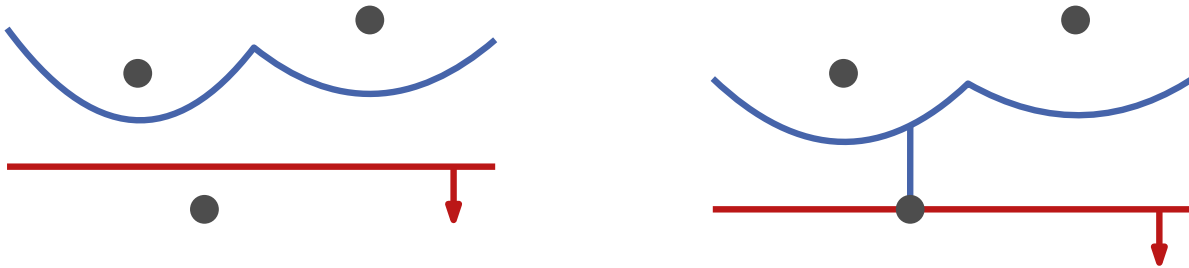
**sogar:** Schnittpunkte laufen entlang  $\text{Vor}(P)$

**Ziel:** speichere (implizit) aktuelle Kontur  $\beta_\ell$  statt  $\text{Vor}(P) \cap \ell$

# Punkt-Events

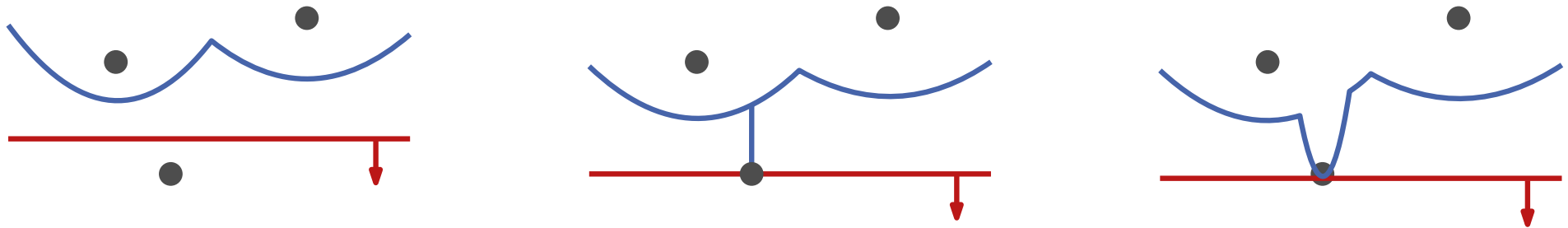


# Punkt-Events



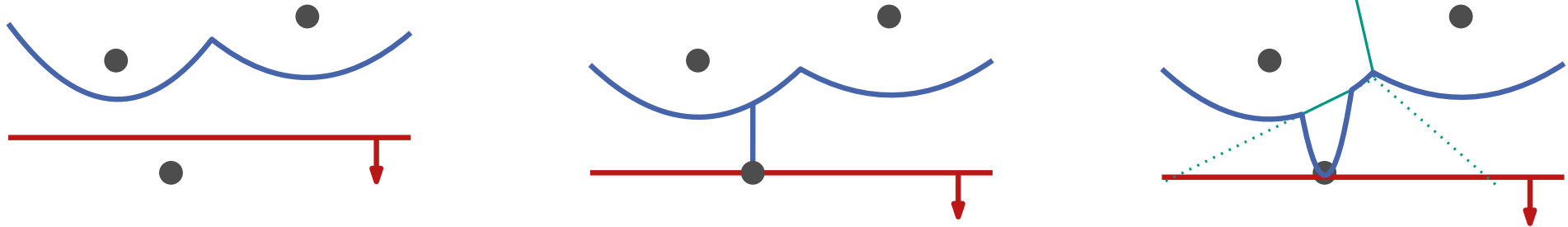
- trifft  $\ell$  auf einen Punkt, kommt neue Parabel zu  $\beta_\ell$  hinzu

# Punkt-Events



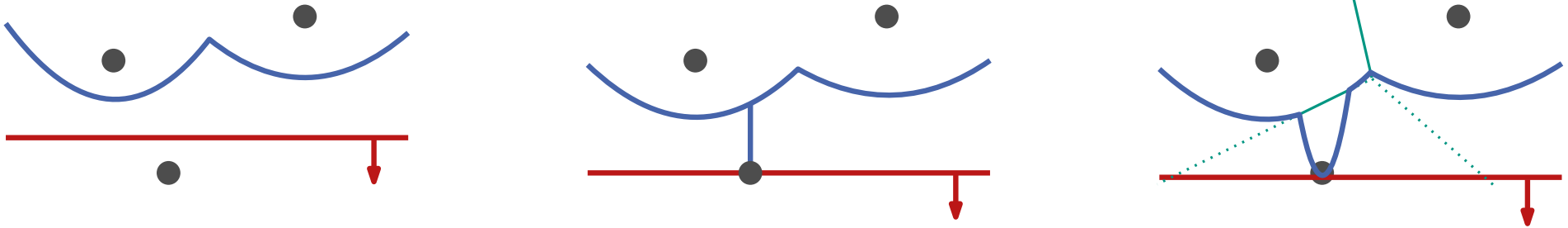
- trifft  $\ell$  auf einen Punkt, kommt neue Parabel zu  $\beta_\ell$  hinzu

# Punkt-Events



- trifft  $\ell$  auf einen Punkt, kommt neue Parabel zu  $\beta_\ell$  hinzu
- die beiden Schnittpunkte erzeugen neue Teilkante

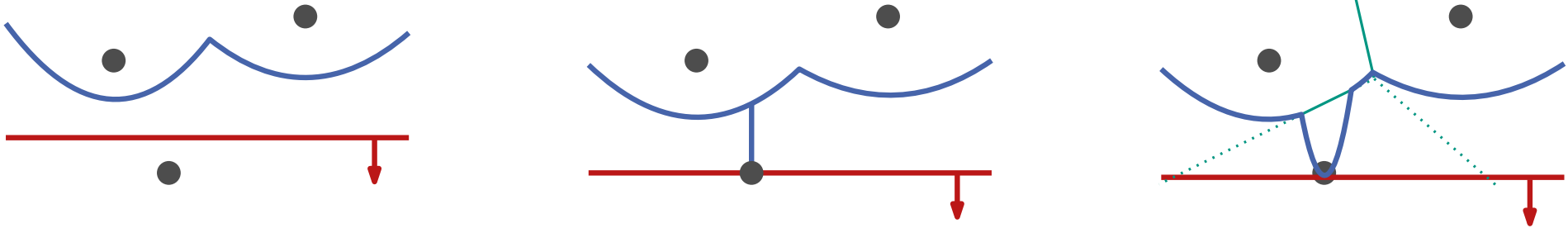
# Punkt-Events



- trifft  $\ell$  auf einen Punkt, kommt neue Parabel zu  $\beta_\ell$  hinzu
- die beiden Schnittpunkte erzeugen neue Teilkante

**Lemma 1:** Neue Bögen auf  $\beta$  entstehen nur durch Punkt-Events.

# Punkt-Events

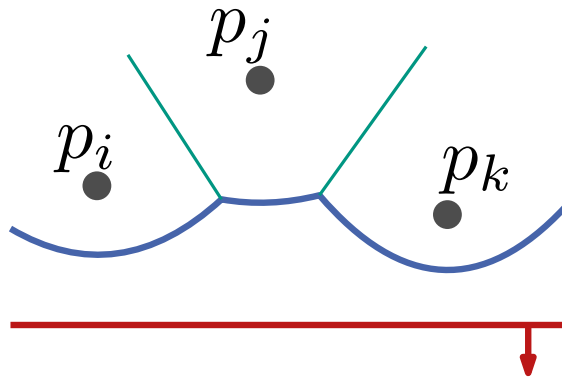


- trifft  $\ell$  auf einen Punkt, kommt neue Parabel zu  $\beta_\ell$  hinzu
- die beiden Schnittpunkte erzeugen neue Teilkante

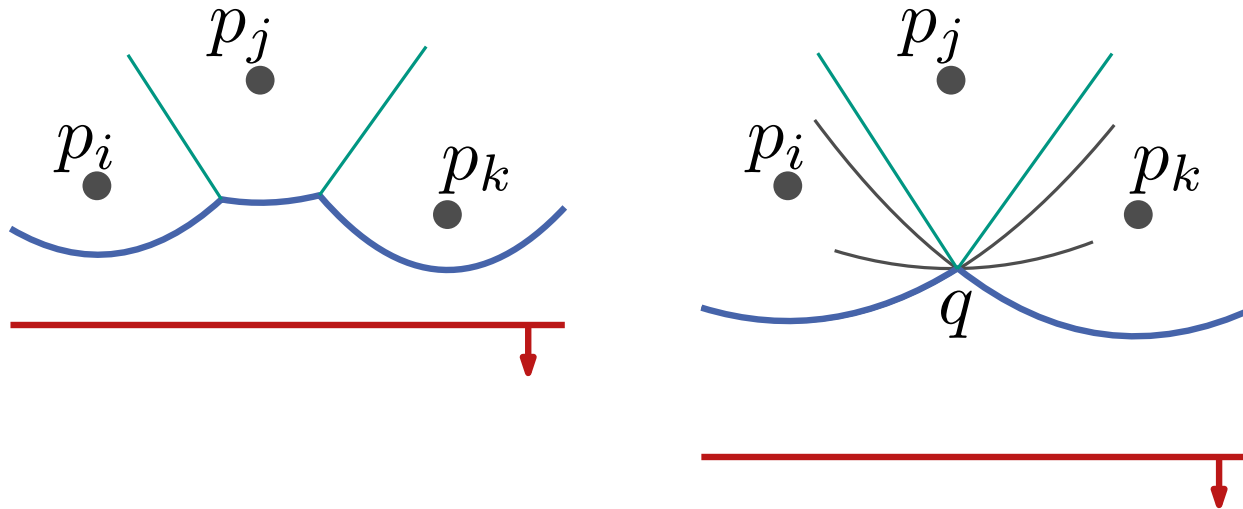
**Lemma 1:** Neue Bögen auf  $\beta$  entstehen nur durch Punkt-Events.

**Korollar:**  $\beta$  besteht aus maximal  $2n - 1$  Parabelbögen

# Kreis-Events

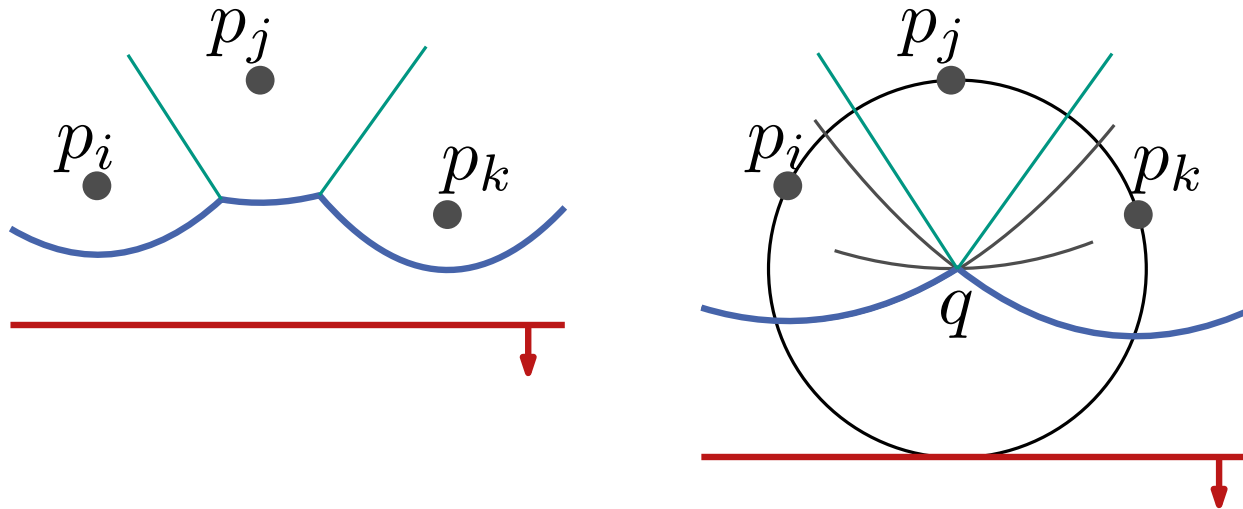


# Kreis-Events



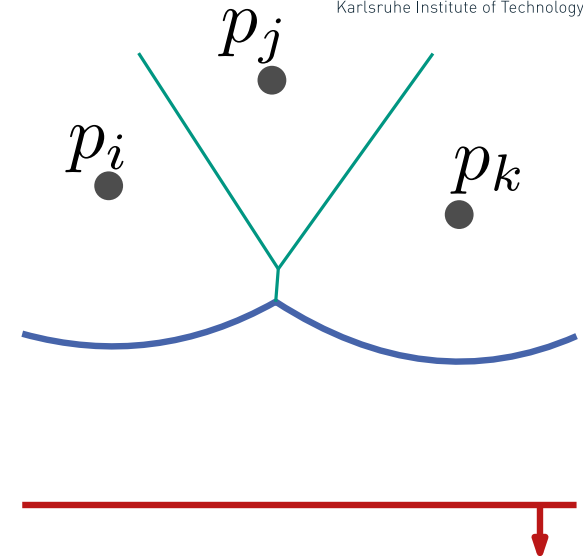
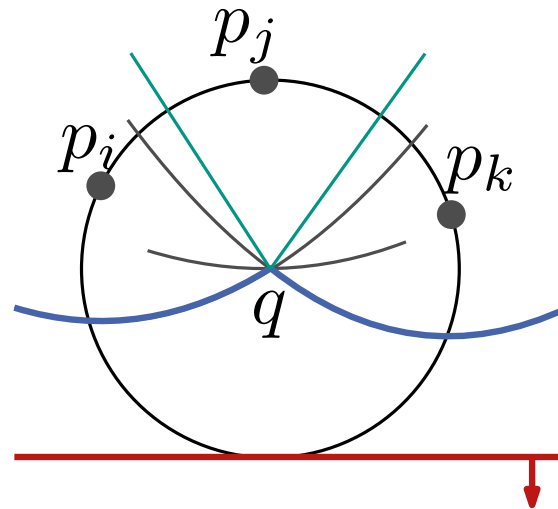
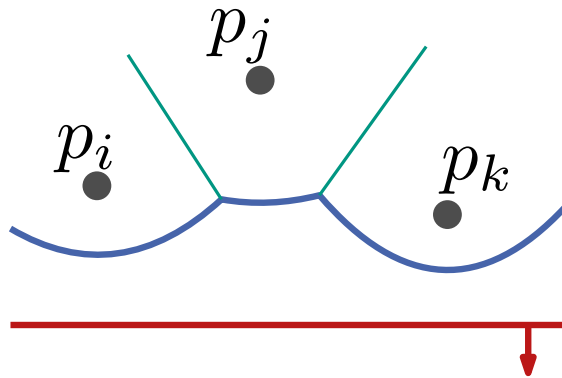
- verschwindet ein Bogen so laufen  $f_{p_i}^l$ ,  $f_{p_j}^l$ ,  $f_{p_k}^l$  durch einen gemeinsamen Punkt  $q$

# Kreis-Events



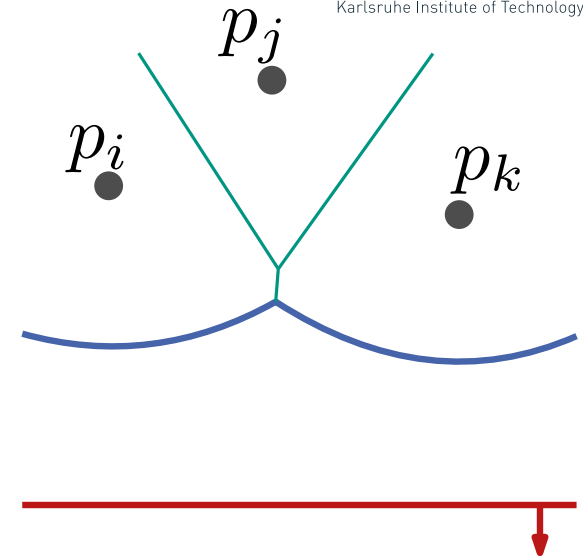
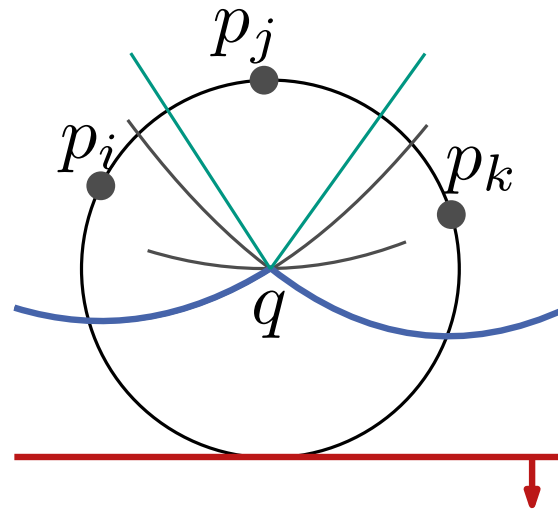
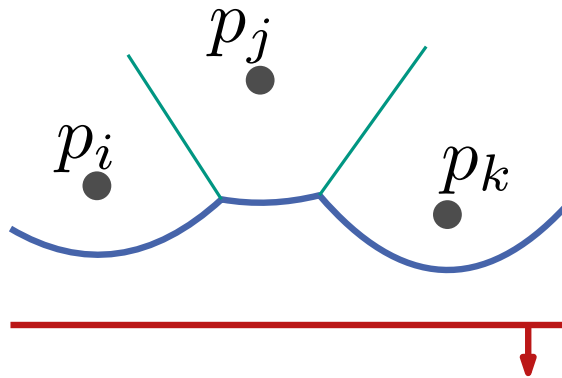
- verschwindet ein Bogen so laufen  $f_{p_i}^l, f_{p_j}^l, f_{p_k}^l$  durch einen gemeinsamen Punkt  $q$
- Kreis  $C_P(q)$  geht durch  $p_i, p_j, p_k$  und berührt  $l$   
 $\Rightarrow q$  ist Voronoi-Knoten

# Kreis-Events



- verschwindet ein Bogen so laufen  $f_{p_i}^l, f_{p_j}^l, f_{p_k}^l$  durch einen gemeinsamen Punkt  $q$
- Kreis  $C_P(q)$  geht durch  $p_i, p_j, p_k$  und berührt  $\ell$   
 $\Rightarrow q$  ist Voronoi-Knoten

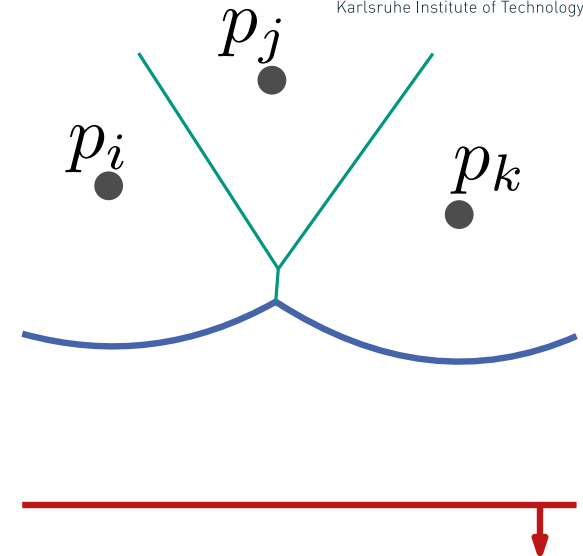
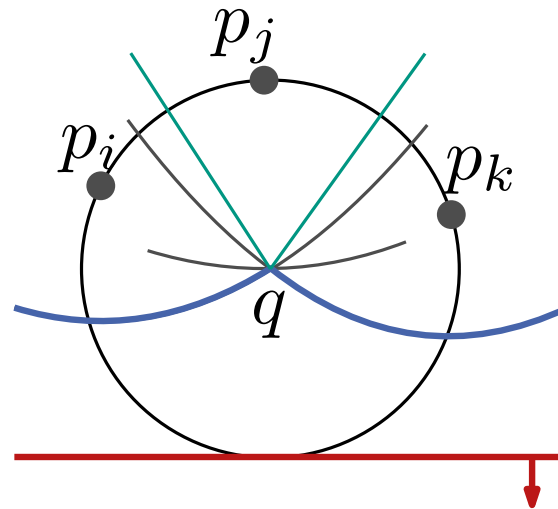
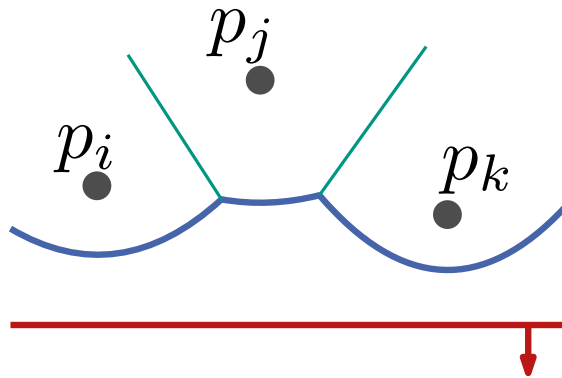
# Kreis-Events



- verschwindet ein Bogen so laufen  $f_{p_i}^\ell, f_{p_j}^\ell, f_{p_k}^\ell$  durch einen gemeinsamen Punkt  $q$
- Kreis  $C_P(q)$  geht durch  $p_i, p_j, p_k$  und berührt  $\ell$   
 $\Rightarrow q$  ist Voronoi-Knoten

**Def.:** Der unterste Punkt des Kreises durch drei Punkte mit konsekutiven Bögen auf  $\beta$  definiert ein **Kreis-Event**.

# Kreis-Events

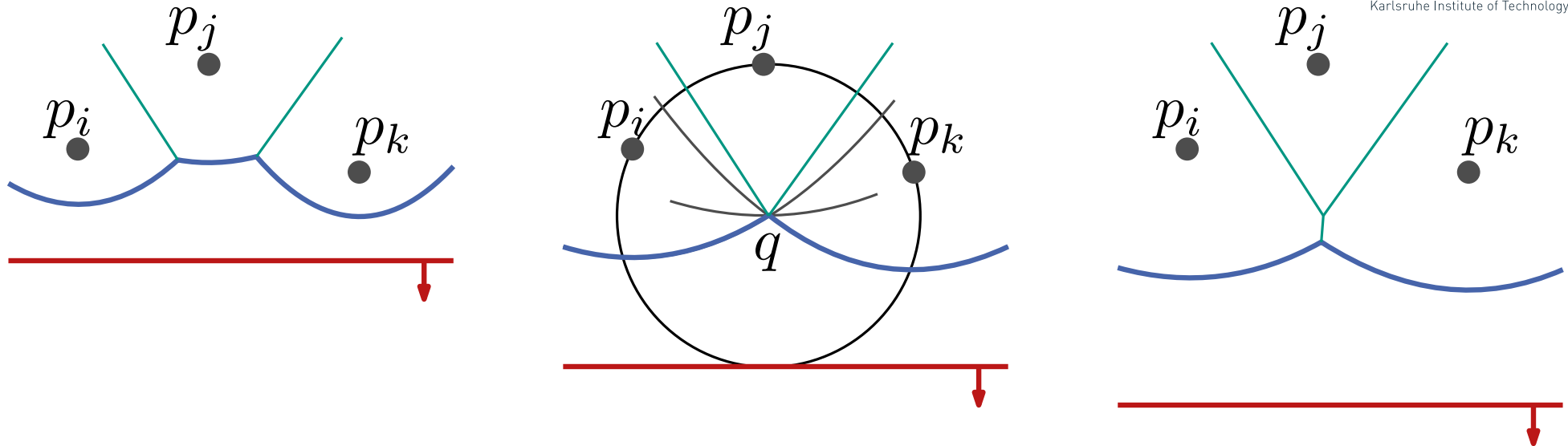


- verschwindet ein Bogen so laufen  $f_{p_i}^\ell, f_{p_j}^\ell, f_{p_k}^\ell$  durch einen gemeinsamen Punkt  $q$
- Kreis  $C_P(q)$  geht durch  $p_i, p_j, p_k$  und berührt  $\ell$   
 $\Rightarrow q$  ist Voronoi-Knoten

**Def.:** Der unterste Punkt des Kreises durch drei Punkte mit konsekutiven Bögen auf  $\beta$  definiert ein **Kreis-Event**.

**Lemma 2:** Bögen von  $\beta$  werden nur durch Kreis-Events entfernt.

# Kreis-Events



- verschwindet ein Bogen so laufen  $f_{p_i}^\ell, f_{p_j}^\ell, f_{p_k}^\ell$  durch einen gemeinsamen Punkt  $q$
- Kreis  $C_P(q)$  geht durch  $p_i, p_j, p_k$  und berührt  $\ell$   
 $\Rightarrow q$  ist Voronoi-Knoten

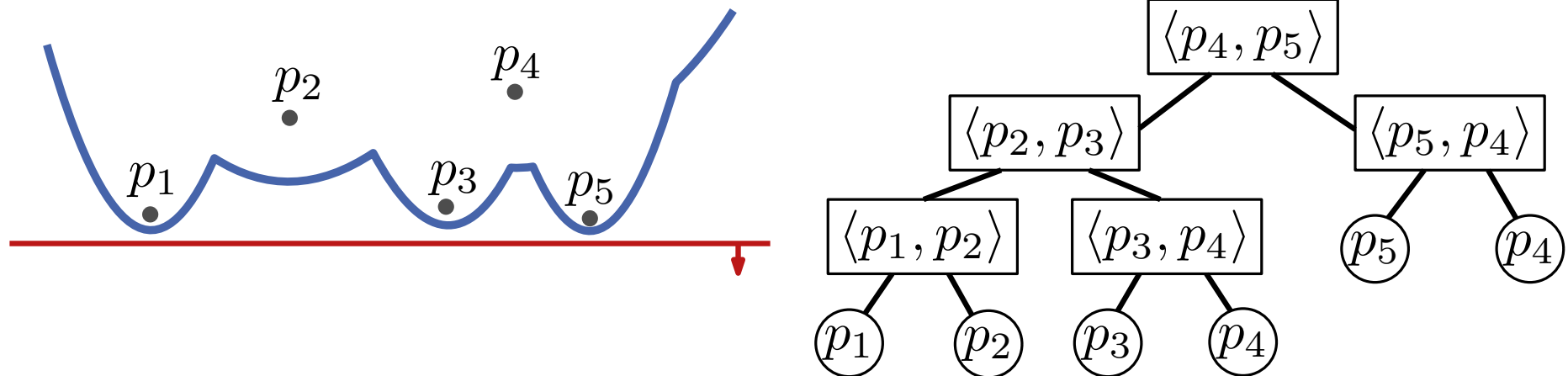
**Def.:** Der unterste Punkt des Kreises durch drei Punkte mit konsekutiven Bögen auf  $\beta$  definiert ein **Kreis-Event**.

**Lemma 2:** Bögen von  $\beta$  werden nur durch Kreis-Events entfernt.

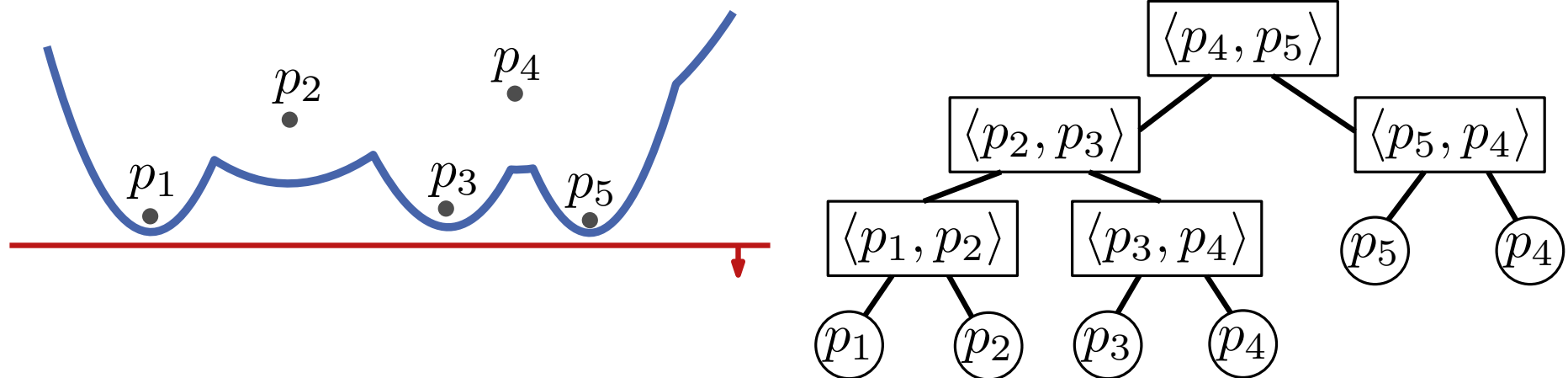
**Lemma 3:** Für jeden Voronoi-Knoten gibt es ein Kreis-Event.

- doppelt-verkettete Kantenliste (DCEL)  $\mathcal{D}$  für  $\text{Vor}(P)$   
**Achtung:** am Schluss bounding box wg. Halbgeraden einfügen

- doppelt-verkettete Kantenliste (DCEL)  $\mathcal{D}$  für  $\text{Vor}(P)$   
**Achtung:** am Schluss bounding box wg. Halbgeraden einfügen
- balancierter binärer Suchbaum  $\mathcal{T}$  für implizite Beach-Line
  - Blätter entsprechen Parabelbögen von links nach rechts
  - innerer Knoten  $\langle p_i, p_j \rangle$  entspricht Schnittpunkt von  $f_{p_i}$  und  $f_{p_j}$
  - Pointer von inneren Knoten auf zugeh. Kanten in  $\mathcal{D}$



- doppelt-verkettete Kantenliste (DCEL)  $\mathcal{D}$  für  $\text{Vor}(P)$   
**Achtung:** am Schluss bounding box wg. Halbgeraden einfügen
- balancierter binärer Suchbaum  $\mathcal{T}$  für implizite Beach-Line
  - Blätter entsprechen Parabelbögen von links nach rechts
  - innerer Knoten  $\langle p_i, p_j \rangle$  entspricht Schnittpunkt von  $f_{p_i}$  und  $f_{p_j}$
  - Pointer von inneren Knoten auf zugeh. Kanten in  $\mathcal{D}$



- Priority Queue  $\mathcal{Q}$  für die Punkt- und Kreis-Events
  - Pointer von Kreis-Events auf zugeh. Blätter in  $\mathcal{T}$  und umgekehrt

# Fortune's Sweep Algorithmus

VoronoiDiagram( $P \subset \mathbb{R}^2$ )

$Q \leftarrow$  new PriorityQueue( $P$ ) // Punkt-Events sortiert nach  $y$

$\mathcal{T} \leftarrow$  new BalancedBinarySearchTree() // sweep status ( $\beta$ )

$\mathcal{D} \leftarrow$  new DCEL() // DS für Vor( $P$ )

**while not**  $Q.empty()$  **do**

$p \leftarrow Q.ExtractMax()$

**if**  $p$  Punkt-Event **then**

        | HandlePointEvent( $p$ )

**else**

        |  $\alpha \leftarrow$  Bogen von  $\beta$ , der entfernt werden soll

        | HandleCircleEvent( $\alpha$ )

    behandle innere Restknoten von  $\mathcal{T}$  (Halbgeraden von Vor( $P$ ))

**return**  $\mathcal{D}$

# Fortune's Sweep Algorithmus

VoronoiDiagram( $P \subset \mathbb{R}^2$ )

$Q \leftarrow$  new PriorityQueue( $P$ ) // Punkt-Events sortiert nach  $y$

$\mathcal{T} \leftarrow$  new BalancedBinarySearchTree() // sweep status ( $\beta$ )

$\mathcal{D} \leftarrow$  new DCEL() // DS für Vor( $P$ )

**while not**  $Q.empty()$  **do**

$p \leftarrow Q.ExtractMax()$

**if**  $p$  Punkt-Event **then**

        | **HandlePointEvent**( $p$ )

**else**

        |  $\alpha \leftarrow$  Bogen von  $\beta$ , der entfernt werden soll

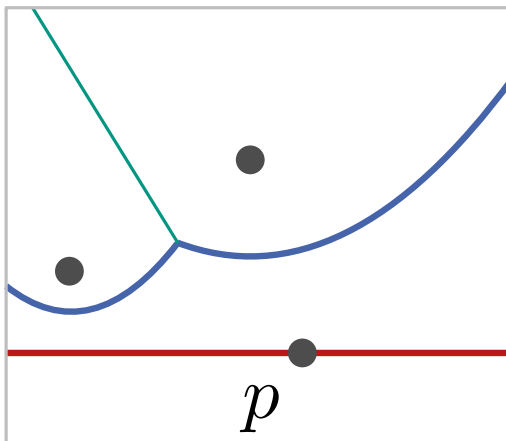
        | **HandleCircleEvent**( $\alpha$ )

    behandle innere Restknoten von  $\mathcal{T}$  (Halbgeraden von Vor( $P$ ))

**return**  $\mathcal{D}$

# Punkt-Events behandeln

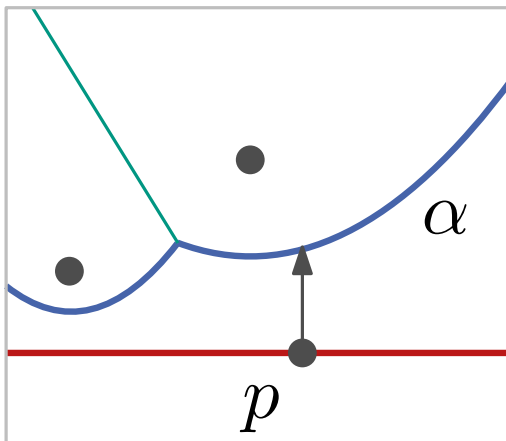
HandlePointEvent(Punkt  $p$ )



# Punkt-Events behandeln

## HandlePointEvent(Punkt $p$ )

- Suche in  $\mathcal{T}$  den Bogen  $\alpha$  vertikal über  $p$ .  
Hat  $\alpha$  pointer auf Kreis-Event in  $\mathcal{Q}$ , lösche es aus  $\mathcal{Q}$ .

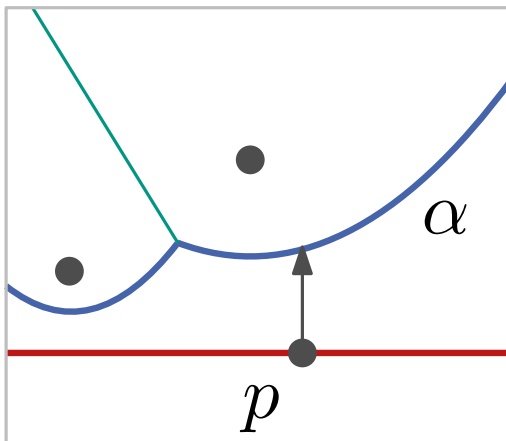


# Punkt-Events behandeln

Wie?

HandlePointEvent(Punkt  $p$ )

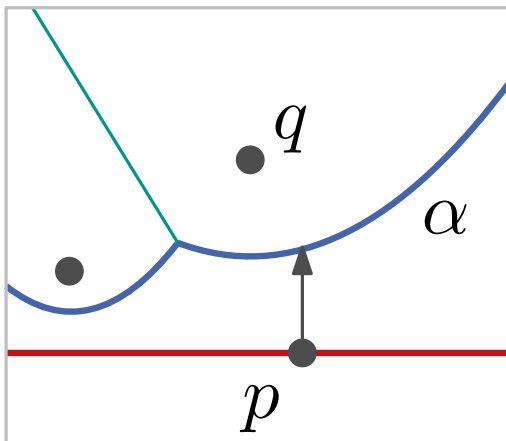
- Suche in  $\mathcal{T}$  den Bogen  $\alpha$  vertikal über  $p$ .  
Hat  $\alpha$  pointer auf Kreis-Event in  $\mathcal{Q}$ , lösche es aus  $\mathcal{Q}$ .



# Punkt-Events behandeln

## HandlePointEvent(Punkt $p$ )

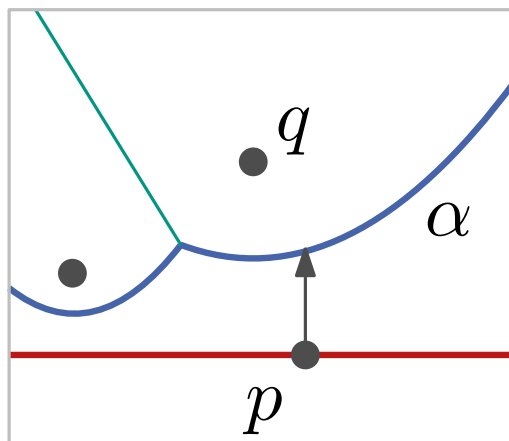
- Suche in  $\mathcal{T}$  den Bogen  $\alpha$  vertikal über  $p$ .  
Hat  $\alpha$  pointer auf Kreis-Event in  $\mathcal{Q}$ , lösche es aus  $\mathcal{Q}$ .
- Teile  $\alpha$  in  $\alpha_0$  und  $\alpha_2$ .  
Sei  $\alpha_1$  neuer Bogen für  $p$ .



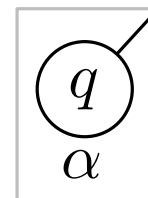
# Punkt-Events behandeln

## HandlePointEvent(Punkt $p$ )

- Suche in  $\mathcal{T}$  den Bogen  $\alpha$  vertikal über  $p$ .  
Hat  $\alpha$  pointer auf Kreis-Event in  $\mathcal{Q}$ , lösche es aus  $\mathcal{Q}$ .
- Teile  $\alpha$  in  $\alpha_0$  und  $\alpha_2$ .  
Sei  $\alpha_1$  neuer Bogen für  $p$ .



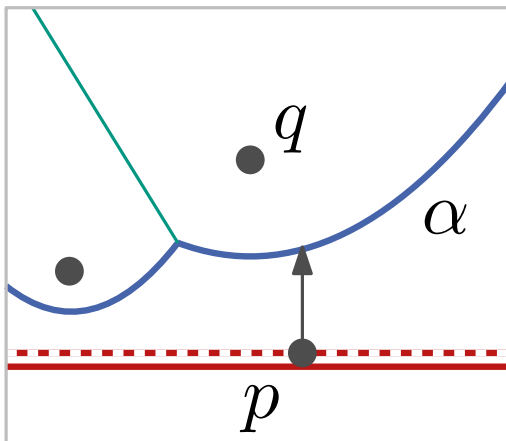
In  $\mathcal{T}$ :



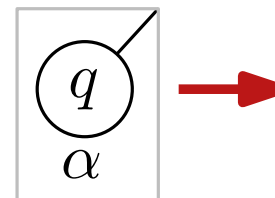
# Punkt-Events behandeln

## HandlePointEvent(Punkt $p$ )

- Suche in  $\mathcal{T}$  den Bogen  $\alpha$  vertikal über  $p$ .  
Hat  $\alpha$  pointer auf Kreis-Event in  $\mathcal{Q}$ , lösche es aus  $\mathcal{Q}$ .
- Teile  $\alpha$  in  $\alpha_0$  und  $\alpha_2$ .  
Sei  $\alpha_1$  neuer Bogen für  $p$ .



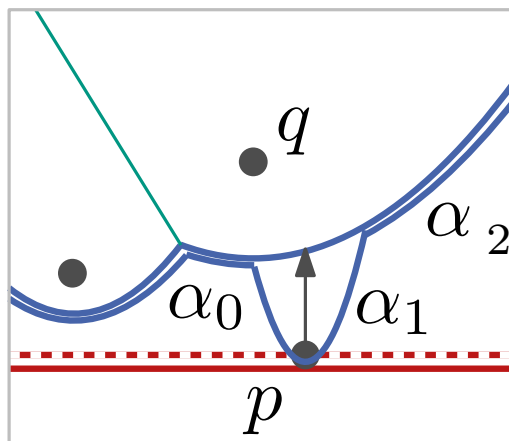
In  $\mathcal{T}$ :



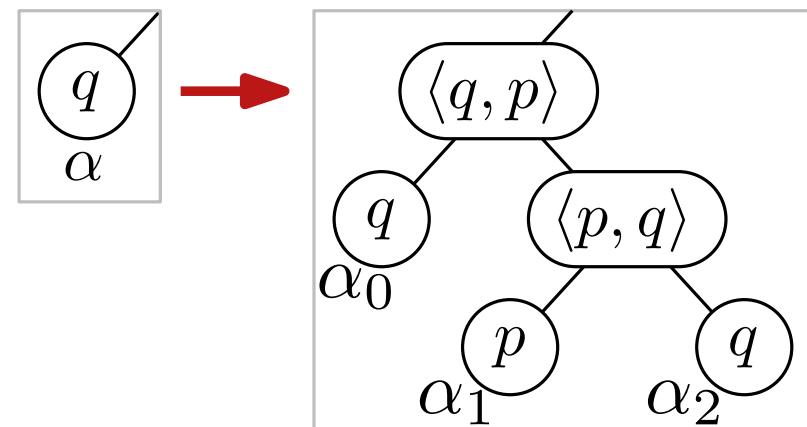
# Punkt-Events behandeln

## HandlePointEvent(Punkt $p$ )

- Suche in  $\mathcal{T}$  den Bogen  $\alpha$  vertikal über  $p$ .  
Hat  $\alpha$  pointer auf Kreis-Event in  $\mathcal{Q}$ , lösche es aus  $\mathcal{Q}$ .
- Teile  $\alpha$  in  $\alpha_0$  und  $\alpha_2$ .  
Sei  $\alpha_1$  neuer Bogen für  $p$ .



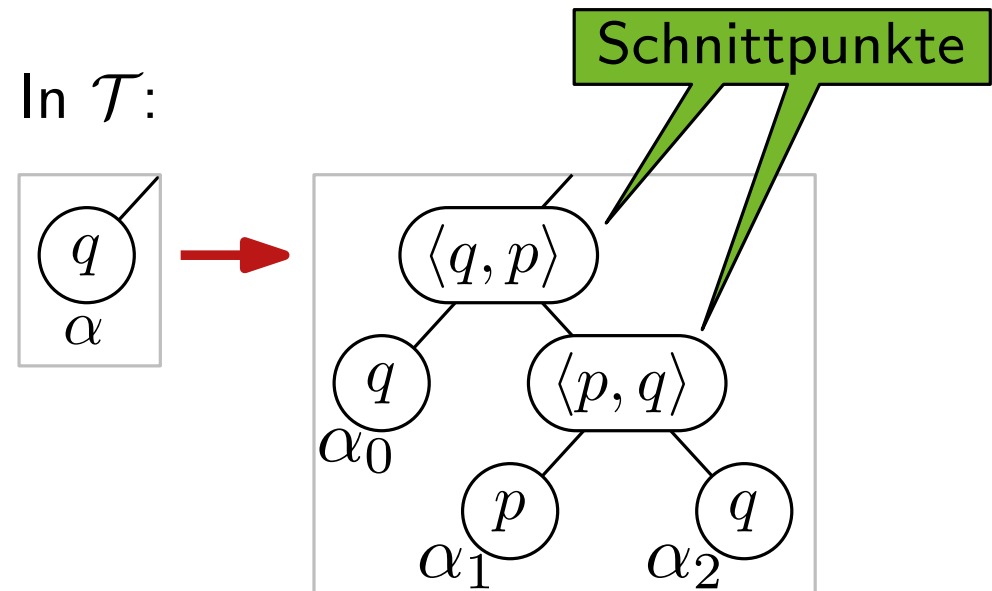
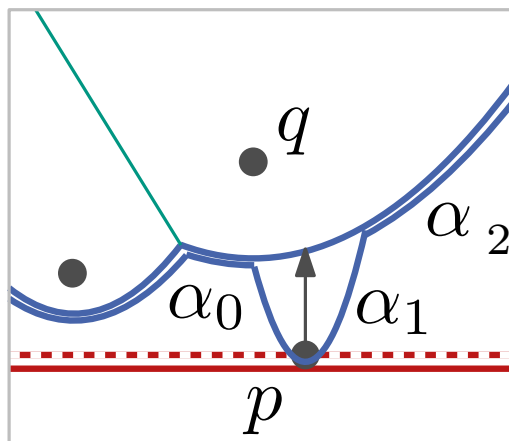
In  $\mathcal{T}$ :



# Punkt-Events behandeln

## HandlePointEvent(Punkt $p$ )

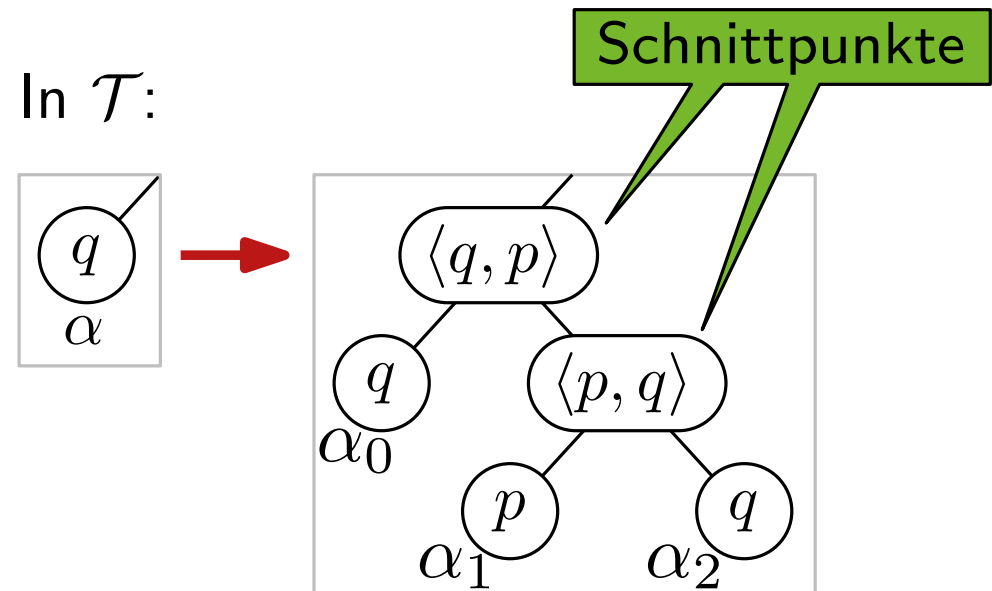
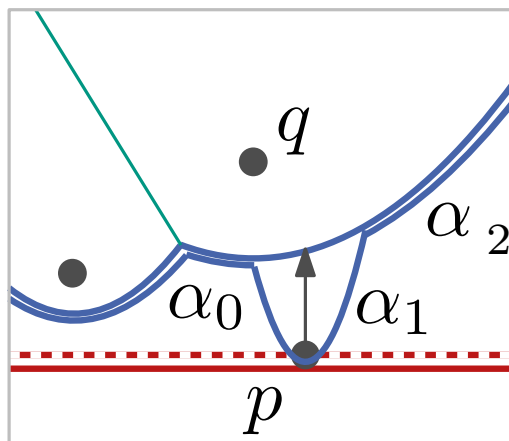
- Suche in  $\mathcal{T}$  den Bogen  $\alpha$  vertikal über  $p$ .  
Hat  $\alpha$  pointer auf Kreis-Event in  $\mathcal{Q}$ , lösche es aus  $\mathcal{Q}$ .
- Teile  $\alpha$  in  $\alpha_0$  und  $\alpha_2$ .  
Sei  $\alpha_1$  neuer Bogen für  $p$ .



# Punkt-Events behandeln

## HandlePointEvent(Punkt $p$ )

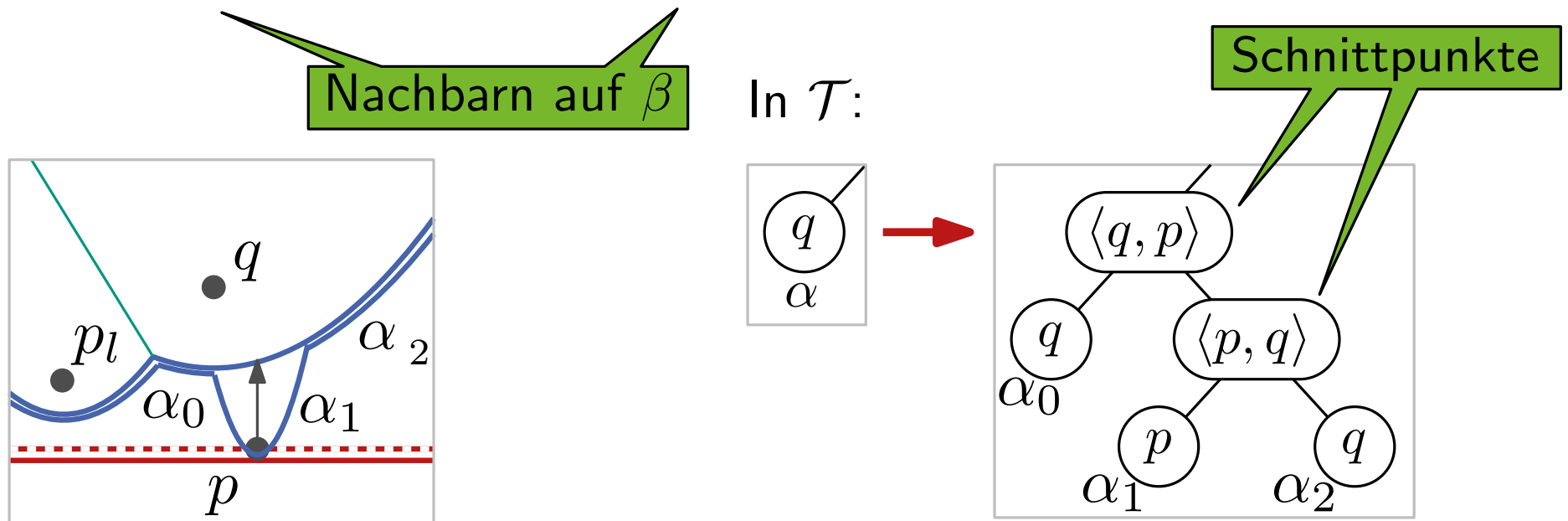
- Suche in  $\mathcal{T}$  den Bogen  $\alpha$  vertikal über  $p$ .  
Hat  $\alpha$  pointer auf Kreis-Event in  $\mathcal{Q}$ , lösche es aus  $\mathcal{Q}$ .
- Teile  $\alpha$  in  $\alpha_0$  und  $\alpha_2$ .  
Sei  $\alpha_1$  neuer Bogen für  $p$ .
- Füge Kanten  $\langle q, p \rangle$  und  $\langle p, q \rangle$  in  $\mathcal{D}$  ein.



# Punkt-Events behandeln

## HandlePointEvent(Punkt $p$ )

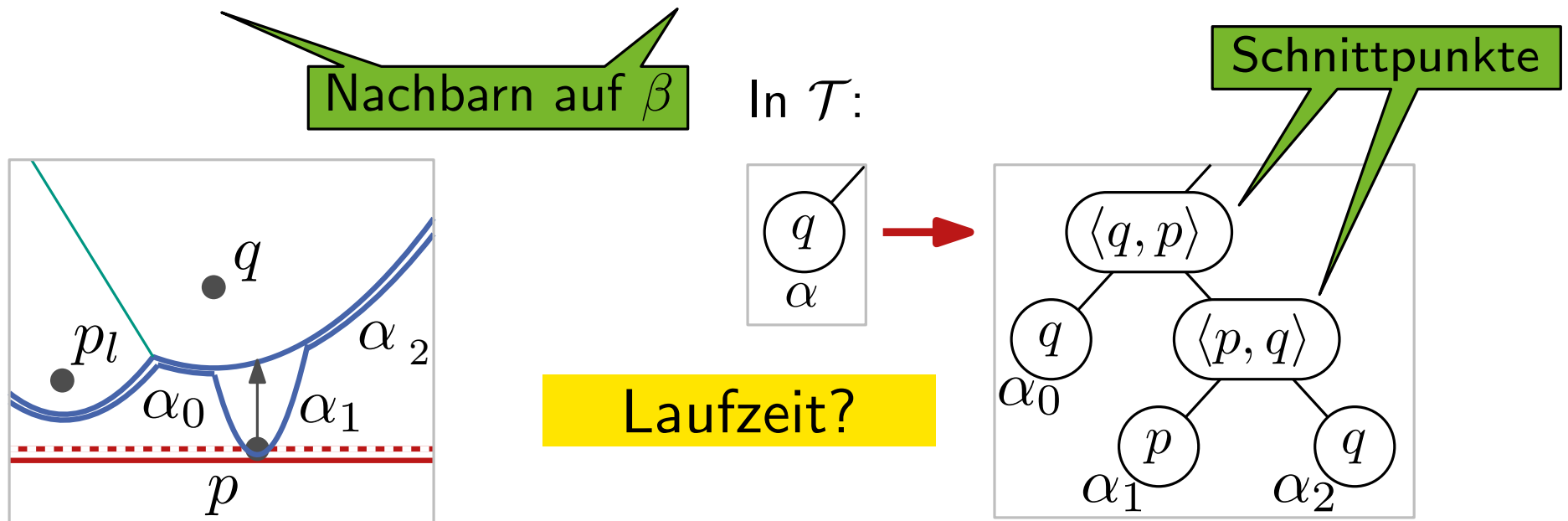
- Suche in  $\mathcal{T}$  den Bogen  $\alpha$  vertikal über  $p$ .  
Hat  $\alpha$  pointer auf Kreis-Event in  $\mathcal{Q}$ , lösche es aus  $\mathcal{Q}$ .
- Teile  $\alpha$  in  $\alpha_0$  und  $\alpha_2$ .  
Sei  $\alpha_1$  neuer Bogen für  $p$ .
- Füge Kanten  $\langle q, p \rangle$  und  $\langle p, q \rangle$  in  $\mathcal{D}$  ein.
- Prüfe  $\langle p_l, q, p \rangle$  und  $\langle q, p, p_r \rangle$  auf Kreis-Events.



# Punkt-Events behandeln

## HandlePointEvent(Punkt $p$ )

- Suche in  $\mathcal{T}$  den Bogen  $\alpha$  vertikal über  $p$ .  
Hat  $\alpha$  pointer auf Kreis-Event in  $\mathcal{Q}$ , lösche es aus  $\mathcal{Q}$ .
- Teile  $\alpha$  in  $\alpha_0$  und  $\alpha_2$ .  
Sei  $\alpha_1$  neuer Bogen für  $p$ .
- Füge Kanten  $\langle q, p \rangle$  und  $\langle p, q \rangle$  in  $\mathcal{D}$  ein.
- Prüfe  $\langle p_l, q, p \rangle$  und  $\langle q, p, p_r \rangle$  auf Kreis-Events.

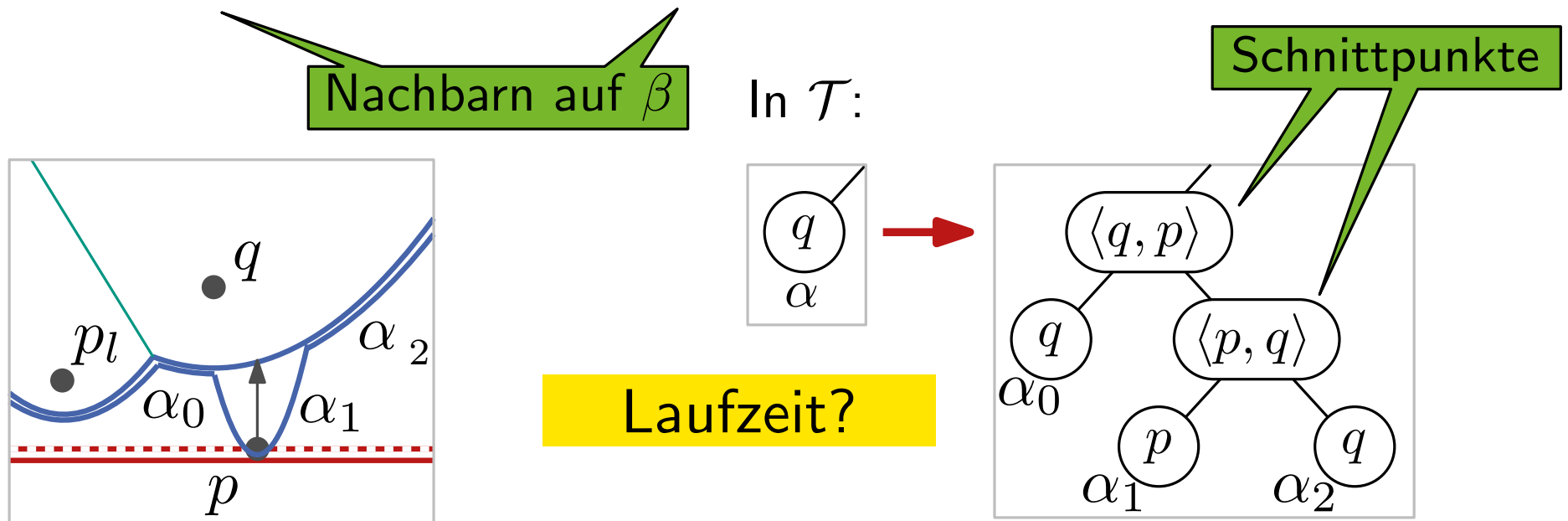


# Punkt-Events behandeln

## HandlePointEvent(Punkt $p$ )

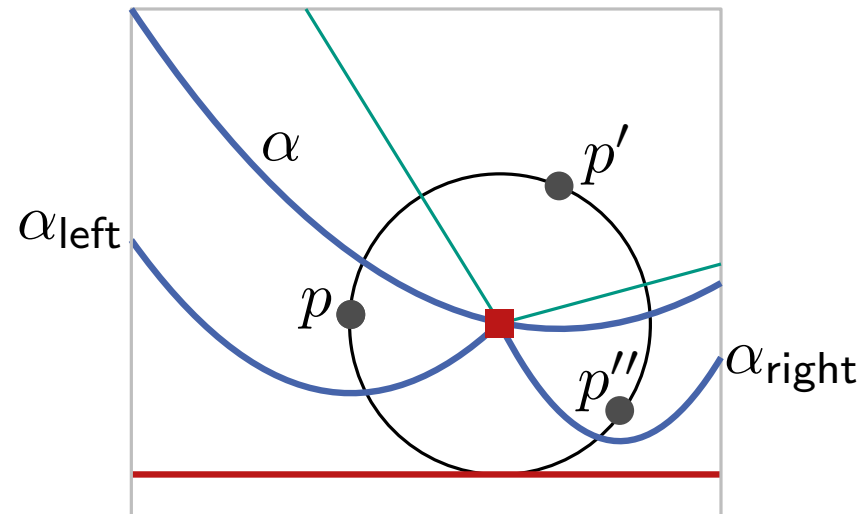
$O(\log n)$

- Suche in  $\mathcal{T}$  den Bogen  $\alpha$  vertikal über  $p$ .  
Hat  $\alpha$  pointer auf Kreis-Event in  $\mathcal{Q}$ , lösche es aus  $\mathcal{Q}$ .
- Teile  $\alpha$  in  $\alpha_0$  und  $\alpha_2$ .  
Sei  $\alpha_1$  neuer Bogen für  $p$ .
- Füge Kanten  $\langle q, p \rangle$  und  $\langle p, q \rangle$  in  $\mathcal{D}$  ein.
- Prüfe  $\langle p_l, q, p \rangle$  und  $\langle q, p, p_r \rangle$  auf Kreis-Events.



# Kreis-Events behandeln

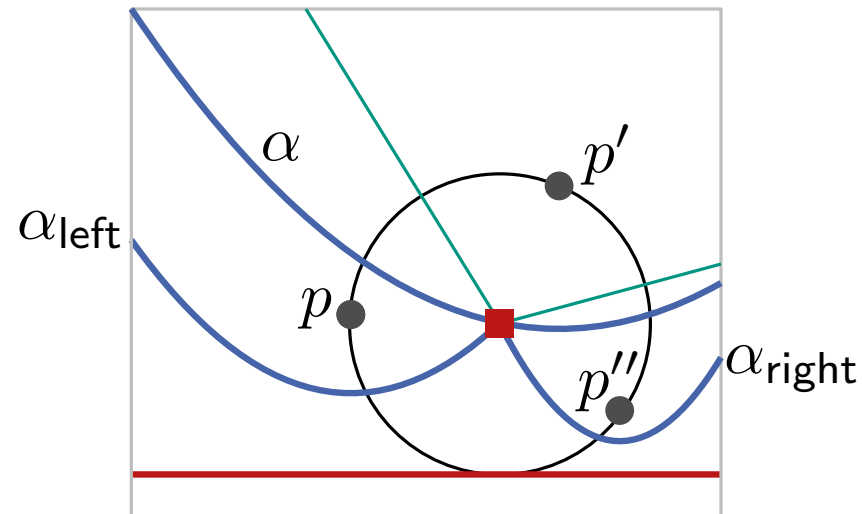
## HandleCircleEvent(Bogen $\alpha$ )



# Kreis-Events behandeln

## HandleCircleEvent(Bogen $\alpha$ )

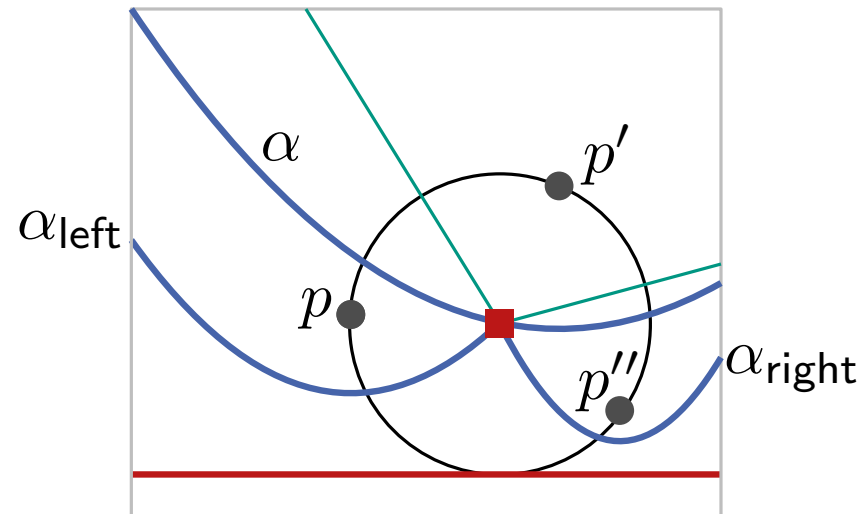
- $\mathcal{T}.delete(\alpha)$ ; Schnittpunkte in  $\mathcal{T}$  updaten



# Kreis-Events behandeln

## HandleCircleEvent(Bogen $\alpha$ )

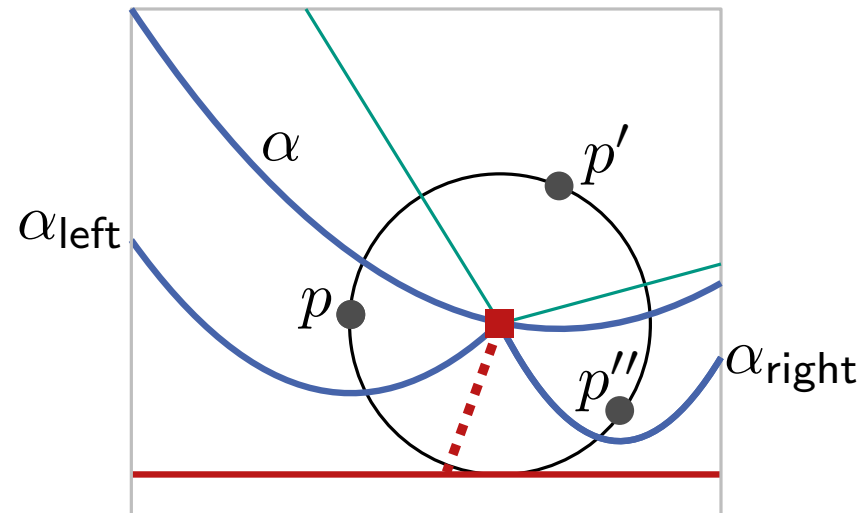
- $\mathcal{T}.delete(\alpha)$ ; Schnittpunkte in  $\mathcal{T}$  updaten
- Entferne alle Kreis-Events zu  $\alpha$  aus  $\mathcal{Q}$ .



# Kreis-Events behandeln

## HandleCircleEvent(Bogen $\alpha$ )

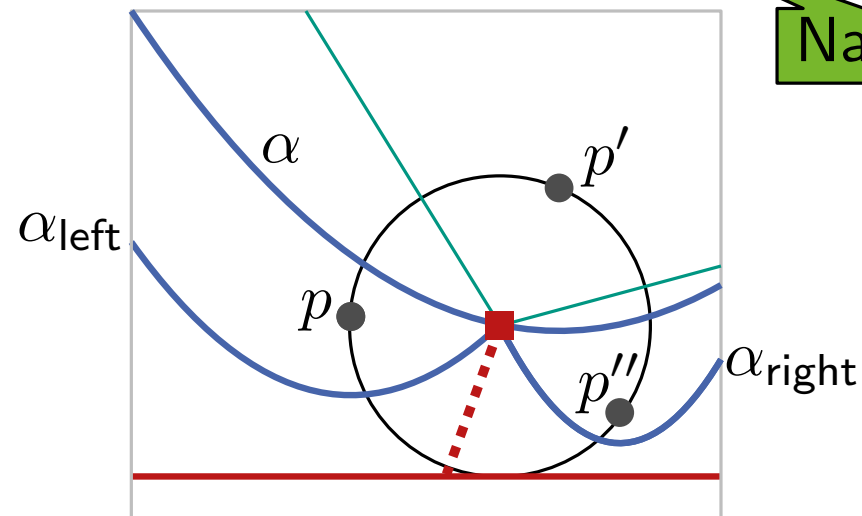
- $\mathcal{T}.\text{delete}(\alpha)$ ; Schnittpunkte in  $\mathcal{T}$  updaten
- Entferne alle Kreis-Events zu  $\alpha$  aus  $\mathcal{Q}$ .
- Füge Knoten  $\mathcal{V}(\{p, p', p''\})$  und Kanten  $\langle p, p'' \rangle, \langle p'', p \rangle$  in  $\mathcal{D}$  ein.



# Kreis-Events behandeln

## HandleCircleEvent(Bogen $\alpha$ )

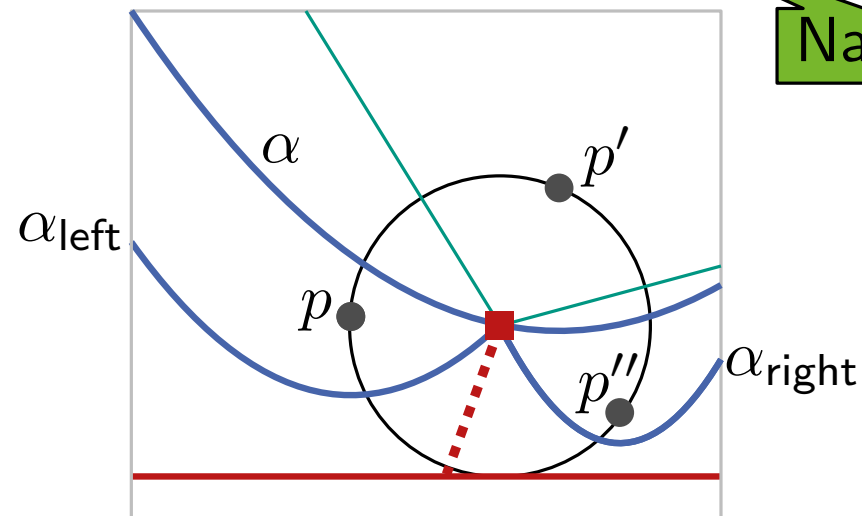
- $\mathcal{T}.\text{delete}(\alpha)$ ; Schnittpunkte in  $\mathcal{T}$  updaten
- Entferne alle Kreis-Events zu  $\alpha$  aus  $\mathcal{Q}$ .
- Füge Knoten  $\mathcal{V}(\{p, p', p''\})$  und Kanten  $\langle p, p'' \rangle, \langle p'', p \rangle$  in  $\mathcal{D}$  ein.
- Füge potenzielle Kreis-Events  $\langle p_l, p, p'' \rangle$  und  $\langle p, p'', p_r \rangle$  in  $\mathcal{Q}$  ein.



# Kreis-Events behandeln

## HandleCircleEvent(Bogen $\alpha$ )

- $\mathcal{T}.delete(\alpha)$ ; Schnittpunkte in  $\mathcal{T}$  updaten
- Entferne alle Kreis-Events zu  $\alpha$  aus  $\mathcal{Q}$ .
- Füge Knoten  $\mathcal{V}(\{p, p', p''\})$  und Kanten  $\langle p, p'' \rangle, \langle p'', p \rangle$  in  $\mathcal{D}$  ein.
- Füge potenzielle Kreis-Events  $\langle p_l, p, p'' \rangle$  und  $\langle p, p'', p_r \rangle$  in  $\mathcal{Q}$  ein.

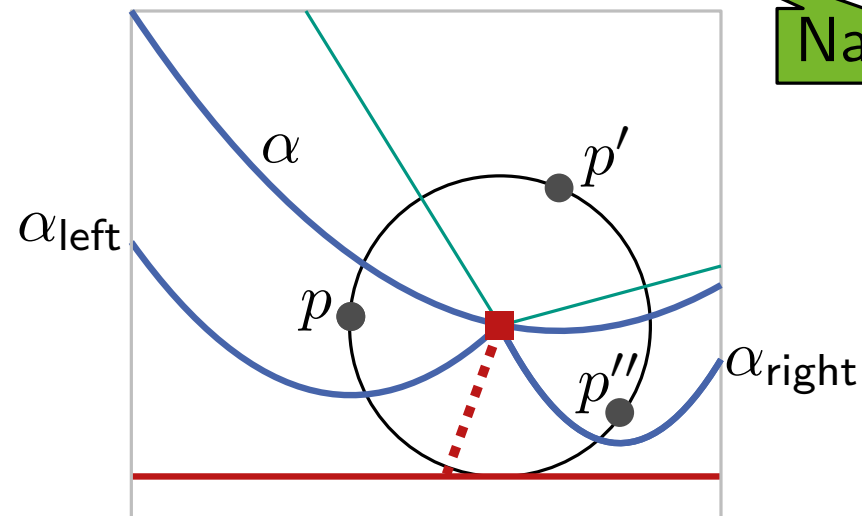


# Kreis-Events behandeln

## HandleCircleEvent(Bogen $\alpha$ )

$O(\log n)$

- $\mathcal{T}.\text{delete}(\alpha)$ ; Schnittpunkte in  $\mathcal{T}$  updaten
- Entferne alle Kreis-Events zu  $\alpha$  aus  $\mathcal{Q}$ .
- Füge Knoten  $\mathcal{V}(\{p, p', p''\})$  und Kanten  $\langle p, p'' \rangle, \langle p'', p \rangle$  in  $\mathcal{D}$  ein.
- Füge potenzielle Kreis-Events  $\langle p_l, p, p'' \rangle$  und  $\langle p, p'', p_r \rangle$  in  $\mathcal{Q}$  ein.



Nachbarn auf  $\beta$

Laufzeit?

# Fortune's Sweep Algorithmus

**Satz 4:** Für eine Menge  $P$  von  $n$  Punkten berechnet Fortune's Sweep Algorithmus das Voronoi-Diagramm  $\text{Vor}(P)$  in  $O(n \log n)$  Zeit und  $O(n)$  Platz.

# Fortune's Sweep Algorithmus

**Satz 4:** Für eine Menge  $P$  von  $n$  Punkten berechnet Fortune's Sweep Algorithmus das Voronoi-Diagramm  $\text{Vor}(P)$  in  $O(n \log n)$  Zeit und  $O(n)$  Platz.

## Beweisskizze:

- jedes Event benötigt  $O(\log n)$  Zeit
- $n$  Punkt-Events
- $\leq 2n - 5$  Kreis-Events (= #Knoten von  $\text{Vor}(P)$ )
- Fehlalarme erzeugen & löschen bereits inklusive

# Fortune's Sweep Algorithmus

**Satz 4:** Für eine Menge  $P$  von  $n$  Punkten berechnet Fortune's Sweep Algorithmus das Voronoi-Diagramm  $\text{Vor}(P)$  in  $O(n \log n)$  Zeit und  $O(n)$  Platz.

## Beweisskizze:

- jedes Event benötigt  $O(\log n)$  Zeit
- $n$  Punkt-Events
- $\leq 2n - 5$  Kreis-Events (= #Knoten von  $\text{Vor}(P)$ )
- Fehlalarme erzeugen & löschen bereits inklusive

## Bemerkung:

degenerierte Eingaben diesmal unproblematisch:

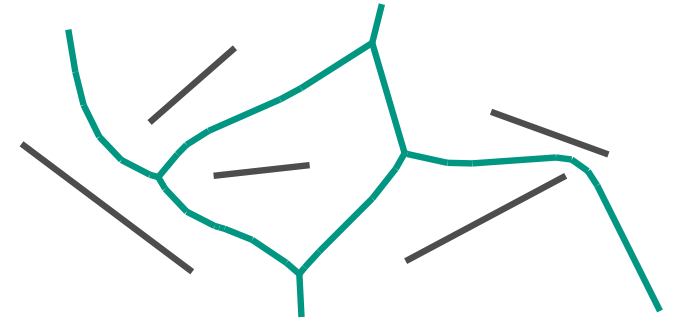
- Kreis-Events vor Punkt-Events, sonst Reihenfolge beliebig
- Kreis-Events für  $k \geq 4$  Punkte: Länge-0 Kanten und Knotenduplikate im Postprocessing entfernen
- zweideutiges Punktevent: beliebigen Bogen wählen

**Gibt es weitere Varianten von Voronoi-Diagrammen?**

## Gibt es weitere Varianten von Voronoi-Diagrammen?

Ja! Beispielsweise kann der Algorithmus bei gleicher Laufzeit und Platzbedarf auch für Voronoi-Diagramme von Strecken modifiziert werden.

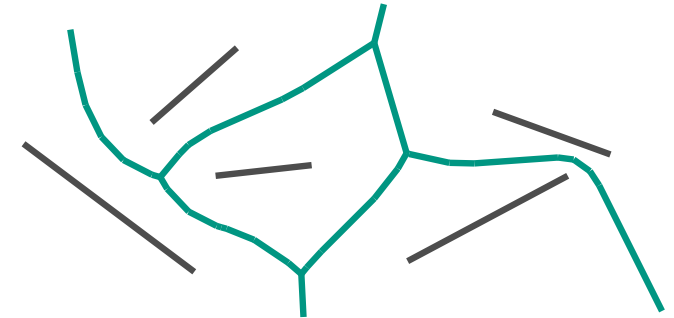
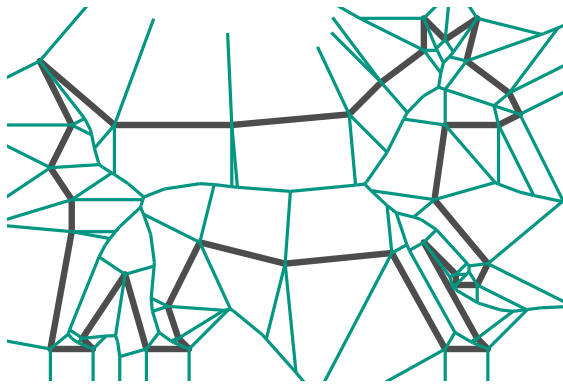
Auch andere Metriken wie  $L_p$  oder additiv/multiplikativ gewichtete Voronoi-Diagramme sind möglich.



## Gibt es weitere Varianten von Voronoi-Diagrammen?

Ja! Beispielsweise kann der Algorithmus bei gleicher Laufzeit und Platzbedarf auch für Voronoi-Diagramme von Strecken modifiziert werden.

Auch andere Metriken wie  $L_p$  oder additiv/multiplikativ gewichtete Voronoi-Diagramme sind möglich.



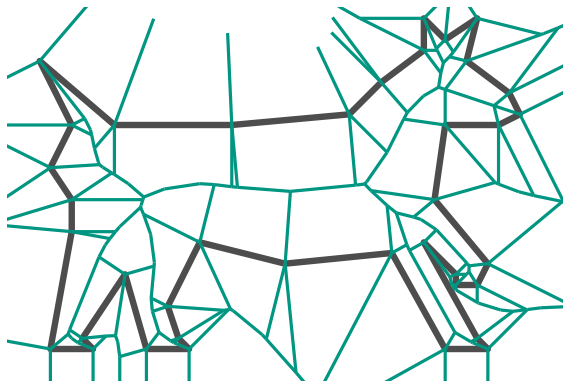
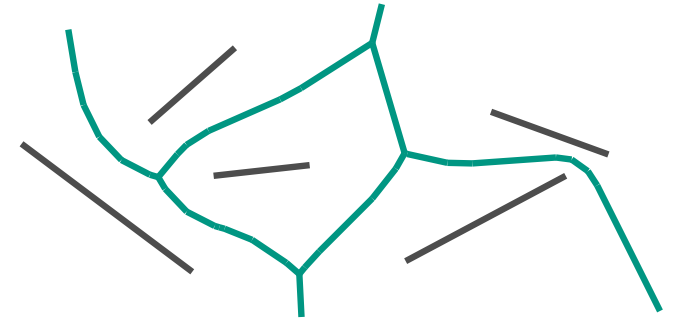
Voronoi-Diagramm für Polygone definieren die sog. Mittelachse, die z.B. in der Bildverarbeitung wichtig ist.

Auch farthest-point Voronoi-Diagramme sind möglich.

## Gibt es weitere Varianten von Voronoi-Diagrammen?

Ja! Beispielsweise kann der Algorithmus bei gleicher Laufzeit und Platzbedarf auch für Voronoi-Diagramme von Strecken modifiziert werden.

Auch andere Metriken wie  $L_p$  oder additiv/multiplikativ gewichtete Voronoi-Diagramme sind möglich.



Voronoi-Diagramm für Polygone definieren die sog. Mittelachse, die z.B. in der Bildverarbeitung wichtig ist.

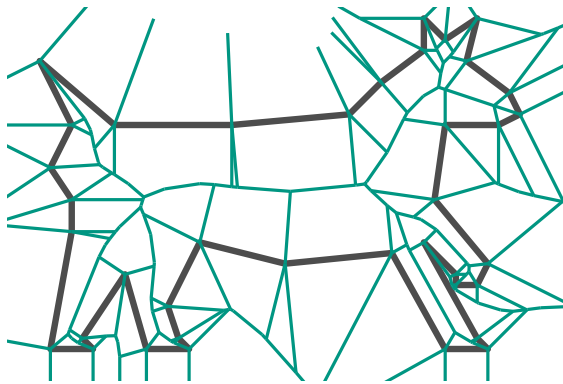
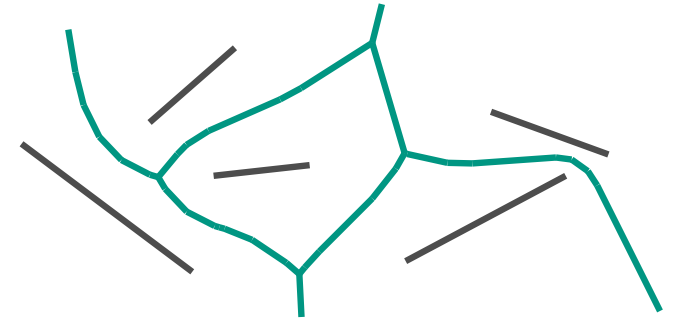
Auch farthest-point Voronoi-Diagramme sind möglich.

## Was passiert in höheren Dimensionen?

## Gibt es weitere Varianten von Voronoi-Diagrammen?

Ja! Beispielsweise kann der Algorithmus bei gleicher Laufzeit und Platzbedarf auch für Voronoi-Diagramme von Strecken modifiziert werden.

Auch andere Metriken wie  $L_p$  oder additiv/multiplikativ gewichtete Voronoi-Diagramme sind möglich.



Voronoi-Diagramm für Polygone definieren die sog. Mittelachse, die z.B. in der Bildverarbeitung wichtig ist.

Auch farthest-point Voronoi-Diagramme sind möglich.

## Was passiert in höheren Dimensionen?

Die Komplexität von  $\text{Vor}(P)$  steigt auf  $\Theta(n^{\lceil d/2 \rceil})$  und die Laufzeit auf  $O(n \log n + n^{\lceil d/2 \rceil})$ .